



การบำบัดน้ำเสียจากโรงงานผลิตแป้งมันสำปะหลัง  
ด้วยกระบวนการ芬ตันร่วมกับการสร้างตะกอน

สุกัญญา กาญจนธรรม

การค้นคว้าอิสระเป็นส่วนหนึ่งของการศึกษาตามหลักสูตรปริญญาวิศวกรรมศาสตร์มหาบัณฑิต  
สาขาวิชาบริหารจัดการสิ่งแวดล้อม คณะวิศวกรรมศาสตร์  
มหาวิทยาลัยอุบลราชธานี  
ปีการศึกษา 2557  
ลิขสิทธิ์เป็นของมหาวิทยาลัยอุบลราชธานี



**WASTEWATER TREATMENT FROM TAPIOCA STARCH  
WASTEWATER BY FENTON PROCESS  
COMBINED WITH COAGULATION**

**SUKANYA KANJANATAMRONG**

**AN INDEPENDENT STUDY SUBMITTED IN PARTIAL FULFILLMENT OF  
THE REQUIREMENTS FOR THE DEGREE OF MASTER OF ENGINEERING  
MAJOR IN ENVIRONMENTAL ENGINEERING  
FACULTY OF ENGINEERING  
UBON RATCHATHANI UNIVERSITY  
ACADEMIC YEAR 2014**

**COPYRIGHT OF UBON RATCHATHANI UNIVERSITY**



ใบรับรองการค้นคว้าอิสระ<sup>๑</sup>  
มหาวิทยาลัยอุบลราชธานี  
ปริญญาวิศวกรรมศาสตรมหาบัณฑิต  
สาขาวิชาช่างสำรวจ คณะวิศวกรรมศาสตร์

เรื่อง การบำบัดน้ำเสียจากโรงงานผลิตแป้งมันสำปะหลังด้วยกระบวนการ芬顿  
ร่วมกับการสร้างตะกอน

ผู้วิจัย นางสาวสุกัญญา กาญจน์ธรรม

คณะกรรมการสอบ

ผู้ช่วยศาสตราจารย์ ดร.สมภพ สนองราษฎร์

ประธานกรรมการ

ผู้ช่วยศาสตราจารย์ ดร.จักรกฤษณ์ อัมพุช

กรรมการ

ผู้ช่วยศาสตราจารย์ ดร.บรรณิกา รัตนพงศ์เลขา

กรรมการ

อาจารย์ที่ปรึกษา

*Chakkrit*

(ผู้ช่วยศาสตราจารย์ ดร.จักรกฤษณ์ อัมพุช)

.....  
.....  
(รองศาสตราจารย์ ดร.กุลเชษฐ์ เพียรทอง)

คณะดีดีคณะวิศวกรรมศาสตร์

.....  
.....  
(รองศาสตราจารย์ ดร.อริยาภรณ์ พงษ์รัตน์)

รองอธิการบดีฝ่ายวิชาการ

ลิขสิทธิ์เป็นของมหาวิทยาลัยอุบลราชธานี

ปีการศึกษา 2557

## กิตติกรรมประกาศ

งานค้นคว้าอิสระฉบับนี้สำเร็จลงได้ด้วยดี เนื่องจากได้รับความช่วยเหลืออย่างดียิ่งจาก ผู้ช่วยศาสตราจารย์ ดร.จักรกฤษณ์ อัมพุช ซึ่งเป็นอาจารย์ที่ปรึกษาการค้นคว้าอิสระ ที่สละเวลาในการ ตรวจและปรับปรุงแก้ไขข้อบกพร่องต่างๆ ให้คำปรึกษาข้อคิดเห็น แนะนำแนวทางการทำงาน ด้วยความเอาใจใส่อย่างดียิ่งในการทำการค้นคว้าอิสระครั้งนี้จนสำเร็จลุล่วงไปด้วยดี รวมทั้ง ผู้ช่วยศาสตราจารย์ ดร.กรรณิกา รัตนพงศ์เลขา และ ผู้ช่วยศาสตราจารย์ ดร.สมภพ สนองรายภูร อาจารย์กรรมการสอบการค้นคว้าอิสระ ที่กรุณายังเวลาช่วยเหลือในการให้ข้อแนะนำและข้อคิดเห็น ในการแก้ไขการค้นคว้าอิสระ

ขอขอบพระคุณภาควิชาศึกกรรมเคมี คณะวิศวกรรมศาสตร์ มหาวิทยาลัยอุบลราชธานี ที่ เอื้อเพื่อสถานที่ทำงานวิจัย และเจ้าหน้าที่ห้องปฏิบัติการที่คอยช่วยเหลือ แนะนำวิธีการใช้เครื่องมือ และอุปกรณ์ในการทดลองอย่างดียิ่ง และขอบคุณคณาจารย์ทุกท่านที่ถ่ายทอดวิชาความรู้ต่าง ๆ ให้ ความช่วยเหลือ อบรมสั่งสอน ให้ความช่วยเหลือในระหว่างทำการวิจัย

ขอกราบขอบพระคุณบิดา ามารดา ที่เคยสนับสนุนในทุกด้าน ทุกๆ เรื่องของชีวิต ให้ประสบ ความสำเร็จในด้านการเรียน การใช้ชีวิต ให้ความรัก คอยเดือนให้มีสติ ตั้งใจในการทำงาน และเป็น กำลังใจที่สำคัญ จนสามารถทำทุกสิ่งทุกอย่างได้ตามที่มุ่งหวัง ขอขอบคุณเพื่อน ๆ พี่ ๆ นักศึกษา ปริญญาโท สาขาวิชาศึกกรรมสิ่งแวดล้อม คณะวิศวกรรมศาสตร์ มหาวิทยาลัยอุบลราชธานี ที่คอย ช่วยเหลือ และให้กำลังใจในการทำงานวิจัยที่ดีตลอดมา และสุดท้ายนี้ ขอขอบพระคุณหลักสูตร บัณฑิตศึกษา สาขาวิชาศึกกรรมสิ่งแวดล้อม คณะวิศวกรรมศาสตร์ มหาวิทยาลัยอุบลราชธานี

สุกัญญา กาญจนธรรม

ผู้วิจัย

## บทคัดย่อ

ชื่อเรื่อง	: การบำบัดน้ำเสียจากโรงงานผลิตแป้งมันสำปะหลังด้วยกระบวนการ芬tenร่วมกับการสร้างตะกอน
ผู้วิจัย	: สุกัญญา กาญจนธรรม
ชื่อปริญญา	: วิศวกรรมศาสตรมหาบัณฑิต
สาขาวิชา	: วิศวกรรมสิ่งแวดล้อม
อาจารย์ที่ปรึกษา:	ผู้ช่วยศาสตราจารย์ ดร.จักรกฤษณ์ อัมพุช
คำสำคัญ	: การสร้างตะกอน, แคลเซียมออกไซด์, เปลือกไข่เพล, ซีโอดี, กระบวนการ芬ten

วัตถุประสงค์ของงานวิจัยนี้เพื่อศึกษาประสิทธิภาพการบำบัดน้ำทิ้งจากโรงงานผลิตแป้งมันสำปะหลังด้วยวิธี芬tenร่วมกับการสร้างตะกอน สารแคลเซียมออกไซด์สังเคราะห์จากเปลือกไข่เพล และสารแคลเซียมออกไซด์ถูกใช้เป็นสารสร้างตะกอนซึ่งถูกนำมาวิเคราะห์คุณลักษณะเฉพาะด้วยเครื่อง SEM XRD และ FTIR พบร่วมสารแคลเซียมออกไซด์จากเปลือกไข่เพลมีลักษณะทางกายภาพและโครงสร้างผลึกที่คล้ายกับสารแคลเซียมออกไซด์ การทดลองที่ได้แบ่งออกเป็น 3 ส่วน ส่วนแรกศึกษาผลของชนิดและปริมาณสารสร้างตะกอนที่มีต่อประสิทธิภาพการบำบัดด้วยกระบวนการสร้างตะกอน โดยปรับค่า pH เป็น 8 เวลาผ่าน 20 นาทีและเวลาในการตกตะกอน 30 นาที พบร่วมประสิทธิภาพการกำจัดค่าซีโอดีของสารแคลเซียมออกไซด์สูงกว่าสารแคลเซียมออกไซด์ที่สังเคราะห์จากเปลือกไข่เพล คือมีค่าเท่ากับ  $79.62 \pm 1.24\%$  และ  $67.50 \pm 00\%$  ตามลำดับ ประสิทธิภาพการกำจัดค่าของแข็งแขวนลอยของสารแคลเซียมออกไซด์และสารแคลเซียมออกไซด์ที่สังเคราะห์จากเปลือกไข่เพลค่าใกล้เคียงกัน คือมีค่าเท่ากับ  $83.85 \pm 1.05\%$  และ  $83.27 \pm 2.61\%$  ตามลำดับ และปริมาณสารสร้างตะกอนที่เหมาะสมเท่ากับ 4 g/L ส่วนที่ 2 ศึกษาอิทธิพลของอัตราส่วน  $H_2O_2:Fe^{2+}$  ต่อประสิทธิภาพการกำจัดด้วยกระบวนการ芬ten โดยปรับค่า pH เป็น 3 เวลาผ่าน 120 นาทีและเวลาในการตกตะกอน 30 นาที พบร่วม อัตราส่วนที่เหมาะสมได้แก่ 1,000:1000 mg/L:mg/L มีประสิทธิภาพในการกำจัดค่าซีโอดีและของแข็งแขวนลอยเท่ากับ  $85.28 \pm 2.75\%$  และ  $93.73 \pm 0.58\%$  ตามลำดับ แต่อย่างไรก็ตามน้ำที่ผ่านการบำบัดแล้วของทั้ง 2 ส่วน มีค่าเกินค่ามาตรฐานน้ำทิ้งที่ได้รับอนุญาต ดังนั้นจึงทำการศึกษาส่วนที่ 3 คือกระบวนการ芬tenร่วมกับการสร้างตะกอน โดยทำการทดลองเหมือนส่วนที่ 2 แต่หลังสิ้นสุดปฏิกิริยา芬tenแล้ว ทำการเติมสารสร้างตะกอนทันที พบร่วมประสิทธิภาพสูงสุดในการกำจัดค่าซีโอดีและของแข็งแขวนลอย เท่ากับ  $95.66 \pm 0.26\%$  และ  $98.63 \pm 0.81\%$  ตามลำดับ โดยน้ำทิ้งหลังการบำบัดมีคุณภาพน้ำเป็นไปตามเกณฑ์มาตรฐานน้ำทิ้งถึงแม้ว่าค่าของแข็งแขวนจะน้ำทิ้งหมดเพิ่มขึ้นหลังการบำบัด

## ABSTRACT

TITLE : WASTEWATER TREATMENT FROM TAPIOCA STARCH WASTEWATER BY FENTON PROCESS COMBINED WITH COAGULATION

AUTHOR : SUKANYA KANJANATAMRONG

DEGREE : MASTER OF ENGINEERING

MAJOR : ENVIRONMENTAL ENGINEERING

ADVISOR : ASST. PROF. CHAKKRIT UMPUCH, Ph.D.

KEYWORDS : COAGULATION, CALCIUM OXIDE, CALCINED EGGSHELL, CHEMICAL OXYGEN DEMAND, FENTON PROCESS

This research aims to study the treatment efficiency of the effluent from the UASB of a tapioca starch using the Fenton process combined with coagulation. Calcium oxide synthesized from calcined eggshell and calcium oxide were used as coagulants which were characterized by a SEM, an XRD and a FTIR. It was found that the physical properties and the crystalline structure of calcium oxide from calcined eggshell were similar to those calcium oxide. The experiment was divided into 3 parts. First, influences of coagulant type and dosage on the treatment efficiency were investigated by coagulation. The pH was adjusted to pH 8 and agitated for 20 min and then settled for 30 min. The COD removal efficiency of calcium oxide was higher than that of calcium oxide synthesized from calcined eggshell which were  $79.62 \pm 1.24\%$  and  $67.50 \pm 00\%$ , respectively. The SS removal efficiency of calcium oxide and calcium oxide synthesized from calcined eggshell were identical which were  $83.85 \pm 1.05\%$  and  $83.27 \pm 2.61\%$ , respectively. The optimum coagulant dosage was 4 g/L. Second, the effect of ratio of  $\text{H}_2\text{O}_2$ :  $\text{Fe}^{2+}$  on removal efficiency using the Fenton process was conducted. The pH was adjusted to pH 3 and agitated for 120 min and then left for 30 min. The highest removal efficiency was obtained at the ratio of 1,000:1,000 mg/L : mg/L which could reduce COD and SS up to  $85.28 \pm 2.75\%$  and  $93.73 \pm 0.58\%$ , respectively. However, the water quality of treated wastewater from above two experiments did not meet the regulations permitted so that the Fenton process combined with coagulation was carried out in the Third experiment. The procedures were similar to those in the second

part but the coagulants were added immediately after terminating the Fenton reaction. The highest removal efficiencies of COD and SS were  $95.66\pm0.26\%$  and  $98.63\pm0.81\%$ , respectively. Although the TDS increased after the treatment, the treated water meets the regulations permitted.

## สารบัญ

	หน้า
กิตติกรรมประกาศ	ก
บทคัดย่อภาษาไทย	ข
บทคัดย่อภาษาอังกฤษ	ค
<b>สารบัญ</b>	<b>จ</b>
สารบัญตาราง	ช
สารบัญภาพ	ณ
คำอธิบายสัญลักษณ์และคำย่อ	ภ
<b>บทที่ 1 บทนำ</b>	
1.1 ที่มาและความสำคัญ	1
1.2 วัตถุประสงค์ของงานวิจัย	2
1.3 สมมติฐาน	3
1.4 ขอบเขตงานวิจัย	4
1.5 ประโยชน์ที่คาดว่าจะได้รับ	4
1.6 สถานที่ทำการศึกษา	4
<b>บทที่ 2 ทฤษฎีและงานวิจัยที่เกี่ยวข้อง</b>	
2.1 คุณสมบัติน้ำเสียจากโรงงานผลิตแป้งมันสำปะหลัง	5
2.2 การบำบัดน้ำเสียด้วยระบบชีวภาพ	6
2.3 ระบบบำบัดน้ำเสียในโรงงานผลิตแป้งมันสำปะหลัง	7
2.4 ขั้นตอนในการบำบัดน้ำเสีย	9
2.5 กระบวนการบำบัดน้ำเสีย	10
2.6 กระบวนการ芬ตัน	12
2.7 ปัจจัยที่ส่งผลต่อปฏิกิริยา芬ตัน	14
2.8 กระบวนการสร้างตะกอน	15
2.9 ปูนขาว (Lime)	17
2.10 แคลเซียมออกไซด์จากเปลือกไข่	18
2.11 ปัจจัยของกระบวนการ芬ตันร่วมกับการสร้างตะกอน	27

## สารบัญ (ต่อ)

	หน้า
2.12 ซีโอดี (Chemical Oxygen Demand; COD)	28
2.13 ของแข็ง(Solids)	30
<b>บทที่ 3 วิธีดำเนินงานวิจัย</b>	
3.1 สารเคมีอุปกรณ์และเครื่องมือที่ใช้ในการศึกษา	33
3.2 กรอบการศึกษา	34
3.3 การเตรียมแคลเซียมออกไซด์จากเปลือกไข่	36
3.4 วิธีการเตรียมสารเคมีในการวิเคราะห์	37
3.5 รูปแบบการทดลอง	37
3.6 วิธีดำเนินการศึกษา	37
3.7 วิธีการวิเคราะห์	39
<b>บทที่ 4 ผลการวิจัยและอภิปรายผล</b>	
4.1 ผลการวิเคราะห์คุณสมบัติของสารสร้างตะกอน	42
4.2 ลักษณะสมบัติของน้ำเสีย	46
4.3 การศึกษาประสิทธิภาพการบำบัดด้วยวิธีการสร้างตะกอน	47
4.4 การศึกษาประสิทธิภาพการบำบัดด้วยกระบวนการ芬顿	40
4.5 การศึกษาประสิทธิภาพการบำบัดด้วยกระบวนการ芬顿ร่วมกับการสร้างตะกอน	54
4.6 การคำนวณตันทุนสารเคมีในการบำบัดน้ำเสีย	59
<b>บทที่ 5 สรุปผลการวิจัยและข้อเสนอแนะ</b>	
5.1 สรุปผลการวิจัย	60
5.2 ข้อเสนอแนะ	61
<b>เอกสารอ้างอิง</b>	62
<b>ภาคผนวก</b>	
ก ข้อมูลที่ได้จากการทดลอง	67
ข ตัวอย่างการคำนวณ	76
ค วิธีการวิเคราะห์	79
<b>ประวัติผู้วิจัย</b>	83

## สารบัญตาราง

ตารางที่	หน้า
2.1 องค์ประกอบทางเคมีของเปลือกไข่	18
4.1 ผลการวิเคราะห์หมู่พังก์ชั่น	46
4.2 ลักษณะสมบัติของน้ำเสียที่ใช้ในการทดลอง	47
4.3 การคำนวณต้นทุนสารเคมีในการบำบัดน้ำเสีย	59
ก.1 ลักษณะสมบัติของน้ำเสียที่ใช้ในการทดลอง	68
ก.2 ค่าซีโอดี (COD) ของแข็งแขวนลอย (SS) และของแข็งละลายน้ำทั้งหมด (TDS) ในการบำบัดด้วยกระบวนการสร้างตะกอนของแคลเซียมออกไซด์ (วิเคราะห์เมื่อวันที่ 16-17 มีนาคม 2558)	68
ก.3 ประสิทธิภาพในการกำจัดค่าซีโอดี (COD) ของแข็งแขวนลอย(SS) และการเพิ่ม ขึ้นของแข็งละลายน้ำทั้งหมด (TDS) ใน การบำบัดด้วยกระบวนการสร้างตะกอนของ แคลเซียมออกไซด์ (วิเคราะห์เมื่อวันที่ 16-17 มีนาคม 2558)	69
ก.4 ค่าซีโอดี (COD) ของแข็งแขวนลอย (SS) และของแข็งละลายน้ำทั้งหมด (TDS) ในการบำบัดด้วยกระบวนการสร้างตะกอนของแคลเซียมออกไซด์จากจากเปลือกไข่ (วิเคราะห์เมื่อวันที่ 16-17 มีนาคม 2558)	69
ก.5 ประสิทธิภาพในการกำจัดค่าซีโอดี (COD) ของแข็งแขวนลอย (SS) และการเพิ่ม ขึ้นของแข็งละลายน้ำทั้งหมด (TDS) ใน การบำบัดด้วยกระบวนการสร้างตะกอนของ แคลเซียมออกไซด์จากเปลือกไข่(วิเคราะห์เมื่อวันที่ 16-17 มีนาคม 2558)	69
ก.6 ค่าและประสิทธิภาพการกำจัดซีโอดี (COD) ของแข็งแขวนลอย (SS) และการ เพิ่มขึ้นของแข็งละลายน้ำทั้งหมด (TDS) ใน การบำบัดด้วยกระบวนการ芬ตันโดย ทำการวัดค่าทันที (วิเคราะห์เมื่อวันที่ 22 มีนาคม 2558)	70
ก.7 ค่าและประสิทธิภาพการกำจัดซีโอดี (COD) ของแข็งแขวนลอย (SS) และการ เพิ่มขึ้นของแข็งละลายน้ำทั้งหมด (TDS) ใน การบำบัดด้วยกระบวนการ芬ตันโดย วัดค่าหลังจากตั้งทิ้งไว้ 30 นาที (วิเคราะห์เมื่อวันที่ 29 มีนาคม 2558)	70
ก.8 ค่าซีโอดี (COD) ของแข็งแขวนลอย (SS )และของแข็งละลายน้ำทั้งหมด (TDS) ในการบำบัดด้วยกระบวนการ芬ตันร่วมกับการสร้างตะกอน อัตราส่วนสาร芬ตัน ( $H_2O_2:Fe^{2+}$ ) 1,000:1,000 mg/L:mg/L (วิเคราะห์เมื่อวันที่ 23-24 เมษายน 2558)	71

## สารบัญตาราง (ต่อ)

ตารางที่		หน้า
ก.9	ประสิทธิภาพในการกำจัดค่าซีโอดี (COD) ของแข็งแขวนลอย (SS) และการเพิ่มขึ้นของแข็งละลายน้ำทั้งหมด ในการบำบัดด้วยกระบวนการ芬腾ที่อัตราส่วนสาร芬腾ตัน ( $H_2O_2:Fe^{2+}$ ) 1,000:1,000 mg/L:mg/L ร่วมกับการสร้างตะกอน (วิเคราะห์เมื่อวันที่ 23-24 เมษายน 2558)	72
ก.10	ข้อมูลการเลี้ยงแบบรังสีของเครื่อง XRD	75

## สารบัญภาพ

ภาพที่	หน้า
2.1 ภาพถ่ายจากกล้องจุลทรรศน์อิเล็กตรอนแบบส่องกราด โดย (ก) เปลือกไข่เพาที่ 800 องศาเซลเซียส 1 ชั่วโมง (ข) เปลือกไข่เพาที่ 900 องศาเซลเซียส 1 ชั่วโมง และ (ค) เปลือกไข่เพาที่ 1,000 องศาเซลเซียส 1 ชั่วโมง	19
2.2 องค์ประกอบหลักของเครื่อง SEM	22
2.3 Electromagnetic spectrum	25
2.4 องค์ประกอบของเครื่อง FT-IR	26
3.1 แผนภาพขั้นตอนการวิจัย	35
3.2 ขั้นตอนการเตรียมแคลเซียมออกไซด์จากเปลือกไข่	36
3.3 รูปแบบการทดลองด้วยเครื่องเจาร์เทสต์	37
4.1 ภาพถ่ายจากกล้องจุลทรรศน์อิเล็กตรอนแบบส่องกราด โดย (ก) เปลือกไข่ดิบ (ข) เปลือกไข่เพาที่ 500 องศาเซลเซียส (ค) เปลือกไข่เพาที่ 700 องศาเซลเซียส และ (ง) เปลือกไข่เพาที่ 900 องศาเซลเซียส	42
4.2 ภาพ XRD ของแคลเซียมออกไซด์และแคลเซียมออกไซด์จากเปลือกไข่	44
4.3 สเปกตรัม FTIR ของแคลเซียมออกไซด์จากเปลือกไข่ (Eggshell) แคลเซียมออกไซด์ ( $\text{CaO}$ )	45
4.4 ปริมาณค่าซีไอโอดี (COD) ของแข็งแขวนลอย (SS) และของแข็งละลายน้ำทั้งหมด (TDS) หลังผ่านการบำบัดด้วยวิธีการสร้างตะกอน (ก) แคลเซียมออกไซด์ (ข) แคลเซียมออกไซด์จากเปลือกไข่	49
4.5 อิทธิพลของปริมาณสารสร้างตะกอนต่อ (ก) ประสิทธิภาพการกำจัดค่าซีไอโอดีและของแข็งแขวนลอย และ (ข) การเพิ่มขึ้นของของแข็งละลายน้ำทั้งหมด	50
4.6 ปริมาณค่าซีไอโอดี (COD) ของแข็งแขวนลอย (SS) และของแข็งละลายน้ำทั้งหมด (TDS) หลังผ่านการบำบัดด้วยกระบวนการ芬顿 (ก) วัดค่าหลังการตกรตะกอน 30 นาที (ข) วัดค่าทันที	52
4.7 อิทธิพลของปริมาณสารสร้างตะกอนของปฏิกิริยา芬顿ร่วมกับการสร้างตะกอน (ก) ประสิทธิภาพการกำจัดค่าซีไอโอดี (ข) การเพิ่มขึ้นของของแข็งละลายน้ำทั้งหมด และ (ค) ประสิทธิภาพการกำจัดของแข็งแขวนลอย	53

## สารบัญภาพ (ต่อ)

ภาพที่	หน้า
4.8 ปริมาณค่าซีโอดี (COD) ของแข็งแขวนลอย (SS) และของแข็งละลายน้ำทั้งหมด (TDS) หลังผ่านการบำบัดด้วยกระบวนการ Fenntanร่วมกับการสร้างตะกอน (ก) แคลเซียมออกไซด์ (ข) แคลเซียมออกไซด์จากเปลือกไข่	54
4.9 อิทธิพลของสารสร้างตะกอนต่อประสิทธิภาพการบำบัดค่าซีโอดีและของแข็งแขวนลอยที่ผ่านการบำบัดด้วยกระบวนการ Fenntanร่วมกับการสร้างตะกอน	55
4.10 อิทธิพลของสารสร้างตะกอนต่อการเพิ่มขึ้นของของแข็งละลายน้ำทั้งหมดที่ผ่านการบำบัดด้วยกระบวนการ Fenntanร่วมกับการสร้างตะกอน	56
4.11 การเปรียบเทียบประสิทธิภาพการกำจัดค่าซีโอดีและของแข็งแขวนลอยที่สภาวะ Coagulation: pH 8 แคลเซียมออกไซด์ 4g/L, Fenton:pH 3 อัตราส่วน $H_2O_2:Fe^{2+}$ เท่ากับ 1,000:1,000 mg/L:mg/L เวลาตกตะกอน 30 นาที, Fenton & Coagulation: อัตราส่วน $H_2O_2:Fe^{2+}$ เท่ากับ 1,000:1,000 mg/L:mg/L แคลเซียมออกไซด์ 1g/L เวลาตกตะกอน 30 นาที	57
4.12 การเปรียบเทียบเปอร์เซ็นต์การเพิ่มขึ้นของของแข็งละลายน้ำทั้งหมดที่สภาวะ Coagulation: pH 8 แคลเซียมออกไซด์ 4g/L, Fenton:pH 3 อัตราส่วน $H_2O_2:Fe^{2+}$ เท่ากับ 1,000:1,000 mg/L:mg/L เวลาตกตะกอน 30 นาที, Fenton & Coagulation: อัตราส่วน $H_2O_2:Fe^{2+}$ เท่ากับ 1,000:1,000 mg/L:mg/L แคลเซียมออกไซด์ 1g/L เวลาตกตะกอน 30 นาที	58
ก.1 สเปกตรัมของเปลือกไข่ดิน	73
ก.2 สเปกตรัมของเปลือกไข่เผาที่อุณหภูมิ 500 องศาเซลเซียส 1 ชั่วโมง	73
ก.3 สเปกตรัมของเปลือกไข่เผาที่อุณหภูมิ 700 องศาเซลเซียส 1 ชั่วโมง	73
ก.4 สเปกตรัมของเปลือกไข่เผาที่อุณหภูมิ 900 องศาเซลเซียส 1 ชั่วโมง	74
ก.5 สเปกตรัมของแคลเซียมออกไซด์ (Calcium Oxide,CaO)	75

## คำอธิบายสัญลักษณ์และอักษรย่อ

สัญลักษณ์และอักษรย่อ	ความหมาย
Eggshell	เปลือกไข่
CaO	แคลเซียมออกไซด์
CaCO <sub>3</sub>	แคลเซียมคาร์บอเนต
(MgCa)(CO <sub>3</sub> )	แมกนีเซียมแคลเซียมคาร์บอเนต
JCPDs	ข้อมูลสารมาตรฐานของเครื่อง XRD ที่ทำการตรวจวัดโดยองค์กร (Joint Committee on Powder Diffraction Standard, JCPDs)
pH	ค่าความเป็นกรดด่าง
COD	ปริมาณออกซิเจนทั้งหมดที่ต้องการ เพื่อใช้ในการออกซิเดส์ สารอินทรีย์
SS	ของแข็งแขวนลอย
TDS	ของแข็งละลายน้ำทั้งหมด
g	กรัม
g/L	กรัมต่อลิตร
mg	มิลลิกรัม
mg/L	มิลลิกรัมต่อลิตร
L	ลิตร
mL	มิลลิลิตร
XRD	เครื่องเอกซเรย์ดิฟแฟร์กโตมิเตอร์ (X-ray diffractometer)
FTIR	เครื่อง Fourier Transform Infrared Spectrometer
SEM	กล้องจุลทรรศน์อิเล็กตรอนแบบส่องgraphic

## บทที่ 1

### บทนำ

#### 1.1 ที่มาและความสำคัญ

ในปัจจุบันการบำบัดน้ำเสียจากการกระบวนการผลิตแป้งมันสำปะหลังนิยมใช้กระบวนการบำบัดทางชีวภาพ (Biological treatment) โดยอาศัยหลักการทำงานของจุลินทรีย์ในการย่อยสลายสารอินทรีย์ซึ่งเป็นการบำบัดที่ไม่ก่อให้เกิดสารพิษตกค้างและมีประสิทธิภาพสูง แต่จากลักษณะของน้ำเสียที่มีปริมาณสารอินทรีย์สูงมาก ทำให้ประสิทธิภาพของระบบบำบัดทางชีวภาพไม่เพียงพอในการลดปริมาณสารอินทรีย์ได้หมดจดจำเป็นต้องนำไปบำบัดอีกครั้งด้วยระบบบ่อปรับเสถียรหรือบ่อผึ้งซึ่งเป็นการบำบัดที่ต้องใช้เวลาและพื้นที่ค่อนข้างมาก ดังนั้นกระบวนการบำบัดทางเคมีจึงเป็นทางเลือกหนึ่งที่น่าสนใจสำหรับการบำบัดน้ำเสียจากการกระบวนการผลิตแป้งมันสำปะหลัง ซึ่งได้แก่ กระบวนการ芬顿 (Fenton's reagent) คือปฏิกิริยาทางเคมีเป็นผลจากการเกิดปฏิกิริยาระหว่างไฮโดรเจน Peroxide ( $H_2O_2$ ) ซึ่งเป็นสารออกซิเดช์ที่แรง และไอออนของเหล็ก ( $Fe^{2+}$ ) ที่เป็นตัวเร่งปฏิกิริยาก่อให้เกิดอนุมูลอิสระของไฮดรอกซิล ( $OH\cdot$ ) (Ma, X. J. and Xia, H. L., 2009) โดยสุดท้ายจากปฏิกิริยา芬顿จะได้ผลิตภัณฑ์คือการบอนไดออกไซด์และน้ำ แต่ทั้งนี้เนื่องจากหลังสิ้นสุดปฏิกิริยา芬顿พบว่ามีเหล็ก ( $Fe^{3+}$  และ  $Fe^{2+}$ ) ทั้งนี้ก่อให้เกิดปัญหาตะกอนเหล็กที่อาจหลงเหลืออยู่ ดังนั้นจึงควรมีการกำจัดตะกอนเหล็กที่เกิดขึ้นเพื่อไม่ให้ส่งผลต่อประสิทธิภาพของการบำบัดน้ำเสีย

จากการศึกษาพบว่ากระบวนการสร้างตะกอนเป็นทางเลือกหนึ่งที่ถูกนำมาใช้ในการกำจัดตะกอนเหล็กที่อาจหลงเหลืออยู่ และช่วยให้ประสิทธิภาพการบำบัดน้ำเสียมีค่าน้ำทึ้งที่อยู่ในเกณฑ์มาตรฐานได้จากการศึกษาของ Xiaojun.et al. (2009) กล่าวไว้ว่ากระบวนการสร้างตะกอนถูกนำมาใช้ในการกำจัดของแข็งแขวนลอย (SS) และ colloidal จากน้ำชาชียะของหลุมฝังกลบ ทั้งนี้เพราะมีค่าใช้จ่ายในการควบคุมระบบต่ำและเป็นกระบวนการที่ใช้อย่างแพร่หลาย Ma, X. J. and Xia, H. L. (2009) พบร่วมกับการสร้างตะกอนสามารถกำจัดสารอินทรีย์และสีของน้ำเสียที่สูงด้วยกระบวนการ芬顿ร่วมกับการสร้างตะกอนสามารถกำจัดสารอินทรีย์และช่วยลดสีได้อย่างมีประสิทธิภาพ ซึ่งกระบวนการสร้างตะกอนจะช่วยลดเวลาในการตกรตะกอนของกลุ่มตะกอนขนาดเล็ก ๆ ได้เป็นอย่างดี Guo (2010) นำกระบวนการสร้างตะกอนมาใช้เพื่อกำจัดของแข็งแขวนลอยน้ำ ของแข็งแขวนลอยสารอินทรีย์ รวมไปถึงสารอนินทรีย์ที่ผ่านจากการ芬顿และ SBR มาแล้วการบำบัดร่วมกันของสองกระบวนการจะช่วยให้เกิดการกำจัดสารอินทรีย์ในน้ำเสียได้อย่างสมบูรณ์ยิ่งขึ้น เนื่องจากเมื่อ

มีการเพิ่มค่าพีอีของน้ำเสียให้สูงขึ้นในกระบวนการสร้างตะกอนจะทำให้เกิดการตกตะกอนของกลุ่มตะกอนเหล็กจากการบวนการ芬ตันได้ (Yoon. et al., 1998)

ในปัจจุบันพบว่าแคลเซียมออกไซด์เป็นตัวเลือกที่มีการใช้อย่างแพร่หลายในการบำบัดน้ำเสียเนื่องจากเป็นสารที่ช่วยปรับค่าพีอีของน้ำให้เป็นด่าง ซึ่งที่ค่าพีอีสูงสามารถช่วยให้เกิดการตกตะกอนของสารอินทรีย์ได้ อีกทั้งเมื่อเทียบกับสารสร้างตะกอนชนิดอื่นๆ จะพบว่าแคลเซียมออกไซด์มีต้นทุนต่ำกว่า เช่น อะลูมิเนียมชัลเฟต หรือ โพลีอะลูมิเนียมคลอไรด์เป็นต้น สารแคลเซียมออกไซด์เป็นสารที่สังเคราะห์ขึ้น และจากการศึกษาของ วิชัย ดำรงโภคภัณฑ์ (2555) พบว่าแคลเซียมออกไซด์ที่ได้จากการเผาเปลือกไข่ด้วยระบบไฟฟ้าจะทำให้ได้แคลเซียมออกไซด์ที่มีคุณสมบัติเหมือนกับแคลเซียมออกไซด์จากการเผาหินปูน ในปัจจุบันได้มีการนำสังเคราะห์เปลือกไข่เพื่อให้ได้สารประกอบต่างๆ ที่สามารถนำไปใช้ประโยชน์ได้ บุชนภา ตั้งบริบูรณ์ และณฑ้าย สอนประสาร (2552) สังเคราะห์สารประกอบแคลเซียมบริสุทธิ์จากเปลือกไข่ อัจฉรา ดวงเดือน (2545) นำเปลือกไข่มาใช้ในการกำจัดโลหะหนักร่วมกับแกลบต์ วันวิสาข์ แก้วสมบูรณ์ (2548) ทำการบำบัดตะกั่วน้ำเสียจากอุตสาหกรรมผลิตแบตเตอรี่โดยใช้เปลือกไข่ ดังนั้นจะเห็นได้ว่ามีการนำเปลือกไข่มาใช้ในการบำบัดน้ำเสียมาเป็นเวลานานแล้ว และยังเป็นการนำวัสดุเหลือใช้จากอุตสาหกรรมอาหารที่มีอยู่มากมาใช้ให้เกิดประโยชน์สูงสุด และเทคโนโลยีที่นำมาใช้ในการปรับรูปเปลือกไข่ไม่มีความยุ่งยากซับซ้อนมาก จึงสามารถนำไปประยุกต์ใช้ในชุมชนหรือเมื่อมีการศึกษาเพิ่มเติมอาจเป็นทางเลือกหนึ่งสำหรับการบำบัดน้ำเสียในโรงงานอุตสาหกรรมได้

ดังนั้นงานวิจัยนี้จึงเน้นการศึกษาการบำบัดน้ำเสียด้วยปฏิกิริยา芬ตันร่วมกับการสร้างตะกอนโดยการสร้างตะกอนจะทำการเปรียบเทียบประสิทธิภาพการบำบัดของสารสร้างตะกอน 2 ชนิดได้แก่ แคลเซียมออกไซด์ ( $\text{CaO}$ ) และแคลเซียมออกไซด์ที่สังเคราะห์ขึ้นจากเปลือกไข่ และทำการคำนวณค่าใช้จ่ายเพื่อเปรียบเทียบต้นทุนของสารเคมีที่ใช้ในการบำบัดน้ำเสีย

## 1.2 วัตถุประสงค์ของการวิจัย

- 1.2.1 เพื่อสังเคราะห์แคลเซียมออกไซด์จากเปลือกไข่
- 1.2.2 เพื่อศึกษาภาวะที่เหมาะสมของการสร้างตะกอน กระบวนการ芬ตัน และกระบวนการ芬ตันร่วมกับการสร้างตะกอนในการบำบัดน้ำเสียจากโรงงานผลิตแป้งมันสำปะหลัง
- 1.2.3 เพื่อเปรียบเทียบประสิทธิภาพการสร้างตะกอน กระบวนการ芬ตัน และกระบวนการ芬ตันร่วมกับการสร้างตะกอนในการบำบัดน้ำเสียจากโรงงานผลิตแป้งมันสำปะหลัง

### 1.3 สมมติฐาน

1.3.1 กระบวนการ芬น์ตันร่วมกับการสร้างตะกอนสามารถลดค่าซีโอดี ของแข็งแχวนลอยและของแข็งละลายน้ำทั้งหมดในน้ำเสียจากโรงงานผลิตแป้งมันสำปะหลังได้

1.3.2 ปัจจัยต่าง ๆ ได้แก่ อัตราส่วนความเข้มข้นของ  $H_2O_2$ :  $Fe^{2+}$  ชนิดและปริมาณของสารสร้างตะกอน ส่งผลต่อประสิทธิภาพในการบำบัดน้ำเสียจากโรงงานผลิตแป้งมันสำปะหลังด้วยกระบวนการ芬น์ตันร่วมกับการสร้างตะกอน

### 1.4 ขอบเขตของการวิจัย

การวิจัยนี้เป็นการศึกษาด้วยกระบวนการแบบกะ น้ำเสียที่ใช้คือ น้ำทึ้งที่ผ่านการบำบัดด้วยระบบชีวภาพ (UASB) มาแล้วจากโรงงานผลิตแป้งมันสำปะหลังแห่งหนึ่งในจังหวัดศรีสะเกษ เก็บตัวอย่างน้ำเสียด้วยวิธีการแบบจั่ง ในช่วงเดือนธันวาคม พ.ศ.2557 ถึง เดือนมีนาคม พ.ศ.2558

1.4.1 การศึกษาสภาพที่เหมาะสมในกระบวนการสร้างตะกอน ได้แก่

1.4.1.1 ชนิดสารสร้างตะกอน โดยทำการศึกษาสารสร้างตะกอนระหว่าง แคลเซียมออกไซด์ และแคลเซียมออกไซด์จากเปลือกไช่

1.4.1.2 ปริมาณสารสร้างตะกอน ที่ความเข้มข้น 1 2 3 และ 4 g/L

1.4.1.3 ความเร็วการกวนผสม คือ ความเร็ว 120 rpm 10 นาที ความช้า 95 rpm 10 นาที

1.4.1.4 ระยะเวลาตกตะกอน 30 นาที

1.4.2 การศึกษาสภาพที่เหมาะสมของกระบวนการ芬น์ตัน ได้แก่

1.4.2.1 อัตราส่วนความเข้มข้นของสารประกอบ芬น์ตัน  $H_2O_2 : Fe^{2+}$  ที่ 7,500 : 1,000 1,000 : 1,000 และ 1,000:7,500 mg/L:mg/L

1.4.2.2 กำหนด pH ที่ใช้คือ pH 3

1.4.2.3 ความเร็วในการกวน 120 rpm

1.4.2.4 ระยะเวลาการเกิดปฏิกิริยา 120 นาที

1.4.2.5 ระยะเวลาตกตะกอน 30 นาที

1.4.3 การวิเคราะห์ค่าซีโอดี โดยวิธีฟลักซ์แบบปิด Close Reflux Method

1.4.4 การวิเคราะห์ค่าของแข็งแχวนลอย โดย โดยวิธี Gravimetric method

1.4.5 การวิเคราะห์ค่าของแข็งละลายน้ำทั้งหมด โดย โดยวิธี Gravimetric method

### 1.5 ประโยชน์ที่คาดว่าจะได้รับ

1.5.1 ทำให้ทราบถึงสภาวะที่เหมาะสมของกระบวนการ Fenning ตันร่วมกับการสร้างตะกอนในการบำบัดน้ำเสีย

1.5.2 ทำให้ทราบประสิทธิภาพการบำบัดน้ำเสียของกระบวนการ Fenning ตันร่วมกับการสร้างตะกอน

1.5.3 ทราบถึงประสิทธิภาพของสารสร้างตะกอนที่ทำการศึกษาระหว่างแคลเซียมออกไซด์ ( $\text{CaO}$ ) และแคลเซียมออกไซด์จากเปลือกไช่

1.5.4 สามารถนำกระบวนการ Fenning ตันร่วมกับการสร้างตะกอนไปประยุกต์ใช้ในการบำบัดน้ำเสียจากกระบวนการผลิตอื่นๆได้

### 1.6 สถานที่ทำการศึกษา

ห้องปฏิบัติการภาควิชาวิศวกรรมเคมี คณะวิศวกรรมศาสตร์ มหาวิทยาลัยอุบลราชธานี

## บทที่ 2

### ทฤษฎีและงานวิจัยที่เกี่ยวข้อง

#### 2.1 คุณสมบัติน้ำเสียจากโรงงานผลิตแป้งมันสำปะหลัง

อุตสาหกรรมผลิตแป้งมันสำปะหลังเป็นอุตสาหกรรมที่มีการน้ำในกระบวนการผลิตเป็นปริมาณมาก ส่งผลให้น้ำที่ใช้เกือบทั้งหมดกล้ายเป็นน้ำเสีย และน้ำอีกส่วนหนึ่งจะสูญหายไปในกระบวนการสลัดแห้งและอบแห้ง ส่วนลักษณะสมบัติของน้ำเสียก่อนเข้าสู่ระบบมีค่าความกรุดปรกในรูปบีโอดีซีโอดีและปริมาณของแข็งค่อนข้างสูง

โลภิดา บุญยุโนกทรัพย์ (2541) พบว่าลักษณะสมบัติของน้ำเสียที่ออกจากโรงงานผลิตแป้งมันสำปะหลังมีค่าบีโอดีเท่ากับ  $12,645 \text{ mg/L}$  ซีโอดีเท่ากับ  $19,300 \text{ mg/L}$  และของแข็งแขวนลอยเท่ากับ  $6,990 \text{ mg/L}$  สำหรับโรงงานขนาดใหญ่ ส่วนในโทรศัพท์หมู่มีปริมาณค่อนข้างต่ำ ทั้งนี้แสดงให้เห็นว่าองค์ประกอบในน้ำเสียดังกล่าวส่วนใหญ่เป็นสารอินทรีย์ โดยค่าพารามิเตอร์ส่วนใหญ่ไม่ผ่านเกณฑ์มาตรฐานน้ำทึ้งจากโรงงานอุตสาหกรรม จึงต้องมีการบำบัดด้วยระบบที่มีความเหมาะสมและให้ประสิทธิภาพที่ดีเพื่อสามารถปล่อยน้ำทึ้งลงสู่แหล่งน้ำตามธรรมชาติได้

การบำบัดน้ำเสียจากโรงงานผลิตแป้งมันสำปะหลังเป็นการบำบัดน้ำเสียที่ปั้นเป็นปืนสารอินทรีย์ซึ่งพบว่าสามารถบำบัดได้โดยแบ่งออกเป็นวิธีการบำบัดทางกายภาพ (Physical treatment) วิธีการบำบัดทางเคมี (Chemical treatment) วิธีการบำบัดทางชีววิทยา (Biological treatment) และวิธีการบำบัดทางกายภาพ-เคมี สำหรับอุตสาหกรรมผลิตแป้งมันสำปะหลัง กระบวนการบำบัดน้ำเสียทางชีววิทยานับเป็นวิธีการที่เหมาะสมเนื่องจากของเสียอยู่ในรูปสาร อินทรีย์และสารอินทรีย์เหล่านั้นสามารถเป็นอาหารให้กับเชื้อได้

ระบบบำบัดทางชีวภาพแบ่งตามแบบที่เรียกว่าได้เป็น 2 ชนิด คือ Autotrophic bacteria และ Heterotrophic bacteria

(1) Autotrophic bacteria แบคทีเรียชนิดนี้จะใช้ออกซิเจนอิสระ (Free oxygen) เพาพลาญสารอินทรีย์เพื่อให้ได้พลังงานและจะใช้คาร์บอนไดออกไซด์ ได้แก่ nitrifying bacteria สามารถเปลี่ยนแอมโมเนียมเป็นไนโตรต

(2) Heterotrophic bacteria แบคทีเรียประเภทนี้ได้พลังงานและธาตุคาร์บอนจากการอินทรีย์แบ่งออกเป็น 3 ชนิด ได้แก่ Aerobic bacteria Facultative bacteria และ Anaerobic bacteria ชนิดนี้ไม่สามารถเติบโตได้เมื่อมีออกซิเจน

## 2.2 การบำบัดน้ำเสียด้วยระบบชีวภาพ

การบำบัดน้ำเสียสามารถแบ่งได้เป็น 2 ระบบ การบำบัดน้ำเสียแบบใช้อากาศ (Aerobic treatment) และการบำบัดน้ำเสียแบบไม่ใช้อากาศ (Anaerobic treatment)

### 2.2.1 การบำบัดน้ำเสียแบบใช้อากาศ (Aerobic treatment)

การบำบัดน้ำเสียแบบใช้อากาศ หมายถึง การบำบัดโดยใช้ออกซิเจนอิสระเพื่อให้จุลทรรศน์ชนิดที่ใช้ออกซิเจนสามารถดำเนินชีวิตอยู่ได้ โดยจุลทรรศน์ชนิดใช้ออกซิเจน (Aerobic bacteria) จะทำการย่อยสลายสารอินทรีย์ในน้ำเสียให้ก่อลายเป็น แอมโมเนีย ใน terrestrial ชัลเฟต พอตเฟต ระบบนมีข้อดีคือสามารถบำบัดน้ำเสียให้มีคุณภาพอยู่ในเกณฑ์มาตรฐานได้ ไม่มีกลิ่นเหม็น และระบบบำบัดบางชนิดสามารถกำจัดสารอาหารได้ แต่มีข้อเสียคือ สำหรับในหน่วยงานที่ มีพื้นที่จำกัดจำเป็นจะต้องทำการเติมอากาศให้กับจุลทรรศน์ซึ่งต้องเสียค่าใช้จ่ายสูง และระบบนี้จะไม่ได้ผลิตภัณฑ์ที่สามารถนำไปใช้ประโยชน์ได้ ระบบบำบัดแบบใช้อากาศที่นิยม ได้แก่ ระบบ บ่อปรับเสถียร (Stabilization pond) ระบบบ่อเติมอากาศ (Aerated lagoon) ระบบตะกอนเรือง (Activated sludge: AS) ระบบໂປຣໂກຣອງ (Trickling filter) ระบบแผ่นหมุนชีวภาพ (Rotating biological contactor: RBC) บึงประดิษฐ์ (Construction wetland)

### 2.2.2 การบำบัดน้ำเสียแบบไม่ใช้อากาศ (Anaerobic treatment)

การบำบัดน้ำเสียแบบไม่ใช้อากาศ หมายถึง การบำบัดที่อาศัยการทำงานของจุลทรรศน์ที่ดำเนินชีวิตอยู่ได้ โดยไม่ต้องการก้าซออกซิเจน ระบบบำบัดชนิดนี้มีข้อดีคือ ใช้พลังงานน้อย ได้ผลิตภัณฑ์เป็นก๊าซมีเทนซึ่งสามารถนำไปใช้ประโยชน์ได้ เช่น ใช้เป็นก๊าซหุงต้ม ใช้ผลิตกระแสไฟฟ้า มีตะกอนส่วนเกินน้อย แต่ระบบการบำบัดดังกล่าวมีการเริ่มดำเนินงานเดินระบบชับช้อนและใช้เวลานานน้ำที่บำบัดออกจากนั้นแล้วน้ำที่ผ่านจากการบำบัดยังมีค่าความสกปรกที่เกินมาตรฐาน ไม่สามารถปล่อยออกสูญแหล่งน้ำได้โดยตรง และอาจมีกลิ่นเหม็นเนื่องจากก๊าซที่เกิดจากการย่อยสลาย เช่น ก๊าซไฮโดรเจน ( $H_2S$ ) ระบบบำบัดแบบไม่ใช้อากาศที่นิยม ได้แก่ ระบบบ่อหมัก (Anaerobic pond) ถังเกราะ (Septic tank) ถังกรองไร้อากาศ (Anaerobic Filter) UASB (Upflow anaerobic sludge blanket) และถังหมักไร้อากาศแบบตรึงพิล์มจุลินทรรศน์ (Anaerobic fixed film) เป็นต้น (วันทนากีรติสมาน, 2543)

## 2.3 ระบบบำบัดน้ำเสียในโรงงานผลิตแป้งมันสำปะหลัง

### 2.3.1 ระบบบำบัดแบบบ่อเปิด (Open pond)

วันทนา เกียรติสมาน (2543) ได้อธิบายไว้ว่า โรงงานผลิตแป้งมันสำปะหลังเป็นอุตสาหกรรมเกษตร น้ำเสียจากโรงงานจึงมีอินทรีย์สารอยู่สูง ระบบบำบัดน้ำเสียดังเดิมที่โรงงานผลิตแป้งมันสำปะหลังส่วนใหญ่ใช้เป็นระบบเปิดที่เป็นบ่อขุดหลายๆ บ่อไหลอย่างต่อเนื่องกัน ซึ่งใช้พื้นที่ในการบำบัดสูง เนื่องจากมีประสิทธิภาพต่ำ บ่อบำบัดจึงมีขนาดใหญ่ระบบบำบัดน้ำเสียระบบบ่อเปิดประกอบด้วย บ่อหมัก (Anaerobic ponds) ติดตามด้วยบ่อกึ่งหมัก (Facultative ponds) และบ่อผิ้ง (Aerobic ponds) ซึ่งเป็นการบำบัดน้ำเสียด้วยวิธีการทางชีวภาพ (Biological wastewater treatment) เพื่อกำจัดสารอินทรีย์ที่ละลายอยู่ในน้ำเสียอาศัยหลักการที่ใช้สิ่งมีชีวิตหรือจุลชีพต่างๆ มาทำการย่อยสลายสารอินทรีย์ในน้ำเพื่อไม่ก่อให้เกิดปัญหาภาวะมลพิษต่อแหล่งน้ำธรรมชาติ

ระบบบำบัดน้ำเสียจากโรงงานผลิตแป้งมันสำปะหลังที่ใช้ในปัจจุบันประกอบด้วย บ่อบำบัดแบบหมัก บ่อบำบัดแบบกึ่งหมัก และบ่อบำบัดแบบผิ้ง ตามลำดับ

#### 2.3.1.1 บ่อบำบัดแบบหมัก (Anaerobic ponds)

เป็นบ่อดินขนาดใหญ่ มีความลึกประมาณ 3.0-4.0 เมตร สามารถรับน้ำเสียที่มีภาระอินทรีย์ (Organic loading rate) ได้มาก หรือมีค่าบีโอดีสูง ๆ จนทำให้บ่อไม่สามารถผลิตออกซิเจนเนื่องจากการสังเคราะห์แสงได้ ซึ่งกระบวนการสังเคราะห์แสงภายในบ่อสามารถทำให้ไม่เกิดขึ้นได้ โดยการลดพื้นที่ผิวน้ำของบ่อ เพิ่มความลึกของบ่อ และเพิ่มภาระการรับสารอินทรีย์ขึ้น ในระหว่างที่น้ำทึบอยู่ในบ่อ สารอินทรีย์ในน้ำทึบจะถูกแบคทีเรียทำลายด้วยปฏิกิริยาเคมีแบบ ไม่ใช้ออกซิเจนทำให้น้ำทึบมักมีกลิ่นเหม็นอันเนื่องมาจากการก๊าซไฮโดรเจนซัลไฟด์และสารประกอบซัลไฟด์อื่นๆ และบางส่วนจะเปลี่ยนรูปไปเป็นก๊าซเหลาชนิด ซึ่งส่วนใหญ่จะเป็นก๊าซมีเทนและคาร์บอนไดออกไซด์ น้ำเสียจะถูกปล่อยเข้ามาในบริเวณก้นบ่อ เพื่อให้มีโอกาสสัมผัสถักกับชั้นของตะกอน จุลินทรีย์ที่มีตัวอยู่ที่ก้นบ่อ และน้ำที่ผ่านการบำบัดแล้วจะถูกปล่อยออกไปตามท่อที่อยู่ตรงข้ามกับท่อน้ำเข้า และท่อน้ำออกน้ำจะต้องอยู่ต่ำกว่าระดับไข่ขันที่ปักคลุมบ่อ ไม่จำเป็นต้องมีการกวนตะกอนให้เกิดการหมุนเวียนภายในบ่อ เพราะก๊าซที่เกิดขึ้นเกิดจากกระบวนการย่อยสลายแบบไม่ใช้ออกซิเจนนี้มีปริมาณมากพอที่ทำให้เกิดการหมุนเวียนของตะกอนจุลินทรีย์ภายในบ่อได้อย่างพอเพียง

#### 2.3.1.2 บ่อบำบัดแบบกึ่งหมัก (Facultative ponds)

เป็นบ่อดินที่มีความลึกน้อยกว่าบ่อหมัก โดยมีความลึกประมาณ 1.0-2.5 เมตร การทำงานของจุลินทรีย์ในบ่อ กึ่งหมัก มี 3 เขต คือ เขตบนเป็นการทำงานของแบคทีเรียที่ต้องการออกซิเจน (Aerobic bacteria) และจะมีสาหร่ายเกิดขึ้นอยู่ร่วมกัน เขตก้นบ่อเป็นการทำงานของแบคทีเรียที่ไม่ต้องการออกซิเจน (Anaerobic bacteria) ที่จะทำการย่อยสลายสารอินทรีย์ที่ก้นบ่อ

และเขตอยต่อ เป็นการทำงานของแบคทีเรียที่สามารถเจริญได้ในสภาพที่มีออกซิเจนน้อย คือสามารถอาศัยได้ทั้งในสภาพที่มีออกซิเจนและไม่มีออกซิเจน (Facultative bacteria)

### 2.3.1.3 บ่อบำบัดแบบบ่อผึ้ง (Aerobic ponds)

เป็นบ่อดินกว้าง มีความลึกน้อยที่สุดในทั้งสามบ่อบำบัดคือมีความลึกประมาณ 1.0-1.5 เมตร จุลินทรีย์ในระบบซึ่งประกอบด้วย แบคทีเรียและสาหร่าย ดำรงชีพอยู่ด้วยการพึงพาอาศัยซึ่งกันและกัน และสาหร่ายจะสังเคราะห์แสงโดยใช้ก้าชาร์บอนไดออกไซด์ ที่ปล่อยออกมานอกจากการย่อยสลายสารอินทรีย์carbonของแบคทีเรีย ให้ก้าชาร์บอนออกมานอกจากน้ำ เกิดขึ้นก็จะถูกนำไปใช้โดยแบคทีเรียที่ใช้อาหารในการย่อยสลายสารอินทรีย์carbonในน้ำเสีย และให้ผลผลิตออกมานำไปใช้โดยแบคทีเรียที่ใช้อาหารในการย่อยสลายสารอินทรีย์carbonในน้ำเสีย ซึ่งจะถูกสาหร่ายนำไปใช้เป็นวัฏจักรต่อไป นอกจากนี้ การทำให้เกิดสภาพมีออกซิเจนละลายน้อยในบ่ออย่างทั่วถึงนั้น บ่อจึงไม่ควรลึก เพราะออกซิเจนจากบรรยากาศจะแทรกซึมลงไปได้มากขึ้น และสาหร่ายจะได้รับแสงแดดอย่างทั่วถึง และนำไปใช้ในการสังเคราะห์มากยิ่งขึ้น รอบๆ บ่อไม่ควรปลูกต้นไม้ใหญ่หรือสิ่งกีดขวางที่จะบดบังกระแสและแสงแดด

### 2.3.2 ระบบบำบัดแบบปิด (Closed system)

2.3.2.1 ถังปฏิกรณ์ไร้อากาศแบบผสมกวน (Completely stirred tank reactor: CSTR) เป็นถังปฏิกรณ์ (Closed anaerobic tank system) ซึ่งเป็นระบบบำบัดไร้อากาศที่ใช้จุลินทรีย์เป็นตัวย่อยสลายสารอินทรีย์ในน้ำเสียภายในถังปฏิกรณ์ โดยติดตั้งอุปกรณ์กวาดตะกอน (Scraper) ตรงด้านล่างของถังปฏิกรณ์เพื่อเพิ่มประสิทธิภาพในการบำบัด ถังปฏิกรณ์มีจุดเด่น คือการกวนผสมภายในถังตลอดเวลาทำให้จุลินทรีย์ได้สัมผัสถกับสารอินทรีย์อย่างทั่วถึง ซึ่งจะเพิ่มความสามารถในการผลิตก้าชีวภาพได้อีกด้วย ระบบนี้เมื่อจุลินทรีย์ย่อยสลายสารแขวนลอยในน้ำเสียจะได้ก้าชีวภาพเป็นผลผลลัพธ์ได้ลอยสู่ด้านบนหมายเหตุน้ำเสียที่มีสารแขวนลอยสูง

2.3.2.2 ถังปฏิกรณ์ไร้อากาศแบบแผ่นกั้น (Anaerobic baffled reactor: ABR) ระบบบำบัดน้ำเสียแบบนี้มีลักษณะเป็นถังที่มีแผ่นกั้นขวางหลายแผ่นติดตั้งไว้ในถังยาวตามการไหลของน้ำเสียเข้าสู่ระบบจะเป็นลักษณะไอล์ฟินไอล์ฟลง (หรือซ้ายขวา) ลับกันไปหลายครั้ง เมื่อน้ำเสียไหลไปตามช่องทางที่ออกแบบไว้ภายในบ่อ สารอินทรีย์ในน้ำเสียจะสัมผัสถกับจุลินทรีย์ระหว่างการเดินทางภายในบ่อจนกว่าความสกปรกลดลงตามลำดับก่อนจะออกจากระบบ

2.3.2.3 ถังปฏิกรณ์ไร้อากาศแบบชั้นสลัดจ์ (Upflow anaerobic sludge blanket: UASB) หลักการของระบบนี้จะให้น้ำเสียไหลขึ้น น้ำเสียที่ประกอบไปด้วยสารอินทรีย์ ซึ่งเป็นสารอาหารของจุลินทรีย์จะถูกป้อนเข้าจากทางด้านล่าง ระหว่างที่ไหลขึ้นสู่ด้านบนของถังปฏิกรณ์นั้น สารอินทรีย์จะสัมผัสถกับเม็ดตะกอนจุลินทรีย์ที่ทำหน้าที่ย่อยสลายคือ จุลินทรีย์จะจับตัวเป็นเม็ดเล็กๆ (Granules) เส้นผ่านศูนย์กลางราว 1-2 มิลลิเมตร มีคุณสมบัติในการตกตะกอนได้ดีมาก ภายในระบบจะแบ่งออกเป็น 2 ชั้น คือ ชั้นนำและชั้นตะกอน โดยจะมีระบบแยกน้ำใสภายนอกน้ำในถังปฏิกรณ์ และมี

ระบบเก็บรวบรวมก๊าซที่ผลิตขึ้นมาได้เพื่อนำออกจากรังบปฏิกรณ์ วิธีการคือมีเม็ดตะกอนจุลินทรีย์สามารถกระจายอยู่ทั่วไปในระบบโดยไม่ต้องເກະຍືດກັບວັສດຸຕົວລາງ (Inert media) ຈຶ່ງຈະປະຫຍັດຄ່າໃຊ້ຈ່າຍສໍາຫຼວັສດຸຕົວລາງໄດ້ ระบบນີ້ແມ່ນກັບນ້ຳເສີຍທີ່ມີສາຮແຂວນລອຍດໍາ

2.3.2.4 ระบบบำบัดแบบตรึงພິລົມຈຸລິນທີຣີນິດໄຮ້ອາກາສ (Anaerobic fixed film reactor: AFFR) เป็นระบบบำบัดນ້ຳເສີຍທີ່ໃຊ້ວັສດຸຕົວລາງບຽງຢູ່ຢາຍໃນระบบถังປັງປົງປັບປຸງປະບົບ บำบัดແບບນີ້ເປັນຮະບບທີ່ມີປະສິທິອີກພຸ່ງ ເນື່ອຈາກມີກັບເກີບເຂົລົລົຈຸລິນທີຣີໃຫ້ຄອງຢູ່ໃນຮະບບບຳບັດ ໂດຍການຕຽງເຂົລົລົຈຸລິນທີຣີໄວ້ບັນຜິວວັສດຸຕົວລາງ (Media ອີຣ້ ສູ່ມາຮມາດ) ເຊັ່ນ ຕາຂ່າຍໃນລ່ອນໂຮງເຊື້ອກໃນລ່ອນ ເປັນຕົ້ນ ໃນຮູບຂອງພິລົມຈິວ (Biofilm) ຜົ່ງສາມາດລັດກາຮູ່ເສີຍຈຸລິນທີຣີອອກໄປພັກອົມກັບນ້ຳທີ່ທີ່ຜ່ານການບຳບັດທຳໃຫ້ຮະບບສາມາດກຳຈັດສາຮອິນທີຣີໄດ້ອ່າຍ່າງຄົງທີ່ແລ້ສາມາດກັບສູ່ສ່ວນກາວະທຳການປົກຕິໄດ້ເຮົວ ການເກີດກາຮູ່ເປັນແປ່ງແປ່ງສ່ວນກາວະທຳທີ່ໄລ້ເຂົ້າຮະບບໂຮງເກີດກາຮອິນທີຣີສູ່ເກີນໄປ (ວັນທາ ເກີຍຣຕິສມານມ, 2543)

## 2.4 ຂັ້ນຕອນໃນການບຳບັດນ້ຳເສີຍ

ເນື່ອຈາກນ້ຳເສີຍມີແຫ່ງທີ່ມາແຕກຕ່າງກັນຈຶ່ງທີ່ໃຫ້ມີບົນານແລ້ວຄວາມສົກປຽກຂອງນ້ຳເສີຍແຕກຕ່າງກັນໄປດ້ວຍ ໃນການປັບປຸງຄຸນກາພຂອງນ້ຳເສີຍຈຳເປັນຈະຕ້ອງເລືອກວິທີກາຮູ່ທີ່ເໝາະສົມ ສໍາຫຼວກຮ່ວມວິທີໃນການປັບປຸງຄຸນກາພຂອງນ້ຳເສີຍນັ້ນກີ່ມໍ່ຫລາຍວິທີດ້ວຍກັນໂດຍສາມາດແບ່ງຂັ້ນຕອນໃນການບຳບັດອອກໄດ້ດັ່ງນີ້ (ກຣມຄວບຄຸມມລພິບ, 2545)

### 2.4.1 ການບຳບັດນ້ຳເສີຍຂັ້ນຕົ້ນ (Pretreatment)

ເປັນການກຳຈັດຂອງແຂ້ງຂາດໃຫ້ຢູ່ອອກເສີຍກ່ອນທີ່ນ້ຳເສີຍຈະຖຸກປ່ອຍເຂົ້າສູ່ຮະບບບຳບັດນ້ຳເສີຍ ເພື່ອປ້ອງກັນກາຮູ່ອຸດຕັນທ່ອນ້ຳເສີຍ ແລະເພື່ອໄມ່ທຳກວາມເສີຍຫາຍໃຫ້ແກ່ເຄື່ອງສູບນ້ຳການບຳບັດໃນຂັ້ນນີ້ໄດ້ແກ່

2.4.1.1 ການດັກດ້ວຍຕະແກງ ເປັນການກຳຈັດຂອງແຂ້ງຂາດໃຫ້ໂດຍໃຫ້ຕະແກງ ຕະແກງທີ່ໃຫ້ໂດຍທີ່ໄປມີ 2 ປະເທດຄ້ອງ ຕະແກງທ່າຍບານແລ້ວຕະແກງລະເລີຍດ

2.4.1.2 ການບັດຕັດເປັນກາຮູ່ອຸດຕັນທ່ອນ້ຳເສີຍ ດ້ວຍກັບນ້ຳເສີຍທີ່ເປັນສິ່ງທີ່ເປົ້າເປົ້າໄດ້ຕ້ອງໃຫ້ເຄື່ອງບັດຕັດໃຫ້ລະເລີຍດ ກ່ອນແຍກອອກດ້ວຍກາຮູ່ອຸດຕັນ

2.4.1.3 ການດັກກວດທ່າຍ ເປັນການກຳຈັດພວກກວດທ່າຍ ທຳໄຫ້ຕົກຕະກອນໃນຮັງດັກກວດທ່າຍ ໂດຍກາຮູ່ອຸດຕັນ

2.4.1.4 ການກຳຈັດໄຟມັນແລ້ວນ້ຳມັນເປັນການກຳຈັດໄຟມັນແລ້ວນ້ຳມັນທີ່ມີມັກອູ່ຢູ່ໃນນ້ຳເສີຍທີ່ມາຈາກຄ້ວ່າ ໂຮງອາຫາຣ ທ້ອນນ້ຳ ປຶ້ມນ້ຳມັນ ແລະ ໂຮງອາຫາຣອຸດສາຫກຮົມບາງໜົນໂດຍກາຮູ່ອຸດຕັນໄວ້ໃນບ່ອດັກໄຟມັນໃນຊ່ວງເວລາທີ່ເປົ້າໄຫ້ນ້ຳມັນແລ້ວໄຟມັນລອຍຕ້ວັ້ນສູ່ຜິວນ້ຳແລ້ວໃຫ້ເຄື່ອງຕົກຫຼືກວດອອກຈາກບ່ອດັກໄຟມັນ

#### 2.4.2 การบำบัดน้ำเสียขั้นที่สอง (Secondary Treatment)

เป็นการกำจัดน้ำเสียที่เป็นพอกสารอินทรีย์อยู่ในรูปสารละลาย หรืออนุภาคคลอลอยด์ โดยทั่วไปมักจะเรียกการบำบัด ขั้นที่สองนี้ว่า “การบำบัดน้ำเสียด้วยกระบวนการทางชีวิทยา” เนื่องจากเป็นขั้นตอนที่ต้องอาศัยจุลินทรีย์ในการย่อยสลาย หรือทำลายความสกปรกในน้ำเสีย การบำบัดน้ำเสีย ในปัจจุบันนี้อย่างน้อยจะต้องบำบัดถึงขั้นที่สองนี้ เพื่อให้น้ำเสียที่ผ่านการบำบัดแล้วมีคุณภาพมาตรฐานน้ำทึบที่ทางราชการกำหนดไว้ การบำบัดน้ำเสียด้วยกระบวนการทางชีวิทยาแบ่ง เป็น 2 ประเภท ได้แก่ ขบวนการที่ใช้ออกซิเจน เช่น ระบบบ่อเติมอากาศ ระบบแคนติเวตเตดสลัต์ ระบบแผ่นหมุนชีวภาพ ฯลฯ และ ขบวนการที่ไม่ใช้ออกซิเจน เช่น ระบบถังกรองไร้อากาศ ระบบถังหมักตะกอน ฯลฯ ทั้งนี้ขึ้นอยู่กับชนิดของจุลินทรีย์ ที่ทำหน้าที่ย่อยสลาย

#### 2.4.3 การบำบัดน้ำเสียขั้นสูง (Advanced Treatment)

เป็นการบำบัดน้ำเสียที่ผ่านการบำบัดในขั้นที่สองมาแล้ว เพื่อกำจัดสิ่งสกปรกบางอย่างที่ยังเหลืออยู่ เช่น โลหะหนัก หรือเชื้อโรคบางชนิดก่อนจะระบายน้ำทึบลงสู่แหล่งน้ำสาธารณะ การบำบัดขั้นนี้มักไม่นิยมปฏิบัติกัน เนื่องจากมีขั้นตอนที่ยุ่งยากและเสียค่าใช้จ่ายสูงจากผู้บำบัดจะมีภาระค่าใช้จ่ายสูงจากการนำน้ำที่บำบัดแล้วกลับคืนมาใช้อีกครั้ง (กองอนามัยสิ่งแวดล้อม, 2557)

### 2.5 กระบวนการบำบัดน้ำเสีย

ภญ.โญ พานิชพันธ์ (2557) อธิบายไว้ว่า กระบวนการบำบัดน้ำเสียมีหลากหลายวิธีในการเลือกใช้ กำจัดสิ่งเจือปน หรือลดความเป็นพิษที่เกิดขึ้นในน้ำเสีย ทั้งนี้ในปัจจุบันการเลือกกระบวนการบำบัดขั้นอยู่กับลักษณะของน้ำเสียและลักษณะความเป็นพิษที่เกิดขึ้นในน้ำเสียนั้น ซึ่งสามารถจำแนกกระบวนการบำบัดออกเป็นดังนี้

#### 2.5.1 กระบวนการทางเคมี (chemical process)

เป็นวิธีการบำบัดน้ำเสียโดยการแยกสารต่างๆ หรือสิ่งปนเปื้อนในน้ำเสียที่บำบัด เช่น โลหะหนัก สารพิษ สภาพความเป็นกรด ด่างสูงๆ ที่ปนเปื้อนอยู่ ด้วยการเติมสารเคมีต่าง ๆ ลงไปเพื่อให้เข้าไปทำปฏิกิริยาซึ่งจะมีประโยชน์ในการแยกสาร แต่วิธีนี้มีข้อเสียคือ เมื่อเติมสารเคมีลงในน้ำเสียแล้ว ทำให้เกิดผลกระทบต่อสิ่งแวดล้อมและวิธีนี้จะมีค่าใช้จ่ายสำหรับสารเคมีค่อนข้างสูง ดังนั้นกระบวนการทางเคมีจะเลือกใช้ก็ต่อเมื่อน้ำเสียไม่สามารถบำบัดได้ด้วยกระบวนการทางกายภาพหรือชีวภาพ

2.5.1.1 การทำให้เกิดตะกอน (precipitation) อาศัยหลักการเติมสารเคมีลงไปทำปฏิกิริยาทำให้เกิดกลุ่มตะกอนตกลงมา โดยทั่วไปสารแขวนจะมีประจุลบ ดังนั้นสารเคมีที่เติมลงไปจึงเป็นประจุบวกเพื่อทำให้เป็นกลาง การแยกด้วยวิธีนี้มีค่าใช้จ่ายสูงแต่ก็มีประสิทธิภาพสูงเช่นกัน ดังนั้นวิธีนี้จะเลือกใช้ต่อเมื่อมีความสามารถแยกได้โดยกระบวนการทางชีวภาพหรือกายภาพ

2.5.1.2 การเกิดออกซิเดชันทางเคมี (chemical oxidation) อาศัยหลักการเสียอิเล็กตรอนของอะตอมให้แก่สารเคมีที่เติมลงไปในน้ำเสีย โดยสารเคมีนี้จะทำหน้าที่เป็นตัวออกซิไดซ์ (oxidizing agent) ส่วนมากวินิจฉานิยมใช้เปลี่ยนโนโลกลุกของโลหะที่เป็นพิษ เช่น การเปลี่ยน  $\text{Fe}^{2+}$

2.5.1.3 การเกิดรีดักชันทางเคมี (chemical reduction) เป็นปฏิกิริยาที่มีการรับอิเล็กตรอน วิธีการนี้เป็นการเปลี่ยนสภาพของสารพิษไปเป็นสารที่มีอันตรายน้อยลง อะตอมหรืออ่อนของสารพิษจะรับอิเล็กตรอนจากสารเคมีที่เติมลงไปซึ่งมีสมบัติเป็นตัวรีดิวซ์ (reducing agent) เช่น การเปลี่ยน  $\text{Cr}^{6+}$  ซึ่งมีพิษมากไปเป็น  $\text{Cr}^{3+}$  ด้วย เฟอร์รัสซัลเฟต ( $\text{FeSO}_4$ ) ในสภาพที่เป็นกรด

2.5.1.4 การสะเทิน (neutralization) เป็นการเปลี่ยนค่าความเป็นกรด-ด่าง ( $\text{pH}$ ) ของน้ำเสียให้มีคุณที่เป็นกลาง ( $\text{pH} = 7$ ) ถ้าต้องการปรับค่าน้ำเสียที่มีคุณที่เป็นกรด ( $\text{pH} < 7$ ) ในน้ำเสียให้สูงขึ้นต้องเติมสารที่มีคุณที่เป็นด่าง เช่น แคลเซียมคาร์บอเนตหรือโซเดียมไฮดรอกไซด์ ส่วนกรณีถ้าต้องการปรับน้ำเสียมีคุณที่เป็นด่าง ( $\text{pH} > 7$ ) ให้มีค่า  $\text{pH}$  ต่ำลงจะต้องเติมกรด เช่น กรดซัลฟิวริกกรดไนตริก กรดเกลือและก๊าซคาร์บอนไดออกไซด์ เป็นต้น

## 2.5.2 กระบวนการทางชีวิทยา (Biological Process)

กระบวนการทางชีวิทยา (biological process) เป็นการอาศัยหลักการใช้จุลินทรีย์ต่างๆ มาทำการย่อยสลายเปลี่ยนอินทรีย์สารไปเป็นก๊าซcarbonไดออกไซด์และแอมโมเนีย เป็นการบำบัดน้ำเสียที่ดีที่สุดในเรื่องของการลดปริมาณสารอินทรีย์ในแหล่งน้ำ แต่หลักการนี้เลือกสภาพแวดล้อมให้เหมาะสมกับการทำงานของจุลินทรีย์ โดยสัมพันธ์กับปริมาณของจุลินทรีย์และเวลาที่ใช้ในการย่อยสลาย แบคทีเรียที่เลือกใช้ในการย่อยสลายสารอินทรีย์แยกออกได้เป็น 2 ประเภท ได้แก่ กลุ่มแรกคือแบคทีเรียที่ต้องใช้ออกซิเจน (aerobic bacteria) ส่วนกลุ่มที่ 2 คือ พากไม้ใช้ออกซิเจน (anaerobic bacteria)

## 2.5.3 กระบวนการทางกายภาพ (physical process)

เป็นการบำบัดน้ำเสียอย่างง่ายซึ่งจะแยกของแข็งที่ไม่ละลายน้ำออก วิธีนี้จะแยกตะกอนได้ประมาณ 50-65 % ส่วนเรื่องการแยกความสกปรกในรูปของสารอินทรีย์ ( $\text{BOD}_5$ ) สามารถแยกได้ 20-30 % เท่านั้น วิธีการต่างๆ ในกระบวนการทางกายภาพ เช่น

2.5.3.1 การตัดด้วยตะแกรง (screening) เป็นการแยกเศษขยะต่างๆ ที่มา กับน้ำเสีย เช่น เศษไม้ ถุงพลาสติก กระดาษ ตะแกรงมีหลายขนาด การตัดด้วยตะแกรงจึงเป็นการแยกขั้นตอนแรกในการบำบัดน้ำเสีย

2.5.3.2 การตัดย่อย (combination) คือ การใช้เครื่องตัดทำลายเศษขยะขนาดใหญ่ให้มีขนาดเล็กลง

2.5.3.3 การกราวด (skimming) เป็นการกำจัดน้ำมันและไขมันโดยทำการตักหรือกราวด์ออกจากน้ำเสีย

2.5.3.4 การทำให้ลอย (floating) จะใช้กับตะกอนที่มีความถ่วงจำเพาะน้อยกว่าน้ำ

2.5.3.5 การตกตะกอน (sedimentation) เป็นการแยกตะกอนออกจากน้ำเสียโดยอาศัยหลักการเรื่องแรงโน้มถ่วงซึ่งจะใช้กับตะกอนที่มีความถ่วงจำเพาะมากกว่าน้ำ

#### 2.5.4 กระบวนการทางกายภาพเคมี (physical-chemical process)

เป็นกระบวนการที่ต้องมีอุปกรณ์ช่วยมากกว่ากระบวนการที่กล่าวมา ซึ่งกระบวนการนี้จะใช้ในขั้นตอนสุดท้ายในการบำบัดน้ำเสีย ที่ผ่านกระบวนการในขั้นตอนอื่นแล้ว เช่น กระบวนการดังต่อไปนี้

2.5.4.1 การดูดซับด้วยถ่าน (carbon adsorption) วิธีการนี้ใช้ผงถ่านหรือคาร์บอนเป็นตัวดูดซับสารเจือปนที่ละลายอยู่ในน้ำทิ้ง

2.5.4.2 การแลกเปลี่ยนประจุ วิธีการนี้อาศัยหลักการแลกเปลี่ยนประจุระหว่างสารปนเปื้อนในน้ำเสียกับตัวกลางที่บรรจุซึ่งมีทั้งประจุบวกและประจุลบ

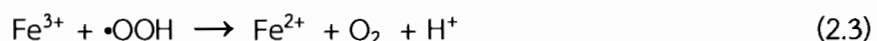
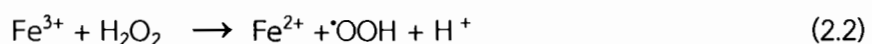
### 2.6 กระบวนการ芬顿

กระบวนการ芬顿เป็นวิธีหนึ่งของกระบวนการแอดวานซ์ออกซิเดชัน (Advanced Oxidation Processes: AOPs) ซึ่งเป็นกระบวนการบำบัดน้ำเสียทางเคมี โดยการเติมสารเคมีให้เกิดปฏิกิริยาของไฮดรอกซิลเรดิก็คอล (Hydroxyl Radical, HO<sup>•</sup>) ในการบำบัดสารอินทรีย์ในน้ำเสีย กระบวนการ芬顿ถูกค้นพบโดย H.J.H. Fenton ในปี 1876 หรือ เมื่อ 136 ปีที่แล้ว โดย Fenton พบว่า ไฮโดรเจนเปอร์ออกไซด์ (H<sub>2</sub>O<sub>2</sub>) และเฟอร์รัสไอออน (Fe<sup>2+</sup>) จะเกิดปฏิกิริยาทางเคมีที่มีลักษณะเฉพาะและสามารถเปลี่ยนแปลงโครงสร้างของโมเลกุลของสารเคมีที่เป็นพิษได้ โดยมีการออกซิไดซ์ระหว่างเฟอร์รัสไอออนกับไฮโดรเจนเปอร์ออกไซด์กระบวนการนี้ได้ถูกนำมาประยุกต์ใช้กับระบบบำบัดน้ำเสียจากโรงงานอุตสาหกรรม ที่มีสารพิษประเภทสารประกอบอินทรีย์ปะปน เช่น ฟีนอล สารประกอบอะโรมาติก หรือสารเคมีที่มาจากวัสดุสีเย็บ ยาฆ่าแมลง สารกันบุด พลาสติก ยาง เป็นต้น กระบวนการ芬顿ที่ประยุกต์ใช้กับระบบบำบัดน้ำเสียมีผลต่อน้ำเสีย คือ ทำให้สามารถลดค่า BOD COD ลดกลิ่นและสี อีกทั้งยังช่วยกระบวนการย่อยสลายทางชีวภาพและทำลายสารอินทรีย์ที่เป็นมลพิษอีกด้วย

เงิน ประดิษฐ์วัฒนกิจ (2555) ทำการศึกษาประสิทธิภาพเทคโนโลยีดีสชาร์จทางไฟฟ้าในการบำบัดน้ำเสียจากโรงงานผลิตแป้งมันสำปะหลัง ซึ่งเป็นกระบวนการบำบัดด้วยโอโซน โดยทำการวิจัยน้ำเสียจากแหล่งอุตสาหกรรมและจากที่เตรียมขึ้นเอง ทั้งนี้เพื่อให้น้ำทิ้งที่ออกจากโรงงานแป้งมันอยู่ในเกณฑ์มาตรฐาน พบร้าสามารถบำบัดน้ำเสียจากโรงงานผลิตแป้งมันสำปะหลังได้เป็นอย่างดี โดยหลังทำการบำบัดแล้วพบว่ามีค่า COD อยู่ในช่วง 63.18 – 105.96 mg/L และค่าเฉลี่ยของ BOD อยู่ในช่วง 15.02 – 18.53 mg/L

### 2.6.1 กลไกของปฏิกิริยาเ芬ตัน

ปฏิกิริยาเ芬ตันเป็นปฏิกิริยาออกซิเดชันที่เกิดอย่างรวดเร็วของสารประกอบอินทรีย์ ในสารละลายน้ำไฮโดรเจน Peroxide ( $H_2O_2$ ) โดยมีตัวเร่งปฏิกิริยาเป็นเฟอร์รัสไอโอน ( $Fe^{2+}$ ) และเฟอร์ริกไอโอน ( $Fe^{3+}$ ) ซึ่งจะได้เป็นอนุมูลอิสระไฮดรอกซิลเรดิคัล (Hydroxyl Radical, HO) หรือไฮดรอกซิลเรดิคอล ( $\cdot OH$ ) ที่เข้าทำปฏิกิริยากับสารอินทรีย์ในน้ำเสีย ซึ่งปฏิกิริยาเคมีหลักๆ สามารถแสดงได้ดังต่อไปนี้



จากสมการจะเห็นว่ามีไฮดรอกซิลเรดิคอล ( $\cdot OH$ ) อยู่ในระบบตลอดเวลาทำให้สามารถทำปฏิกิริยากับสารประกอบอินทรีย์เกือบทั้งหมด และให้ผลิตภัณฑ์สุดท้ายเป็นคาร์บอนไดออกไซด์และน้ำ ดังสมการที่ (2.8) ส่วนสำคัญของปฏิกิริยาเ芬ตันที่ต้องมีการควบคุม คือ ปริมาณสาร ประกอบเ芬ตันและพีเอชในระหว่างการเกิดปฏิกิริยา เพราะหากไม่มีการควบคุมแล้วจะทำให้สิ้นเปลืองสารเคมีโดยเปล่าประโยชน์ และทำให้สิ้นเปลืองต้นทุนในการบำบัดน้ำเสีย อีกทั้งข้อดีของการบำบัดน้ำเสียด้วยปฏิกิริยาเ芬ตัน คือความสามารถในการออกซิไดซ์สารอินทรีย์โดยเข้าทำปฏิกิริยาแบบไม่เฉพาะเจาะจงของไฮดรอกซิลเรดิคอล ( $\cdot OH$ ) และยังสามารถบำบัดน้ำเสียที่มีสารเคมีเป็นพิษที่ไม่สามารถบำบัดด้วยวิธีการทางชีวภาพได้ (นาฏ ภูวนศ์ผา และคณะ, 2555)

## 2.7 ปัจจัยที่ส่งผลต่อปฏิกิริยาเฟนตัน

### 2.7.1 ค่าพีเอช

ค่าพีเอชของกระบวนการเฟนตันที่เหมาะสม คือช่วงสภาวะที่เป็นกรดอยู่ในช่วงพีเอช 3-4 และหากค่าพีเอชเพิ่มสูงขึ้นจะส่งผลให้เกิดการระบกวนการนำกลับมาใช้ใหม่ของ เฟอร์รัสไอออน โดยปฏิกิริยาระหว่างเฟอร์ริคไอออนกับ  $H_2O_2$  จะถูกยับยั้ง และประสิทธิภาพในการกำจัดสารอินทรีย์ลดลง จากการศึกษาบำบัดน้ำเสียโรงงานฟอกย้อม พบร้าว่าค่าพีเอชที่เหมาะสมอยู่ในช่วงค่าความเป็นกรดที่ pH 3.40 (สุเทพ สิริวิทยาปกรณ์ และวีระนุช บุญรุ่ง, 2553) และสภาวะที่เหมาะสม ของปฏิกิริยาเฟนตันในการบำบัดน้ำเสียจากอุตสาหกรรมหมึกพิมพ์ คือ pH 4 (Ma, X. J. and Xia, H. L., 2009)

Li., J. et al. (2012) ทำการทดลองบำบัดน้ำเสียจากโรงงานเส้นใยอะคริลิคด้วยกระบวนการเฟนตัน พบร้าว่าค่าพีเอชที่เหมาะสมที่สุดคือ pH 3 มีประสิทธิภาพในการกำจัดค่าซีไอดี 65.5%

### 2.7.2 ปริมาณสารไฮโดรเจนperอํอกไซด์ ( $H_2O_2$ )

เนื่องจากไฮโดรเจนperอํอกไซด์ ( $H_2O_2$ ) เป็นสารอํอกซิเดช์ที่รุนแรงสามารถย่อยสลายสารอินทรีย์ในน้ำเสียได้อย่างมีประสิทธิภาพ ดังนั้นหากมีการแปรผันค่าความเข้มข้นของสารไฮโดรเจนperอํอกไซด์เพิ่มขึ้น จะส่งผลให้เกิดอนุมูลไฮดรอกซิลเพิ่มขึ้นจนกระทั่งสารไฮโดรเจนperอํอกไซด์ทำปฏิกิริยากับอนุมูลอิสระเองทำให้ได้เป็นอนุมูลperไฮดรอกซิล ซึ่งอนุมูลperไฮดรอกซิลเป็นตัวอํอกซิเดช์ที่อ่อนกว่าส่งผลให้ประสิทธิภาพในการกำจัดสารอินทรีย์ลดลงได้ (สุเทพ สิริวิทยาปกรณ์ และวีระนุช บุญรุ่ง, 2553)

จินต์ อโนทัย และคณะ (2547) ได้ทำการศึกษาการบำบัดน้ำเสียเพื่อกำจัดซีไอดีที่หลงเหลืออยู่ในน้ำชาซึ่งมาจากหลุมฝังกลบมั่นคงที่ผ่านการบำบัดเบื้องต้นมาแล้วเพื่อให้น้ำทึ้งมีค่าซีไอดีเป็นไปตามมาตรฐานของทางราชการ พบร้าว่าที่ปริมาณความเข้มข้นของอนุมูลเฟอร์รัสและไฮโดรเจนperอํอกไซด์เท่ากับ 1,000 และ 7,500 mg/L มีประสิทธิภาพในการกำจัดค่าซีไอดีสูงที่สุด

### 2.7.3 ปริมาณเฟอร์รัสซัลเฟต ( $FeSO_4 \cdot 7H_2O$ )

เฟอร์รัสซัลเฟตส่งผลให้ออนุมูลไฮดรอกซิลเกิดขึ้นได้อย่างรวดเร็ว การเพิ่มปริมาณของเฟอร์รัสซัลเฟตจึงมีผลต่อสารไฮโดรเจนperอํอกไซด์ในการเข้าทำปฏิกิริยา หากเพิ่มปริมาณมากเกินไปจะส่งผลให้ประสิทธิภาพในการบำบัดลดลง (สุเทพ สิริวิทยาปกรณ์ และวีระนุช บุญรุ่ง, 2553) และการเพิ่มปริมาณเฟอร์รัสซัลเฟตจากการแปรผันค่าเพิ่มมากขึ้นส่งผลให้ประสิทธิภาพการบำบัดซีไอดีลดลง สังเกตได้จากกลุ่มฟล็อกขนาดเล็กที่เกิดขึ้นจำนวนมาก (Ma, X. J. and Xia, H. L., 2009) ดังนั้นจึงเป็นปัจจัยอีกตัวหนึ่งที่ต้องทำการปริมาณที่เหมาะสม



#### 2.7.4 ระยะเวลาของการเกิดปฏิกิริยา

ระยะเวลาของการเกิดปฏิกิริยา คือระยะเวลาในการทำปฏิกิริยาของสารเฟนตันกับสารอินทรีย์ในน้ำเสียเป็นปัจจัยที่ต้องศึกษา เพื่อหาระยะเวลาในการเกิดปฏิกิริยาที่ดีที่สุด นาถ ภูวงศ์พา (2555) ได้อธิบายว่า การเกิดปฏิกิริยาเฟนตันออกซิเดชันเป็นปฏิกิริยาที่เกิดการกำจัดสารอินทรีย์อย่างรวดเร็วโดยพบว่าในช่วง 30 นาทีแรกจะมีค่าการกำจัดซีโอดีมากที่สุด หลังจากนั้นค่าการกำจัดสารอินทรีย์จะลดลง จากการศึกษาของ Li, J. et al. (2012) พบว่าประสิทธิภาพดีที่สุดในการกำจัดค่าซีโอดี 65.5% ที่ระยะเวลาการเกิดปฏิกิริยาเท่ากับ 120 นาที อีกทั้ง สุเทพ สิริวิทยาภรณ์ และวีระนุช บุญรุ่ง (2553) กล่าวไว้ว่าจากการทดลองผันแปรระยะเวลาในการเกิดปฏิกิริยาพบว่า ที่ระยะเวลาเพิ่มขึ้นมีแนวโน้มช่วยเพิ่มประสิทธิภาพในการบำบัดสีและค่าซีโอดี เนื่องมาจากที่ระยะเวลามากขึ้นทำให้ออนุมูลอิสระไครอซิลามีเวลาจับตัวกับสารเพิ่มมากขึ้น

งานวิจัยนี้พบว่าในปัจจุบันมีการบำบัดน้ำเสียด้วยกระบวนการเฟนตันเป็นไปในแนวทางที่ดี โดยการทดลองหาสภาวะที่เหมาะสมของอัตราส่วน  $H_2O_2 : Fe^{2+}$  และแนวทางของระบบบำบัดเพื่อให้มีประสิทธิภาพขึ้นอยู่กับลักษณะความหลากหลายของสารอินทรีย์ที่มีอยู่ในน้ำเสียแต่ละประเภท ดังนั้น จึงมีความสนใจในการนำกระบวนการเฟนตันมาใช้เพื่อหาสภาวะที่เหมาะสมของอัตราส่วน  $H_2O_2 : Fe^{2+}$  และประสิทธิภาพในการบำบัดน้ำเสียจากโรงงานผลิตแป้งมันสำปะหลัง

### 2.8 กระบวนการสร้างตะกอน

Coagulation คือ กระบวนการเติมสารเคมีลงไปในน้ำเพื่อทำลายเสถียรภาพของอนุภาค คอลลอยด์ (destabilization) และอนุภาคคอลลอยด์ต่างๆเคลื่อนที่มาสัมผัสกันให้มากที่สุด เรียกว่า ขั้นตอนการกวนเร็ว (Rapid mixing) อนุภาคคอลลอยด์ที่เป็นความชุนในน้ำมักมีประจุลบส่วนใหญ่มาจากอนุภาคของดินเหนียว

Flocculation คือ ขั้นตอนที่เกิดจากการรวมกลุ่มกันของอนุภาคคอลลอยด์จนมีลักษณะเป็นกลุ่มปุยที่เรียกว่า Floc ซึ่งสามารถมองเห็นได้ชัดเจนและจะตกตะกอนได้เร็วขึ้น ในขั้นตอนนี้จะทำการกวนผสมอย่างช้า (Slow mixing) เพื่อให้ floc รวมตัวเป็นกลุ่มก่อน

โครดา ชุนโทร และจิรสา กรุงกรด (2547) ได้อธิบายไว้ว่า การสร้างตะกอนทางเคมีจัดเป็นขบวนการสำคัญในการปรับปรุงคุณภาพของน้ำ โดยสารช่วยทำให้เกิดการตกตะกอนซึ่งจะทำให้มีการเกาะกันเป็นกลุ่มใหญ่ของอนุภาคคอลลอยด์ ทำให้อัตราเร็วในการตกตะกอนเร็วขึ้น สารเคมีที่นิยมใช้ได้แก่

2.8.1 Ammonium alum และ Potassium alum คือ เกลือเชิงซ้อนของสารประกอบที่มีธาตุอะลูมิเนียม และชัลไฟต์ เป็นส่วนประกอบหลัก หรือ รู้จักกันในนามว่าสารส้ม (alum) หรือ ผลึก เกลือ ผลึกเกลือ มีสูตรทางเคมีทั่วไปคือ  $[M(I)M,(III)(SO_4)_2 \cdot 12H_2O]$  แบ่งออกเป็น 3 ประเภท คือ

2.8.1.1 เกลือซัลเฟตของอะลูมิเนียมหรืออะลูมิเนียมซัลเฟต  $[Al_2(SO_4)_3 \cdot xH_2O]$

2.8.1.2 เกลือเชิงช้อนของโพแทสเซียมหรือโพแทสเซียมอะลัม

$[Al_2(SO_4)_3 \cdot K_2SO_4 \cdot 24H_2O]$

2.8.1.3 เกลือเชิงช้อนของแอมโมเนียมหรือแอมโมเนียมอะลัม  $[Al_2(SO_4)_3 \cdot (NH_4)_2SO_4 \cdot 24H_2O]$

โดยสารสัมเมื่อละลายน้ำจะแตกตัวให้  $Al^{+3}$ ,  $SO_4^{2-}$  และสารเชิงช้อน (complex) ซึ่งเกิดจากการไฮโดรไลซ์ของอะลูมิเนียม เช่น  $Al(OH)^{2+}$ ,  $Al(OH)_3$ ,  $Al(OH)^4$  ผลิตภัณฑ์ของการไฮโดรไลซ์บางตัวจะรวมกันเป็นลูกปัดยาวของ Polymeric aluminium hydroxide ซึ่งมีประจุมากขึ้น พวกที่เกิดซึ่งมีประจุบวกอาจจะรวมกับคลออลอยด์ซึ่งมีประจุลบ เพื่อทำให้ประจุบนอนุภาคคลออลอยด์สะเทินทำให้เกิด Agglomeration ของคลออลอยด์เกิดเป็นก้อนใหญ่ขึ้น การตกตะกอนก็จะเกิดเร็วขึ้น

2.8.2 โพลิอะลูมิเนียมคลอไรด์ หรือชื่อในภาษาอังกฤษว่า Poly Aluminium Chloride หรือเรียกย่อ ๆ ว่า “PAC” เป็นเกลืออะลูมิเนียมที่มีสูตรเคมี คือ  $[Aln(OH)mCl(6-n)]m$  ประเภทสารโพลิอนิทรีย์ ซึ่งเกิดจากการรวมตัวโดยนิวเคลียสหلامยตัวโมเลกุลใหญ่) เช่น  $(Al_6(OH)_{15})^{3+}$  สารโพลิตั้งกล่าวนี้มีความเป็นด่างหรือเบสิกซิตี้สูง (เบสิกซิตี้ หมายถึง ค่าเฉลี่ยของไฮดรอกไซด์อ่อนต่ออะลูมิเนียม m/k) และประจุไฟฟ้าบวกมีคุณสมบัติจับตัวสูงและมีเสถียรภาพมาก ลักษณะทั่วไปของ PAC อาจอยู่ในรูปของสารละลายใสหรือขุ่นเล็กน้อย และอาจอยู่ในรูปของผงละเอียดสีขาว PAC ทำให้สารต่างๆ ที่แขวนลอยในน้ำจับตัวกันได้ โดยตกตะกอนสักปรกในน้ำที่มีประจุเป็นลบจะรวมตัวกับประจุไฟฟ้าบวกของ PAC ในทุกขนาดของอนุภาคตะกอน PAC มีโครงสร้างโมเลกุลใหญ่ และมีหลายนิวเคลียสทำให้เกิดตะกอนหนัก จึงสามารถตกตะกอนได้อย่างรวดเร็ว S., Vimal Chandra. et al. (2005) ได้ทำการศึกษาประสิทธิภาพการกำจัดซีโอดีและสีในน้ำเสียจากโรงงานกระดาษโดยใช้สารโพลิอะลูมิเนียมคลอไรด์เป็นสารโคเอกลูเลนท์และถ้าลอยจากชานอ้อยเป็นวัสดุดูดซับ พบว่าสภาวะที่เหมาะสมของกระบวนการโคเอกลูเลนท์ของสารโพลิอะลูมิเนียมคลอไรด์ คือ pH 3 ที่ปริมาณ 3 กรัมต่อลิตร ประสิทธิภาพในการกำจัดซีโอดี และสี 80% และ 90%

2.8.3 Ferric chloride ( $FeCl_3$ ) ส่วนใหญ่นำมาใช้ในรูปของสารละลายเจือจาง โดยใช้เป็นสารช่วยจับตะกอน(flocculating agent) และสารตกตะกอน(precipitating agent) ในระบบบำบัดน้ำ โดย  $FeCl_3$  จะทำปฏิกิริยา กับความเป็นด่างในน้ำเกิดเป็น  $Fe(OH)_3$  ซึ่งจะทำหน้าที่ดูดซับของแข็งที่มีขนาดเล็กและอนุภาคของคลออลอยด์  $FeCl_3$  มีประสิทธิภาพที่ดีโดยเฉพาะในการตกตะกอนสารโลหะหนัก และชัลไฟด์ นอกจากนี้ในกรณีของน้ำมันและสารโพลิเมอร์ที่ยากต่อการย่อยสลายก็สามารถดูดซับบน  $Fe(OH)_3$  ได้

จะเห็นว่าสารสร้างตะกอนที่เป็นที่นิยมใช้ในปัจจุบันเป็นตัวที่กำจัดสารอินทรีย์ ของแข็งแขวนลอยรวมไปถึงความขุ่นในน้ำเสีย แต่จากการวิจัยนี้นำกระบวนการสร้างตะกอนมาใช้เพื่อกำจัดตะกอนเหล็ก

ที่เกิดจากปฏิกิริยาเฟนตันจึงเลือกใช้ปูนขาวซึ่งเป็นสารที่ช่วยเพิ่มค่าพีเอชของน้ำให้สูงขึ้น จึงนำมาใช้ในการช่วยตัดตะกอนเหล็กที่เกิดขึ้น Li,J.,et al. (2012) ได้ทำการเติมแคลเซียมไฮดรอกไซด์ ( $\text{Ca(OH)}_2$ ) หลังจากที่เกิดปฏิกิริยาเฟนตันสิ้นสุดลงเพื่อให้เกิดการตัดตะกอนของเหล็ก( $\text{Fe}^{2+}$ ,  $\text{Fe}^{3+}$ ) ที่หลงเหลืออยู่ และพบว่าแคลเซียมไฮดรอกไซด์ ( $\text{Ca(OH)}_2$ ) ถูกนำมาใช้เป็นสารสร้างตะกอนร่วมกับเพอร์รัสซัลเพต ในกระบวนการสร้างตะกอน ก่อนเข้าสู่กระบวนการกำบัตด้วยเฟนตันต่อไป (J.A. Perdigon-Malon et al., 2010)

## 2.9 ปูนขาว (Lime)

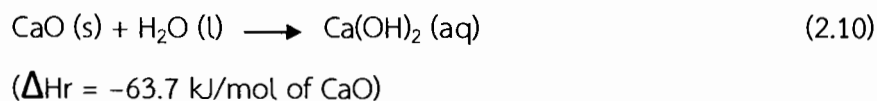
ปูนขาวเป็นสารหนึ่งที่มีความสำคัญในการบำบัดน้ำเสีย เนื่องจากปูนขาวเป็นตัวเพิ่มค่าเป็นด่าง ให้กับน้ำและทำให้เกิดหรือยับยั้งปฏิกิริยาได้ ดังนั้นหากนำปูนขาวมาใช้ในกระบวนการสร้างตะกอน จะเป็นการลดต้นทุนในการใช้สารเคมีในการปรับค่าความเป็นกรด-ด่างของน้ำ และเมื่อปูนขาวเข้าทำปฏิกิริยากับตะกอนเหล็กที่เกิดจากปฏิกิริยาเฟนตันจะทำให้เกิดการรวมตัวกันและเกิดการตัดตะกอนที่ดีขึ้นได้

ปูนขาว (lime) มีชื่อเรียกทางเคมีว่า แคลเซียมออกไซด์ (calcium oxide) มีสูตรทางเคมีคือ  $\text{CaO}$  ลักษณะโดยทั่วไปเป็นผงสีขาว มีฤทธิ์เป็นด่าง กัดกร่อนได้ โดยปกติแล้วจะผลิตแคลเซียมออกไซด์  $\text{CaO}$  จากการเผาสุดๆ ที่มีส่วนผสมของหินปูนแคลเซียมคาร์บอเนต ( $\text{CaCO}_3$ ) เป็นองค์ประกอบบน อุณหภูมิมากกว่า 825 องศาเซลเซียส เรียกกระบวนการเผานี้ว่า calcination และจะมีการปลดปล่อยก๊าซcarbon dioxide ( $\text{CO}_2$ ) ออกมานะ โดยปูนขาวสามารถทำปฏิกิริยากับ  $\text{CO}_2$  ที่อยู่ในอากาศ โดยอาศัยระยะเวลาที่เพียงพอจะกลับไปเป็น  $\text{CaCO}_3$  ได้ ดังนั้นการเก็บรักษาต้องระวังไม่ให้อากาศสามารถผ่านเข้าไปในภาชนะที่ใช้จัดเก็บได้

สมการแสดงปฏิกิริยา calcination หินปูน



เมื่อนำปูนขาว  $\text{Ca(OH)}_2$  ทำปฏิกิริยากับน้ำจะได้แคลเซียมออกไซด์และความร้อน ดังสมการ  
(2.9)



นอกจากจะได้  $\text{Ca(OH)}_2$  เป็นผลิตภัณฑ์แล้ว ปฏิกิริยานี้ยังให้ความร้อนออกม่าค่อนข้างมากถึง  $-63.7 \text{ kJ/mol}$  ทำให้สามารถประยุกต์ใช้เป็นแหล่งกำเนิดความร้อนได้อีก และในทางกลับกันเมื่อเผา  $\text{Ca(OH)}_2$  ที่อุณหภูมิ 512 องศาเซลเซียส ก็จะได้  $\text{CaO}$  กลับคืนมาดังสมการ (2.11)



## 2.10 แคลเซียมออกไซด์จากเปลือกไข่

ตารางที่ 2.1 องค์ประกอบทางเคมีของเปลือกไข่

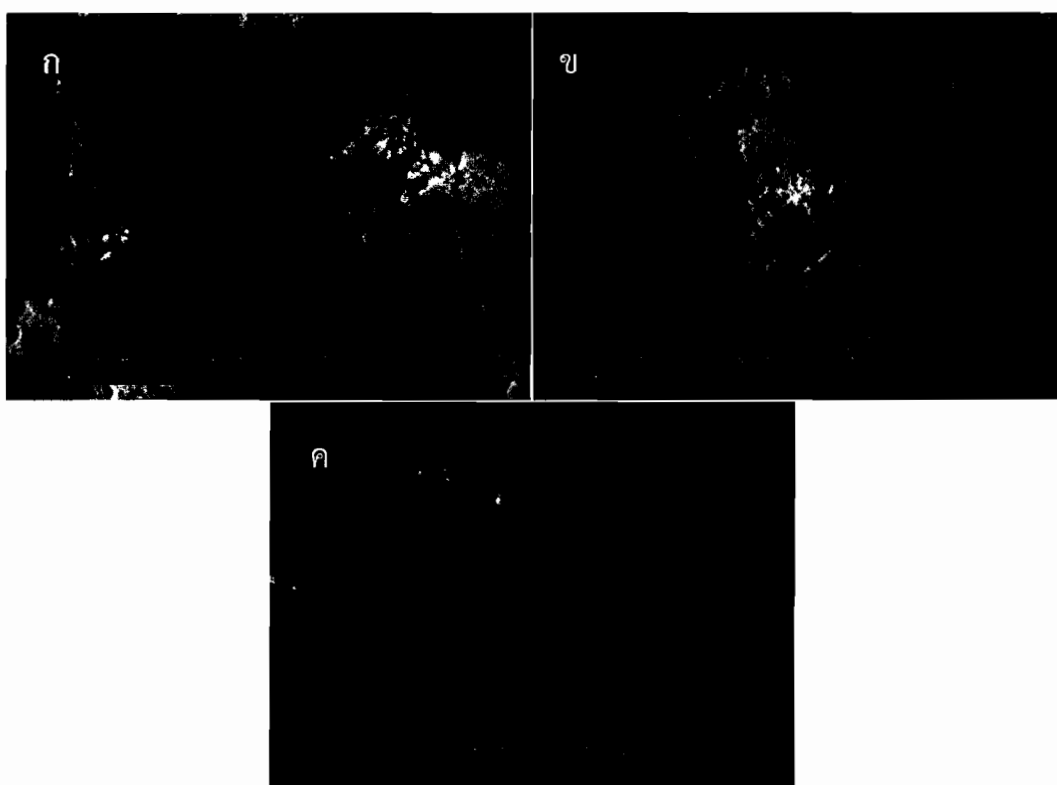
แร่ธาตุ	% (โดยน้ำหนัก)		
	เปลือกไข่ไก่	เปลือกไข่เป็ด	เปลือกไข่นกกระทา
$\text{CaCO}_3$	99.0	96.5	97.3
S	0.1	1.2	0.4
Mg	0.5	0.1	1.0
P	0.2	0.5	1.1
K	-	0.839	-

ที่มา: วิชัย ดำรงโภคภัณฑ์ (2555: 75-83)

เปลือกไข่ซึ่งเป็นวัตถุดิบหลักในกระบวนการผลิตอาหารทั้งระดับครัวเรือนและอุตสาหกรรม ในแต่ละปีมีปริมาณเปลือกไข่จำนวนมากถูกทิ้งโดยการฝังกลบ โดยไม่เกิดประโยชน์ เสียค่าใช้จ่ายในการขนส่ง และอาจก่อให้เกิดปัญหาสิ่งแวดล้อมตามมา จึงมีการนำเปลือกไข่มาใช้ประโยชน์ จากตารางที่ 2.2 พบร่วงเปลือกไข่ไก่มีองค์ประกอบของแคลเซียมคาร์บอนেตสูงที่สุด เมื่อเทียบกับเปลือกไข่เป็ดและเปลือกไข่นกกระทา ดังนั้นถึงเหมาะสมที่จะนำมาแปรรูปโดยอาศัยเทคโนโลยีเพื่อให้สามารถใช้ประโยชน์จากเปลือกไข่ได้มากยิ่งขึ้น (วิชัย ดำรงโภคภัณฑ์, 2555) ในปัจจุบันพบว่ามีการสังเคราะห์สารประกอบแคลเซียมบริสุทธิ์จากเปลือกไข่โดยกระบวนการให้ความร้อน (Thermal treatment) พบร่วงสภาวะที่ดีที่สุดในการสังเคราะห์สารประกอบแคลเซียมบริสุทธิ์ คือ อุณหภูมิ 900 องศาเซลเซียส นาน 1 ชั่วโมง จะได้สารประกอบแคลเซียมออกไซด์บริสุทธิ์ 66 เปอร์เซ็นต์ มีลักษณะเป็นผงละเอียด สีขาวและมีการกระจายตัวที่ดี จากการทดลองเผาเปลือกไข่ที่อุณหภูมิต่างๆ โดยเริ่มต้นที่สภาวะแรก คือ อุณหภูมิห้องถึง 500 องศาเซลเซียส เป็นเวลา 1 3 และ 5 ชั่วโมง จากนั้นศึกษาสภาวะที่ 2 ที่ อุณหภูมิ 600 ถึง 700 องศาเซลเซียส เป็นเวลา 1 3 และ 5 ชั่วโมง และที่สภาวะสุดท้ายที่อุณหภูมิ

800 ถึง 1,000 องศาเซลเซียส เป็นเวลา 1 3 และ 5 ชั่วโมง (นุชนภา ตั้งบริบูรณ์ และณฑัย สอนประสาร, 2552)

เมื่อทำการวิเคราะห์ลักษณะทางกายภาพของเปลือกไข่เผาที่อุณหภูมิต่างๆ พบร่วงเปลือกไข่ เมามีลักษณะผงสีขาว ไม่มีกลิ่น และไม่มีความกระด้างที่ สภาวะการเผา อุณหภูมิ 800 ถึง 1,000 องศาเซลเซียส โดยผลจากการวิเคราะห์ลักษณะทางกายภาพด้วยกล้องจุลทรรศน์อิเล็กตรอนแบบส่องกราด ดังแสดงในภาพที่ 2.1 แสดงให้เห็นถึงความซัดเจนของผลึกและความพรุนตัวสูง และมีขนาดอนุภาค เฉลี่ย 2 ไมครอน สำหรับที่อุณหภูมิ 900 องศาเซลเซียส ที่เวลา 1 ชั่วโมง เป็นสภาวะที่เหมาะสมที่สุด



ภาพที่ 2.1 ภาพถ่ายจากกล้องจุลทรรศน์อิเล็กตรอนแบบส่องกราด โดย (ก) เปลือกไข่เผาที่ 800 องศาเซลเซียส 1 ชั่วโมง (ข) เปลือกไข่เผาที่ 900 องศาเซลเซียส 1 ชั่วโมง และ (ค) เปลือกไข่เผาที่ 1,000 องศาเซลเซียส 1 ชั่วโมง

เทคโนโลยีการใช้ประโยชน์จากเปลือกไข่ จากการใช้เทคโนโลยีในการเปลี่ยนแปลงเปลือกไข่ เหลือทิ้งให้อยู่ในรูปที่สามารถนำไปใช้ประโยชน์ได้แบ่ง ออกเป็นกลุ่มใหญ่ๆ ตามผลิตภัณฑ์ที่ได้จากการ แปรรูปเปลือกไข่ดังนี้

(1) แคลเซียมคาร์บอเนต ( $\text{CaCO}_3$ ) โดยการนำเปลือกไข่ขوبแห้งหรือตากแห้งแล้วนำมานำบดสามารถนำไปใช้ในการปรับพิเชชของน้ำเสีย ในทางโภชนาการใช้เปลือกไข่บดผสมในอาหารเสริม แคลเซียม เช่นผสมเปลือกไข่บดในผลิตภัณฑ์ชนอุบกรอบและใช้เป็นแหล่งแคลเซียมเสริมในอาหารสัตว์

(2) แคลเซียมออกไซด์ ( $\text{CaO}$ ) โดยใช้เทคโนโลยีการเผาเปลือกไข่ที่อุณหภูมิสูงในสภาวะที่ไม่มีออกซิเจนเรียกว่า ระบบไฟโรไรซิส (pyrolysis) และทำให้เกิดปฏิกิริยาที่เรียกว่า กระบวนการแคลไซเนชัน (calcination) สามารถนำไปใช้ในการปรับพิเชชของน้ำ และดินที่เป็นกรด ใช้ในการผลิตโซดาไฟและสารฟอกขาว เป็นต้น

(3) แคลเซียมคลอไรด์ ( $\text{CaCl}_2$ ) การผลิตแคลเซียมคลอไรด์จากเปลือกไข่ต้องอาศัยเทคโนโลยี การสกัดด้วยกรด โดยแคลเซียมคาร์บอเนตจากเปลือกไข่จะทำปฏิกิริยากับกรดเกลือ ( $\text{HCl}$ ) ได้ผลิตภัณฑ์เป็นแคลเซียมคลอไรด์

(4) คอลลาเจน (Collagen) คอลลาเจนเป็นโปรตีนชนิดหนึ่งที่พบมากในสัตว์เลี้ยงลูกด้วยนม ประมาณ 25% ของปริมาณโปรตีนทั้งหมดในร่างกาย พบร่วมกับหุ้นภายในเปลือกไข่มีคอลลาเจนเป็นองค์ประกอบอยู่สูงถึง 10% จึงเป็นแหล่งวัตถุดีที่น่าสนใจในการผลิตคอลลาเจนราคากู๊ก โดยอาศัยเทคโนโลยีในการสกัดโดยการย่อยด้วยกรดและเอนไซม์ (acid-pepsin digestion) และจากนั้นจึงทำการแยกคอลลาเจนออกจากตากตะกอนด้วยเกลือ (วิชัย ดำรงโภคภัณฑ์, 2555)

โดยงานวิจัยนี้สนใจที่จะนำแคลเซียมออกไซด์มาใช้ เพื่อช่วยให้เกิดการตกตะกอนของเหล็กที่เกิดจากปฏิกิริยาเฟนตัน ทั้งนี้เพราะตันทุนต่ำและสามารถใช้เป็นสารสร้างและรวมตะกอนช่วยให้ตะกอนเหล็กตกตะกอนได้ดียิ่งขึ้น ดังนั้นจึงทำการศึกษาแคลเซียมออกไซด์เป็นสารสร้างตะกอน และทำการทดลองสารแคลเซียมออกไซด์จากเปลือกไข่ เพื่อเปรียบเทียบประสิทธิภาพในการบำบัดน้ำเสียด้วยกระบวนการดังกล่าว

### 2.10.1 เครื่องมือวิเคราะห์คุณลักษณะของแคลเซียมออกไซด์จากเปลือกไข่

จากการสังเคราะห์สารประกอบแคลเซียมออกไซด์ขึ้นจากเปลือกไข่ ด้วยกระบวนการเผาที่อุณหภูมิสูง ดังนั้นจึงต้องนำสารที่สังเคราะห์ขึ้นมาตรวจสอบคุณลักษณะเพื่อดูลักษณะทางโครงสร้าง รูปร่าง ขนาด และหมุนผิวซึ่งของสารที่สังเคราะห์

#### 2.10.1.1 กล้องจุลทรรศน์อิเล็กตรอนแบบส่องกราด (Scanning Electron Microscope: SEM)

กล้องจุลทรรศน์อิเล็กตรอนแบบส่องกราด (scanning electron microscope (SEM)) เป็นกล้องจุลทรรศน์อิเล็กตรอนรูปแบบหนึ่งซึ่งสร้างภาพขึ้นมาโดยการส่องลำอิเล็กตรอนกราดไปบนผิวน้ำของชิ้นงานอย่างต่อเนื่องทีละแฉวจากนั้นส่งข้อมูลขึ้นไปยังภาพ โดยจะปรากฏเป็นเส้นโดยจะมองเห็นเส้นใหม่ก่อนเส้นเก่าหายไปตั้งแต่เส้นแรกสุดไปจนถึงล่าสุด เส้นที่

มองเห็นนี้จะรวมกันเป็นภาพตัวอย่างที่เราต้องการอิเล็กตรอนเมื่อเกิดอันตรกิริยากับอะtomบนชั้นงาน จะปล่อยสัญญาณอกมาซึ่งให้ข้อมูลเกี่ยวกับลักษณะทางกายภาพ องค์ประกอบทางเคมี และคุณสมบัติอื่น

กล้องจุลทรรศน์อิเล็กตรอนแบบส่องกราด (SEM) เป็นกล้องจุลทรรศน์ชนิดที่มีกำลังขยายสูง โดยใช้ลำอิเล็กตรอนที่ไฟกัสแล้วแทนแหล่งกำเนิดแสงส่องกราดไปบนผิวหน้าของตัวอย่างในการสร้างภาพในแนวระนาบและแนวลึก เครื่อง SEM สามารถให้ภาพของวัสดุที่มีกำลังขยายและความละเอียดสูง โดยมีกำลังขยายอยู่ในช่วง 1 เท่า ไปจนถึง 500,000 เท่า โดยมีความละเอียดต่ำกว่า 1 นาโนเมตร เครื่อง SEM ได้ถูกใช้บ่อยครั้งในการสร้างภาพที่แสดงรูปร่างของวัตถุที่มีความละเอียดสูง นอกจากนี้ เครื่อง SEM สามารถถูกใช้ในการปั้นเฟสที่มีพื้นฐานมาจากการวิเคราะห์ทางเคมีเชิงคุณภาพ และ/หรือ โครงสร้างผลึก การวัดขนาดโครงสร้างภายในของวัสดุ และวัตถุที่มีขนาดเล็กมากซึ่งมีขนาดต่ำกว่า 50 นาโนเมตร ได้อย่างแม่นยำ หรือแสดงการเปลี่ยนแปลงขององค์ประกอบทางเคมีแบบ 3 มิติ เช่น สามารถถูกใช้ในการแยกแยะเฟสในตัวอย่างที่มีหลายเฟสได้อย่างรวดเร็วหรือ สามารถถูกใช้ในการตรวจสอบหากการจัดเรียงตัวของเส้นใยขนาดไมโครและการเรียงตัวของโครงสร้างผลึกในวัสดุหลายชนิด

### 1) ส่วนประกอบที่สำคัญของเครื่อง SEM

เครื่อง SEM ประกอบด้วยส่วนประกอบหลักๆ ดังต่อไปนี้ (ภาพที่ 2.2)

1.1) แหล่งให้กำเนิดอิเล็กตรอน (electron source) หรือปืนยิงอิเล็กตรอน (electron gun)

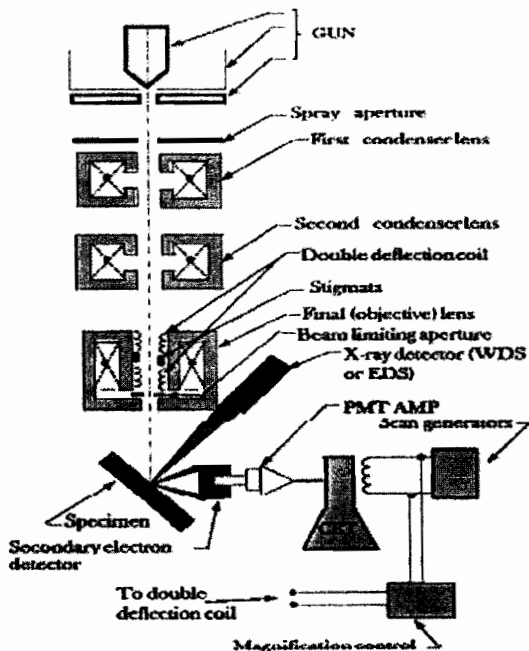
1.2) เลนส์รวมลำอิเล็กตรอน (electron lenses)

1.3) แท่นวางตัวอย่าง (sample stage)

1.4) เครื่องรับสัญญาณ (detector)

1.5) จอภาพ (display/data output device)

และส่วนประกอบเสริม (accessory device) ที่อยู่ภายนอกเครื่อง ได้แก่ แหล่งให้กำเนิดพลังงาน ระบบสัญญาการ控制系统ทำความเย็นออกจากนี้ เครื่อง SEM ควรตั้งอยู่บนพื้นที่ปราศจากแรงสั่นสะเทือน และอยู่ในห้องที่มีบรรยากาศที่ปราศจากสนามแม่เหล็กหรือสนามไฟฟ้า



ภาพที่ 2.2 องค์ประกอบหลักของเครื่อง SEM

เครื่อง SEM ส่วนใหญ่มักจะมีเครื่องรับสัญญาณอย่างน้อย 1 เครื่อง (โดยปกติได้แก่ เครื่องรับสัญญาณของอิเล็กตรอนทุติยภูมิ) แต่บางครั้งอาจมีเครื่องรับสัญญาณอื่นเพิ่มเติม ได้แก่ energy-dispersive x-ray spectroscopy (EDS), back-scattered electron (BSE), cathodoluminescence (CL) และ electron back scatter diffraction (EBSD) เป็นต้น โดยประสิทธิภาพของเครื่องมือชนิดนี้ขึ้นอยู่กับชนิดและจำนวนของเครื่องรับสัญญาณที่เป็นส่วนประกอบ

กระบวนการทำให้เกิดภาพของกล้องจุลทรรศแบบส่องกราด (SEM) เครื่อง SEM ทั่วไป สำหรับอิเล็กตรอนจะถูกปล่อยออกมามีอิสระได้รับความร้อนจากปืนยิงอิเล็กตรอน ซึ่งภายในประกอบด้วยขั้วคาโทดที่ทำการหักฟลามเม้นต์ของหั่งสเตนหั่งสเตนมักถูกใช้ในปืนยิงอิเล็กตรอนประเภทนี้เนื่องจากมีจุดหกอมเหลวสูงที่สุดและมีความดันไอต่ำที่สุดในบรรดาโลหะทั้งหมด ดังนั้นมันจึงถูกใช้ในการปล่อยอิเล็กตรอนออกมามีอิสระได้รับความร้อนและนอกจากนี้มันยังมีราคาไม่แพงอีกด้วยนอกจากหั่งสเตนสารที่สามารถปล่อยอิเล็กตรอนออกมามีอิสระได้แล้ว ขั้วคาโทดที่ทำการหักฟลามเม้นต์ (lanthanum hexaboride (LaB<sub>6</sub>) ซึ่งสามารถถูกใช้ในเครื่อง SEM มาตรฐานที่ใช้หั่งสเตนฟลามเม้นต์ได้ ถ้าระบบสัญญาณได้ถูกพัฒนาให้ดีขึ้น และ ปืนปล่อยอิเล็กตรอนแบบสนาม (field emission guns (FEG) ซึ่งเป็นชนิดคาโทดเย็นที่ใช้ผลึกหั่งสเตนแบบเดี่ยวเป็นตัวปล่อยอิเล็กตรอนหรือแบบช็อตคี (Schottky) ที่ใช้ความร้อนช่วย ซึ่งใช้เซอร์โคเนียมออกไซด์ (zirconium oxide) เป็นตัวปล่อยสำหรับอิเล็กตรอนซึ่งโดยทั่วไปมีพลังงานอยู่ในช่วง 0.2 keV ถึง 40 keV ได้ถูกทำให้โฟกัสโดยเลนส์

รวมลำอิเล็กตรอนหนึ่งหรือสองอันเพื่อให้เกิดเป็นจุดที่มีเส้นผ่าศูนย์กลางประมาณ  $0.4 \text{ nm}$  ถึง  $5 \text{ nm}$  จากนั้นลำอิเล็กตรอนจะผ่านชด漉ดหนึ่งคู่ หรือ แผ่นหักเหหนึ่งคู่ในคลัมป์ของอิเล็กตรอนซึ่งโดยทั่วไปจะอยู่ในเลนส์อันสุดท้ายซึ่งจะหักเหลี่ยมบนผิวน้ำของชิ้นงานเมื่อลำอิเล็กตรอนปะตูมภูมิได้เกิดอันตรกิริยา กับตัวอย่างอิเล็กตรอนจะสูญเสียพลังงานไปโดยการกระเจิงแบบไม่มีทิศทางซึ่งนำไปซึ่งความถูกดูดซับไว้ภายในปริมาตรรูปหยดน้ำของตัวอย่างที่รู้จักกันในชื่อ “ปริมาตรของการเกิดอันตรกิริยา (interaction volume)” ซึ่งลึกลงไปจากผิวน้ำน้อยกว่า  $100 \text{ นาโนเมตร}$  ถึงประมาณ  $5 \text{ ไมโครเมตร}$  ขนาดของปริมาตรที่เกิดอันตรกิริยาขึ้นอยู่กับพลังงานของอิเล็กตรอนที่ต่อกระทบ เลขของตอมของวัสดุ และความหนาแน่นของวัสดุบนชิ้นงาน การแลกเปลี่ยนพลังงานระหว่างลำอิเล็กตรอนและวัสดุเป็นผลให้เกิดการหักเหของอิเล็กตรอนที่มีพลังงานสูงโดยการกระเจิงแบบยึดหยุ่น และปล่อยอิเล็กตรอนทุติยภูมิออกมากโดยการกระเจิงแบบยึดหยุ่นและรังสีอิเล็กโตรแมกнетิก ซึ่งแต่ละสัญญาณสามารถตรวจจับได้โดยเครื่องรับสัญญาณแบบพิเศษกระแสไฟฟ้าของลำอิเล็กตรอนสามารถถูกดูดซับโดยวัสดุ และสามารถถูกตรวจจับและถูกใช้เพื่อสร้างภาพของการกระจายตัวของกระแสไฟบนผิวชิ้นงาน เครื่องขยายสัญญาณไฟฟ้าหลายชนิดได้ถูกใช้เพื่อขยายสัญญาณซึ่งถูกแสดงในรูปของการแปรเปลี่ยนความสว่างบนจคอมพิวเตอร์ (หรือ บนหลอดคาโทดในรุ่นที่ย้อนยุค) ภาพที่ได้ดังนั้นจะเป็นเสมือนแผนที่การกระจายของความเข้มของสัญญาณที่ถูกปล่อยมาจากการพัฒนาของอิเล็กตรอนถูกส่อง Gerard ไปบนผิวน้ำของตัวอย่างในกล้องจุลทรรศน์ยุคโบราณ ภาพอาจถูกแสดงโดยการถ่ายภาพจากหลอดคาโทดที่มีความละเอียดสูง แต่ในเครื่องรุ่นใหม่ภาพได้ถูกบันทึกไว้ในส่วนที่เก็บข้อมูลในคอมพิวเตอร์กำลังขยายของ SEM สามารถถูกเพิ่มได้ไปจนถึง  $106$  เท่าหรือประมาณ  $10$  ถึง  $500,000$  เท่า กำลังขยายของภาพในเครื่อง SEM ไม่ได้ขึ้นอยู่กับกำลังของเลนส์วัตถุ ซึ่งแตกต่างจากกล้องจุลทรรศน์แบบใช้แสงและกล้องจุลทรรศน์อิเล็กตรอนแบบส่องทะลุเครื่อง SEM ดังเช่น เครื่อง scanning probe microscopy กำลังขยายเป็นผลมาจากการอัตราส่วนของขนาดที่ลากเป็นเส้นบนตัวอย่างและภาพที่ปรากฏเป็นเส้นที่ถูกแสดงบนจอ สมมติว่าจะมีขนาดที่คงที่ กำลังขยายสูงกว่าเป็นผลมาจากการลดขนาดที่ลากเป็นเส้นบนชิ้นงานดังนั้นกำลังขยายของ SEM จึงถูกควบคุมโดยกระแทกที่ให้กับชด漉 หรือ ค่าความต่างศักย์ที่ให้กับแผ่นหักเหในแนว x, y และไม่ขึ้นกับกำลังของเลนส์วัตถุ (สริรุณยา ชวัพันธ์, 2555)

#### 2.10.1.2 เครื่องเอกซเรย์ดิฟแฟรคโตมิเตอร์ (X-ray diffractometer: XRD)

เป็นเครื่องมือวิเคราะห์วัสดุขั้นพื้นฐาน ซึ่งเป็นการวิเคราะห์แบบไม่ทำลาย ตัวอย่าง (non-destructive analysis) เพื่อศึกษาเกี่ยวกับโครงสร้างของผลึก การจัดเรียงตัวของอะตอมในโมเลกุลของสารประกอบต่าง ๆ ทั้งในเชิงคุณภาพและปริมาณ โดยอาศัยหลักการเลี้ยวเบน และการกระเจิงของรังสีเอกซ์ และความรู้เกี่ยวกับวิชาระบบโครงสร้างผลึก เครื่องมือชนิดนี้มี

ความสำคัญมากในกระบวนการควบคุมคุณภาพการผลิต ใช้สำหรับตรวจสอบสมบัติของวัตถุดิบและผลิตภัณฑ์ในกระบวนการผลิตตามขั้นตอนต่อๆ ไป

ทฤษฎีพื้นฐานของ XRD อาศัยหลักการเลี้ยวเบนของลำรังสีเอกซ์ เมื่อลำรังสีตกกระทบวัตถุหรืออนุภาคจะเกิดการหักเหของลำรังสีที่สะท้อนทำมุมกับระนาบของอนุภาคเท่ากับมุมของลำรังสีตกกระทบ ในปี ค.ศ. 1912 นาย W.L.Bragg ได้นำทฤษฎีดังกล่าวมาศึกษารูปแบบโครงสร้างผลึกของแร่ต่างๆ ต่อมามีการประดิษฐ์คิดค้น เครื่องเอกซเรย์ดิฟแฟร์กโตรามิเตอร์ขึ้นในปี 1948 และมีการพัฒนาอย่างต่อเนื่อง จนกระทั่งสามารถนำคอมพิวเตอร์มาประยุกต์ใช้ในการควบคุมการทำงาน และวิเคราะห์ประมวลผล เพื่อให้เกิดความรวดเร็วแม่นยำยิ่งขึ้น

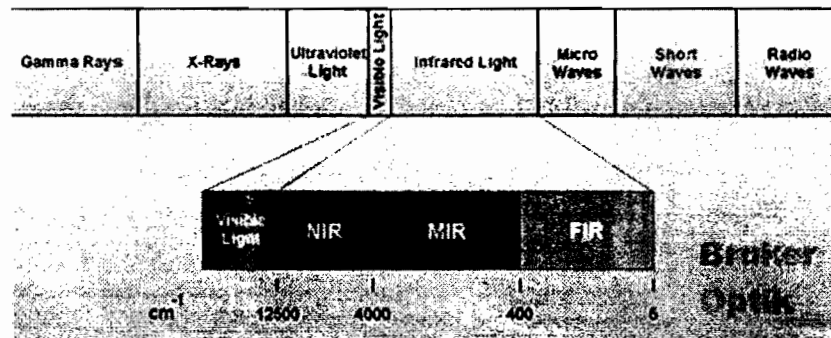
XRD เป็นที่รู้จักกันอย่างแพร่หลาย ในกลุ่มนักวัสดุศาสตร์ ธรณีวิทยา โลหะวิทยา เพราะเป็นเครื่องมือที่ใช้วิเคราะห์โครงสร้างผลึกของสารประกอบและแร่ ผลการวิเคราะห์จาก XRD ทำให้สามารถแยกประเภทและชนิดของวัสดุที่พบในธรรมชาติว่ามีรูปแบบโครงสร้างผลึกแบบใด หรือจำแนกได้ว่าวัสดุที่พบเห็นนั้นเป็นแร่ชนิดใด โดยทำการวัดค่าความเข้มของรังสีที่สะท้อนออกมากที่มุ่งต่างๆ เปรียบเทียบกับข้อมูลมาตรฐานที่ทำการตรวจวัดโดยองค์กร JCPDs (Joint Committee on Powder Diffraction Standard) เนื่องจากสารประกอบแต่ละชนิด มีรูปแบบโครงสร้างผลึกแตกต่างกันไปด้วย โดยที่ขนาดและประจุของอะตอมของสารประกอบแต่ละชนิดจะมีรูปแบบ (XRD pattern) เฉพาะตัว เปรียบได้กับลายนิ้วนิ้วของคนที่แตกต่างกัน (ศันสนีย์ รักไทยเจริญชีพ, 2558)

#### 2.10.1.3 เครื่องมือวิเคราะห์สารด้วยอินฟราเรด Fourier Transform Infrared Spectrometry (FTIR)

##### 1) Interaction of radiation

Infrared spectroscopy จะวัดแสงอินฟราเรดที่วัตถุดูดกลืนไว้ โดยที่รังสีอินฟราเรดเป็นช่วงสเปกตรัมหนึ่งของการแผ่วรังสีแม่เหล็กไฟฟ้าเหมือนกับแสง Visible และ UV แต่จะมีพลังงานต่ำกว่า เมื่อถูกวัตถุได้รับรังสีอินฟราเรดจะมีการแผ่วรังสีของแสงอินฟราเรดแก่วัตถุ

##### 2) Electromagnetic spectrum



ภาพที่ 2.3 Electromagnetic spectrum

โดยทั่วไปรังสีอินฟราเรดมีความยาวคลื่นอยู่ระหว่าง 0.78 mm ถึง 1,000 mm หรือมี Wave Number ที่  $12,500 \text{ cm}^{-1}$  ถึง  $5 \text{ cm}^{-1}$  จะจัดช่วงสเปกตรัมของรังสีอินฟราเรด ออกเป็น 3 ช่วงซึ่งเมื่อนำเอ้าแต่ละช่วงมาวิเคราะห์ทาง Spectroscopy จะให้ผลการวิเคราะห์ที่ได้ต่างกันคือ

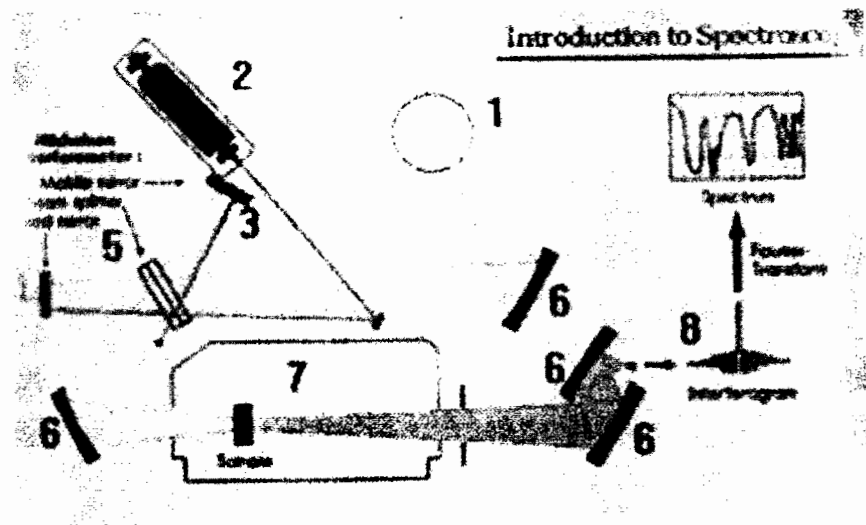
2.1) Near Infrared Region Wavenumber (NIR)  $12,500 - 4,000 \text{ cm}^{-1}$   
เป็นช่วงที่จะให้สเปกตรัมที่ได้จาก โอเวอร์โทน (Overtone Band)

2.2) Middle Infrared Region Wavenumber (MIR)  $4,000 - 400 \text{ cm}^{-1}$   
เป็นช่วงที่นิยมใช้ในการวิเคราะห์เนื่องจากใช้ประโยชน์ได้มากในการวิเคราะห์

2.3) Far Infrared Region Wavenumber (FIR)  $400 - 5 \text{ cm}^{-1}$  สเปกตรัมที่ได้จะเป็นการสั่นทั้งแกนของโครงสร้างโมเลกุลหรือเรียกว่า ช่วงลายพิมพ์นิ้วมือของสาร (Fingerprint Region) ซึ่งมีประโยชน์ในการเปรียบเทียบสาร เนื่องจากลายพิมพ์นิ้วมือของสารเดียวกันจะให้สเปกตรัมที่เหมือนกัน

3) ลักษณะเด่นของ Fourier Transform Infrared Spectrometer (FT-IR) เครื่อง Infrared Spectrometer จะใช้หลักการกระจายแสงของสเปกตรัมการแพร่ รังสีแม่เหล็กไฟฟ้า ในช่วงของอินฟราเรดแล้วทำการวัดค่าความเข้มแสงเปรียบเทียบกับความยาวคลื่นหรือเลขคลื่น (Frequency -Domain Spectrum) ซึ่งก็จะได้ออกมาเป็นสเปกตรัม แต่สำหรับ FT-IR จะใช้การวัดความเข้มแสงที่ความยาวคลื่นต่าง ๆ กันอย่างต่อเนื่องเปรียบเทียบกับเวลา (Time - Domain Spectrum) จากนั้นจะถูกเปลี่ยนให้เป็นสเปกตรัมของความเข้มของแสงต่อความยาวคลื่นหรือเลขคลื่น โดยการ Fourier Transform ด้วยคอมพิวเตอร์ก็จะได้ออกมาเป็น Fourier Transform Spectrum ด้วยวิธีการนี้จะช่วยให้การวิเคราะห์มีความรวดเร็วเพิ่มขึ้นพร้อมทั้ง Resolution ก็ได้ขึ้นด้วย

4) องค์ประกอบของเครื่อง FT-IR (ภาพที่ 2.4)



ภาพที่ 2.4 องค์ประกอบของเครื่อง FT-IR

- 4.1) แหล่งกำเนิด Laser เพื่อใช้แสง Laser ในการปรับระดับของ Mobile Mirror
  - 4.2) Mobile Mirror เป็นกระจกเงาที่สามารถสะท้อน รังสีอินฟราเรด และสามารถที่จะเคลื่อนที่ได้
  - 4.3) Fixed Mirror เป็นกระจกเงาที่สามารถสะท้อนรังสีอินฟราเรด เช่นเดียวกับ Mobile Mirror แต่ไม่สามารถที่จะเคลื่อนที่ได้
  - 4.4) Beam Splitter เป็นส่วนที่จะทำการแยกอินฟราเรดที่ผ่านเข้ามา ให้เป็นสองส่วนคือสามารถให้แสงหลบผ่านได้ 50 % และสะท้อนกลับ 50 %
  - 4.5) เป็นกระจกเงาที่สามารถสะท้อนรังสีอินฟราเรดใช้ในการปั๊บทิศ ทางการเดินของรังสีอินฟราเรด ให้ไปตามทิศทางที่ต้องการ
  - 4.6) Sample Compartment เป็นส่วนที่จะใช้ในการบรรจุ Sample เข้าไปเพื่อการวิเคราะห์
  - 4.7) Detector ใช้วัดความเข้มแสงที่เหลือจากการดูดกลืนของตัวอย่าง
- 5) การทำงานของเครื่อง FT-IR
- 5.1) แหล่งกำเนิดรังสีอินฟราเรดจะทำการผลิตรังสีอินฟราเรดในช่วง ความยาวคลื่นหรือเลขคลื่นที่จะใช้ในการวิเคราะห์
  - 5.2) Beam Splitter ซึ่ง Beam Splitter จะปล่อยให้หลบผ่านไปที่ Fixed Mirror 50% และสะท้อนกลับมาที่ Mobile Mirror 50%
  - 5.3) Fixed Mirror จะสะท้อนกลับมาที่ Beam Splitter

5.4) Mobile Mirror จะสะท้อนกลับมาที่ Beam Splitter

5.5) อินฟราเรดที่สะท้อนมาจาก หั้ง Mobile Mirror และ Fixed Mirror จะมารวมกันและเกิดการแทรกสอดกันขึ้น แต่จากการที่ Mobile Mirror สามารถเคลื่อนที่ได้โดย การควบคุมระยะการเคลื่อนที่ โดย Laser เมื่อ Mobile Mirror เคลื่อนที่ก็จะทำให้ระยะทางการ สะท้อนกลับของ รังสีอินฟราเรด ของ Mobile Mirror และ Fixed Mirror ไม่เท่ากันซึ่งก็จะส่งผลให้ รังสีอินฟราเรดที่ได้มีความยาวคลื่นเปลี่ยนไปอันเกิดจาก การแทรกสอด แบบเสริมกัน หรือหักล้างกัน เรียกว่า Interferogram

5.6) อินฟราเรดที่ความยาวคลื่นต่างๆ จะสะท้อน上来ที่ Sample Compartment ผ่าน Sample ซึ่งจะมีการดูดกลืนอินฟราเรด เอาไว้บางส่วนในบางความยาวคลื่น ส่วนอินฟราเรดที่ไม่ถูกดูดกลืนก็จะผ่านเข้าสู่ Detector สัญญาณที่ได้คอมพิวเตอร์จะทำการแปลง สัญญาณ Interferogram ด้วยสมการ Fourier Transform ผลที่ได้จะเป็นスペกตรัม การดูดกลืนแสง อินฟราเรดของสารที่ความยาวคลื่นต่าง ๆ (สำนักงานเลขานุการศูนย์เครื่องมือวิทยาศาสตร์, 2557)

## 2.11 ปัจจัยของกระบวนการเฟนตันร่วมกับการสร้างตะกอน

จากปัญหาตะกอนเหล็กหลงเหลือเมื่อสิ้นสุดปฏิกิริยาเฟนตันได้นำกระบวนการสร้างตะกอนด้วย สารเคมีเข้ามาช่วยแก้ปัญหานี้ และยังช่วยให้ประสิทธิภาพในการบำบัดน้ำเสียสูงยิ่งขึ้นเพื่อให้ผ่าน เกณฑ์มาตรฐานน้ำทิ้งจากโรงงานอุตสาหกรรม โดยมีปัจจัยที่เกี่ยวข้องกับหั้งสองกระบวนการดังนี้

### 2.11.1 ค่าพีเอช

เนื่องจากในสภาวะค่าพีเอชที่เหมาะสมของกระบวนการเฟนตันและการสร้างตะกอนมี ความแตกต่างกันอย่างมาก จากสภาวะที่เหมาะสมของกระบวนการเฟนตันเมื่อสิ้นสุดปฏิกิริยาแล้วจะ พบร่วมกับสภาวะค่าพีเอชอยู่ในช่วงที่เป็นกรดประมาณ 3 ถึง 4 และสำหรับการสร้างตะกอนพบว่าสภาวะที่ เหมาะสมของกระบวนการสร้างตะกอนโดยทั่วไปมีค่าพีเอชตั้งแต่ 8 เป็นต้นไป ดังนั้นเมื่อสิ้นสุด ปฏิกิริยาเฟนตันที่ค่าพีเอช 3 เข้าสู่กระบวนการสร้างตะกอนที่ค่าพีเอชเท่ากับ 8 นั้น ต้องมีการใช้ สารเคมีปรับพีเอชเพื่อทำการปรับให้ค่าพีเอชของน้ำเข้าสู่ช่วงพีเอชที่กำหนด ดังนั้นในส่วนนี้หากตั้ง สภาวะของกระบวนการสร้างตะกอนไว้สูงจะก่อให้เกิดการสิ้นเปลืองค่าใช้จ่ายและสารเคมีโดยใช้เหตุ

W.,Yanyu.et al. (2010) ได้ทำการทดลองกำจัดสารชีวมิคในน้ำชาขยะจากหมุนผั่ง กลบโดยกระบวนการเฟนตันและกระบวนการสร้างตะกอน โดยหลังจากสิ้นสุดระยะเวลาของปฏิกิริยา เฟนตันแล้ว ทำการปรับค่าพีเอชของน้ำเท่ากับ 7 เพื่อยุติการเกิดปฏิกิริยาของกระบวนการเฟนตันและ ทำการปรับพีเอชให้เท่ากับ 8 เพื่อเข้าสู่กระบวนการสร้างตะกอนและเติม 0.1% polyacrylamide เป็นสารรวมตะกอน

### 2.11.2 ชนิดและปริมาณสารสร้างตะกอน

สุเทพ สิริวิทยาปกรณ์ และวีระนุช บุญรุ่ง (2553) ได้ทำการศึกษาเพื่อเปรียบเทียบประสิทธิภาพการกำจัดสารอินทรีย์และสีในน้ำเสียจากโรงงานฟอกย้อม โดยกระบวนการ芬腾ตันและกระบวนการสร้างตะกอน ทั้งนี้ได้ทำการทดลองสารเคมี 3 ชนิด คือ สาร芬腾ตัน ( $H_2O_2$  และ  $Fe^{2+}$ ) สารอะลูมิเนียมซัลเฟต ( $Al_2(SO_4)_3$ ) และสารโพลีอะลูมิเนียมคลอไรด์ (PAC 30 %) จากการทดลองพบว่าสาร芬腾ตันมีประสิทธิภาพในการกำจัดค่าซีโอดีสูงสุด รองลงมาคือ สาร PAC และ ( $Al_2(SO_4)_3$ ) ตามลำดับ ในการกำจัดสีพบว่าสาร PAC มีประสิทธิภาพสูงสุด รองลงมาคือ สาร芬腾ตันและ ( $Al_2(SO_4)_3$ )

Xiang-Juan Ma and Hui-Long Xia (2009) ได้ศึกษาประสิทธิภาพของการบำบัดน้ำเสียจากหมึกพิมพ์ด้วยกระบวนการ芬腾ตันร่วมกับการสร้างตะกอน โดยทำการหาสภาวะที่เหมาะสมในการบำบัดน้ำเสีย ได้แก่ ค่าพีเอช ความเข้มข้นของสาร芬腾ตัน ระยะเวลาการตกตะกอน พบร่วมกับสภาวะที่เหมาะสมของกระบวนการ芬腾ตัน คือ พีเอช 4 ความเข้มข้นของสาร芬腾ตัน คือ ไฮโดรเจนเปอร์ออกไซด์ 50 มก./ล. และเพอร์รัสซัลเฟต 25 มก./ล. และระยะเวลาในการตกตะกอน 30 นาที มีประสิทธิภาพในการบำบัดสีและซีโอดี คือ 86.4% และ 92.4% ตามลำดับ ในกระบวนการสร้างตะกอน สารสร้างตะกอน คือ สารโพลีอะลูมิเนียมคลอไรด์ร่วมกับเพอร์รัสซัลเฟต พบร่วมกับสารทั้งสองช่วยลดระยะเวลาในการรวมตะกอน (Flocs settling time) และช่วยเพิ่มประสิทธิภาพในการบำบัดน้ำเสียให้ดียิ่งขึ้น

García-Morales et al. (2012) ทำการศึกษาการบำบัดน้ำเสียด้วยกระบวนการโอโซนเพื่อเปรียบเทียบประสิทธิภาพระหว่าง กระบวนการโอโซนร่วมกับไฮโดรเจนเปอร์ออกไซด์ และกระบวนการโอโซนร่วมกับการสร้างตะกอนในน้ำเสียจากการผลิตน้ำอัดลม พบร่วมกับกระบวนการสร้างตะกอนร่วมกับกระบวนการโอโซนมีประสิทธิภาพในการกำจัดความชุ่น สี และซีโอดี สูงที่สุด จึงนำมาศึกษาผลประสิทธิภาพเมื่อทำงานร่วมกับกระบวนการบำบัดทางชีวภาพเดิมของโรงงาน พบร่วมค่าความชุ่น สีและซีโอดี มีค่าที่อยู่เกณฑ์มาตรฐาน ดังนั้นจึงประสบผลสำเร็จในการนำมาประยุกต์ใช้เพิ่มประสิทธิภาพในการบำบัดน้ำเสีย

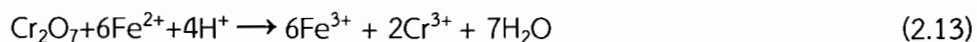
### 2.12 ซีโอดี (Chemical Oxygen Demand: COD)

ค่าซีโอดี หมายถึง ปริมาณออกซิเจนทั้งหมดที่ต้องการ เพื่อใช้ในการ oxidize สารอินทรีย์ในน้ำเสียให้กลাযเป็นคาร์บอนไดออกไซด์และน้ำ โดยที่สารอินทรีย์เกือบทั้งหมด (95-100%) ถูก oxidize โดยตัวเติมออกซิเจนอย่างแรง (Strong oxidizing agent) ภายใต้สภาวะที่เป็นกรด

การเกิดปฏิกิริยาของซีโอดีมีความคล้ายกับบีโอดี คือ สารอินทรีย์ในน้ำจะถูก oxidize จนได้คาร์บอนไดออกไซด์กับน้ำ แตกต่างที่บีโอดีนั้นใช้จุลินทรีย์ในการย่อยสลายสารอินทรีย์ ส่วนซีโอดีใช้ตัวเติมออกซิเจน (oxidizer) เข้าทำปฏิกิริยาดังกล่าว โดยทั่วไปค่าซีโอดีจะมีค่าสูงกว่าค่าบีโอดีทั้งนี้เพราะ

สารอินทรีย์ carbon จะถูก oxidize อย่างสมบูรณ์โดยไม่ต้องผ่านกระบวนการคุ้ดซึมทางชีวะ (biological assimilation) ของสารเหล่านั้น เช่น กลูโคส ลิกนิน เซลลูโลส โดยเฉพาะน้ำเสียที่มีสารอินทรีย์ที่ไม่สามารถถูก oxidize ทางชีวะรวมอยู่ด้วยทำให้ค่า ซีโอดีสูงกว่าค่าบีโอดีมาก ในกรณีที่น้ำเสียมีสารอินทรีย์กลุ่ม straight-chain aliphatic compound, aromatic hydrocarbon, pyridine และ betaine ประปนอยู่ด้วย สารเหล่านี้จะไม่ถูก oxidize ทางเคมี ค่าซีโอดีจึงน้อยกว่าค่าบีโอดี และไอออนของสารอินทรีย์บางตัวเช่น halogen ( $F^-$ ,  $Cl^-$ ,  $Br^-$ ),  $NO_2^-$ ,  $S^{2-}$  และ  $Fe^{2+}$  มีผลทำให้ค่าซีโอดีมีมากกว่าความเป็นจริง การหาค่าซีโอดีสามารถรู้ผลได้ในเวลาไม่เกิน 3 ชั่วโมง ดังนั้นการหาค่าซีโอดีจึงเหมาะสมในการควบคุมระบบบำบัดน้ำเสีย เพราะสามารถแก้ไขข้อบกพร่อง ๆ ได้อย่างทันเวลา และยังสามารถใช้ในการประเมินค่าบีโอดีอย่างคร่าวๆ ได้

Strong oxidizing agent ที่ใช้ในการหาค่าซีโอดี มีด้วยกันหลายตัว คือ potassium permanganate, ferric sulfate potassium iodate และ potassium dichromate การหาค่าซีโอดีโดยใช้ไปแต่สเซียมไดโครเมตเป็นวิธีที่นิยมใช้ เพราะให้ผลที่น่าเชื่อถือและแน่นอนโดยหลักการของวิธีไปแต่สเซียมไดโครเมต คือ สารอินทรีย์ carbon จะถูก oxidized โดยสารไปแต่สเซียมไดโครเมตที่สภาวะกรดอย่างรุนแรง ดังนั้นจึงใช้การรีฟลักซ์ (reflux) เพื่อป้องกันการระเหยของสารเคมีจากนั้นจึงทำการไห้เทretahabปริมาณไปแต่สเซียมไดโครเมตที่เหลืออยู่ด้วยสารละลายมาตราฐาน FAS (ferrous ammonium sulfate) โดยใช้ ferroin เป็นอินดิเคเตอร์ โดยปฏิกิริยาที่เกิดเป็นดังนี้



$\text{AgSO}_4$  ถูกเติมเป็นตัว catalyst เพื่อเร่งปฏิกิริยาการออกซิเดสของกรดไขมันที่มีน้ำหนักโมเลกุลต่ำ (straight chain aliphatic) นอกจากนี้  $\text{AgSO}_4$  ที่เติมลงไปจะเข้าทำปฏิกิริยากับ  $\text{Cl}^-$ ,  $Br^-$  หรือ  $I^-$  แต่  $\text{AgSO}_4$  เป็นตัว catalyst ที่ไม่สามารถใช้ได้กับสารประกอบเช่น aromatic และ pyridine ซึ่งสารประกอบที่สำคัญ คือ  $\text{Cl}^-$  จึงต้องมีการใส่  $\text{HgSO}_4$  ก่อนเพื่อไปจับกับ  $\text{Cl}^-$  ให้อยู่ในรูปของ mercuric chloride complex โดยวิธีนี้สามารถวิเคราะห์ตัวอย่างที่มีค่าซีโอดีตั้งแต่ 50 mg./l. ขึ้นไป (กรณีการสิริสิงห์, 2549)

ในกรณีที่น้ำตัวอย่างมีคลอไรด์ไอออน ( $\text{Cl}^-$ ) อยู่ด้วย  $\text{Cl}^-$  จะทำปฏิกิริยา precipitation กับ  $\text{Ag}_2\text{SO}_4$  ได้  $\text{AgCl}(s)$  ทำให้ปริมาณตัวเร่งปฏิกิริยาลดลง ซึ่งจะส่งผลกระทบต่อการวิเคราะห์ค่า COD และถ้าไม่มี  $\text{Ag}_2\text{SO}_4$  อยู่เลย  $\text{Cl}^-$  จะถูกออกซิเดชันเป็น  $\text{Cl}_2$

อันเป็นผลให้เกิดค่า COD สูงเกินไป ซึ่งไม่ใช่จากสารอินทรีย์ แต่สามารถป้องกันปัญหานี้ได้โดยใช้  $HgSO_4$  ทำปฏิกิริยาเชิงช้อนกับ  $Cl^-$  ได้  $HgCl_2$  (aq) อย่างไรก็ตามปฏิกิริยาออโต้อ็อกซิเดชั่นของ  $Cr_2O_7^{2-}$  และมลสารอื่นๆ อาจเกิดขึ้นได้ ฉะนั้นจึงต้องทำเบลนค์ด้วยน้ำกลั่น

หลังจากการย่อยสารอินทรีย์ด้วยไดโครเมตแล้ว จะเป็นต้องหาความเข้มข้นของไดโครเมตที่เหลืออยู่ในการทดลองนี้ โดยใช้  $Fe^{2+}$  เป็น reducing agent ในการทำการไตเตอร์กับไดโครเมตปฏิกิริยาออกรชีเดชั่น ของ  $Fe^{2+}$

จุดสุดท้ายของการไตเตอร์ทั้งหมด  $Fe^{2+}$  กับไดโครเมตจะถูกหาปริมาณได้ ด้วยสีของเฟอร์โรอินอินดิเคเตอร์ (Ferroin indicator) ซึ่งสารเฟอร์โรอินประกอบด้วย 1, 10 – phenanthroline เมื่อถึงจุดสุดท้ายของการไตเตอร์สารไดโครเมต (สีส้ม) ถูกเปลี่ยนไปเป็น  $Cr^{3+}$  (สีเขียว) หมวดฉะนั้น  $Fe^{2+}$  อิสระจะทำปฏิกิริยาเชิงช้อนกับสารเฟอร์โรอินได้สีน้ำตาล-แดง

การรีฟลักซ์ (Reflux) มี 2 วิธี คือ แบบเปิด (Open Reflux) และแบบปิด (Close Reflux) ทั้งสองวิธีการมีหลักการเหมือนกัน ต่างกันตรงอุปกรณ์ที่ใช้ในการวิเคราะห์และแบบปิดสารอินทรีย์ที่ระหว่างสามารถถูกออกชีได้จะมากกว่าระบบเปิด เพราะมีเวลาในการสัมผัสน้ำสารออกชีได้นานกว่า

งานวิจัยนี้ได้ทำการวิเคราะห์ค่าชีโดยด้วยวิธีรีฟลักซ์แบบปิด เพราะเป็นวิธีการที่ประหยัด และสามารถย่อยสลายสารอินทรีย์ระบุได้มากกว่าวิธีการรีฟลักซ์แบบเปิด

### 2.13 ของแข็ง (Solids)

ของแข็งทั้งหมด (Total solids) หมายถึงส่วนที่เหลืออยู่ในภาชนะภายหลังจากที่ตัวอ่างถูกนำไประเหยและทำให้แห้งในตู้อบที่อุณหภูมิที่กำหนด ของแข็งรวมเป็นผลบวกของของแข็งแขวน ลอยรวม (Total suspended solids) ซึ่งเป็นส่วนของของแข็งที่ค้างอยู่บนกระดาษกรองและของแข็งละลายรวม(Total dissolved solids) ซึ่งเป็นส่วนที่ผ่านกระดาษกรอง

#### 2.13.1 ชนิดของของแข็ง

Total solids อาจแบ่งตามลักษณะการละลาย คือ

2.13.1.1 ของแข็งที่ละลายน้ำ หมายถึงของแข็งส่วนที่ละลายน้ำ อาจเป็นได้ทั้งเกลืออนินทรีย์หรือสารอินทรีย์บางอย่าง เช่น น้ำตาล

2.13.1.2 ของแข็งที่ไม่ละลายน้ำ แบ่งเป็น 2 ชนิด ตามขนาดของส่วนที่ไม่ละลาย

1) ของแข็งแขวนลอย หมายถึง ของแข็งส่วนที่ไม่ละลายน้ำแต่มีขนาดเล็กพอที่จะแขวนลอยอยู่ในน้ำได้

2) ของแข็งตกตะกอน หมายถึง ของแข็งที่เป็นตะกอนขนาดใหญ่และหนัก สามารถตกลงมาในภาชนะได้

ในการวิเคราะห์หาค่าของแข็งโดยใช้วิธี Gravimetric method ค่าที่ได้จะบอกในรูปน้ำหนักของสารต่อปริมาตรของน้ำตัวอย่างการหาค่าของแข็งมีวัตถุประสงค์และชนิดที่แตกต่างกันออกไปขึ้นอยู่กับลักษณะของน้ำและการนำไปใช้ ดังนี้

(1) ของแข็งที่ละลายน้ำและที่ไม่ละลายน้ำ (Dissolved and undissolved)

ปริมาณและชนิดของสารที่ละลายน้ำและที่ไม่ละลายน้ำแตกต่างกันออก ไปแล้วแต่ชนิดของของเหลวในน้ำบริโภคส่วนใหญ่ของสารอยู่ในรูปของเกลืออินทรีย์ซึ่งละลายน้ำเป็นส่วนมาก มีเพียงจำนวนเล็กน้อยที่อยู่ในรูปอินทรีย์และก้าชที่ละลายน้ำ ค่าของแข็งทั้งหมดของน้ำบริโภคอยู่ที่ 20-1,000 มิลลิกรัมต่อลิตร ในกรณีที่หากตะกอนส่วนใหญ่ของสารอยู่ในรูปที่ไม่ละลายน้ำ มีส่วนที่ละลายน้ำอยู่เพียงเล็กน้อย การหาค่าของแข็งที่ละลายและไม่ละลายน้ำทำได้โดยหาค่าของแข็งส่วนที่ผ่านการกรองกับส่วนที่ยังไม่ได้กรอง สารที่ไม่ละลายน้ำเรียกว่าของแข็งแขวนลอย (suspended solids หรือ suspended matter)

(2) ของแข็งระเหยและของแข็งคงตัว (Volatile and fixed solids)

การหาค่าของแข็งระเหยเป็นการหาค่าของแข็งระเหยทั้งหมดหรือของแข็งแขวนลอยก็ได้ขึ้นอยู่กับวัตถุประสงค์ในการวิเคราะห์ การหาค่าสารอินทรีย์ในน้ำตัวอย่างจะทำได้โดยการเผา ซึ่งสารอินทรีย์จะถูกเปลี่ยนไปเป็นคาร์บอนไดออกไซด์และน้ำ ในขณะที่อุณหภูมิที่ใช้ในการเผาถูกควบคุมไม่ให้สูงเกิน เพื่อสารอินทรีย์จะได้ไม่เกิดการแยกสลาย และน้ำหนักที่หายไปคือน้ำหนักของสารอินทรีย์ในตัวอย่าง โดยอุณหภูมิที่ใช้ในการเผาคือ 600 องศาเซลเซียสซึ่งเป็นอุณหภูมิต่ำสุดของการที่สารอินทรีย์จะถูกออกซิเดส์

(3) ของแข็งตกตะกอน (Settleable solids)

หมายถึงของแข็งใน suspension ( ของเหลวที่มีสิ่งแขวนลอยอยู่) ซึ่งจะนอนกันเนื่องจากแรงถ่วงภายในสภาวะที่ส่งบนนั่ง เฉพาะสารแขวนลอยที่heavy และมีความถ่วงจำเพาะสูงกว่าน้ำเท่านั้นที่จะนอนกัน หากตะกอนคือสิ่งที่เกิดจากการสะสมของแข็งที่ตก ตะกอนลงมาค่านี้มีประโยชน์มากในการพิจารณาสร้างถังตกตะกอน

งานวิจัยนี้ได้ทำการวิเคราะห์ปริมาณของแข็งแขวนลอย (SS) และของแข็งละลายน้ำทั้งหมด (TDS) เพื่อเป็นพารามิเตอร์ชัดประสิทธิภาพในการบำบัดค่าซีโอดีและประสิทธิภาพของการบำบัดน้ำเสียด้วยกระบวนการเพนตันร่วมกับการสร้างตะกอน

จากการรวบรวมทฤษฎีและงานวิจัยที่เกี่ยวข้องของกระบวนการเพนตันและการสร้างตะกอนพบว่ามีการนำไปใช้อย่างแพร่หลายในการบำบัดน้ำเสียอุตสาหกรรมและให้ประสิทธิภาพในการบำบัดที่สูง ทั้งนี้ผลที่ได้ในแต่ละงานวิจัยมีความแตกต่างกันซึ่งขึ้นอยู่กับลักษณะของน้ำเสียและการรวบรวมข้อมูลพบว่ากระบวนการบำบัดร่วมของสองกระบวนการขึ้นไปจะมีประสิทธิภาพที่สูงกว่ากระบวนการบำบัดเพียงวิธีเดียว ดังนั้นงานวิจัยนี้จึงสนใจที่จะศึกษาการบวนการทางเคมีโดย

กระบวนการ芬ตันร่วมกับการสร้างตอกอนทำในการศึกษาประสิทธิภาพและเพื่อศึกษาเป็นทางเลือกของกระบวนการบำบัดน้ำเสียเทียบกับค่ามาตรฐานน้ำทึ้งของโรงงานอุตสาหกรรม โดยทำการวิเคราะห์ค่าพารามิเตอร์ที่เกี่ยวข้อง คือ ค่าซีไอดี ค่าพีเอช ค่าของแข็งแขวนลอย และของแข็งละลายน้ำได้ทั้งหมด เพื่อศึกษาประสิทธิภาพและความเป็นไปได้ในการบำบัดน้ำเสียด้วยกระบวนการดังกล่าว

## บทที่ 3

### วิธีดำเนินงานวิจัย

#### 3.1 สารเคมี อุปกรณ์และเครื่องมือที่ใช้ในการศึกษา

##### 3.1.1 สารเคมี

- 3.1.1.1 สารไฮโดรเจนเปอร์ออกไซด์ ( $H_2O_2$ )
- 3.1.1.2 เพอร์ซัลเฟต ( $FeSO_4 \cdot 7H_2O$ )
- 3.1.1.3 แคลเซียมออกไซด์ ( $CaO$ )
- 3.1.1.4 แคลเซียมออกไซด์สังเคราะห์จากเปลือกไข่ (CaO from Eggshell)
- 3.1.1.5 สารโพแทสเซียมไดโครเมต ( $K_2Cr_2O_7$ )
- 3.1.1.6 สารละลายน้ำฟีวิริก ( $H_2SO_4$  20%)
- 3.1.1.7 สารละลามาตรฐานเพอร์แซม莫เนียมซัลเฟต (Ferrous Ammonium Sulphate, FAS)
- 3.1.1.8 โซเดียมไฮดรอกไซด์ ( $NaOH$ )
- 3.1.1.9 กรดซัลฟิวริกเข้มข้น (Conc.  $H_2SO_4$ )
- 3.1.1.10 สารซัลเวอร์ซัลเฟต ( $Ag_2SO_4$ )
- 3.1.1.11 สารเมอร์คิวรีซัลเฟต ( $HgSO_4$ )
- 3.1.1.12 เฟอร์โรอินอินดิเคเตอร์ (Ferroien indicator)

##### 3.1.2 เครื่องมือและอุปกรณ์

###### 3.1.2.1 อุปกรณ์

- 1) เครื่องจาร์เทสต์ (Jar test)
- 2) บีกเกอร์ขนาด 1000 ml.
- 3) นาฬิกาจับเวลา
- 4) บิวเรต (Burettes)
- 5) ปีเปต (Pipettes)
- 6) ขวดรูปชมพู่ (Erlenmeyer flasks) ขนาด 250 ml
- 7) หลอดไดเจสต์แก้วใบเรซิลิกาต (Borosilicate) ขนาด 25 x 150 mm ชนิดฝ่าเกลี่ยพรว้อมจุก TFE
- 8) ตะแกรงสำหรับหลอดทดลอง (Test Tube Rack)

- 9) น้ำกลั่น
  - 10) เครื่องซั่ง ( ทศนิยม 4 ตำแหน่ง )
  - 11) ตู้อบ ที่อุณหภูมิ  $250 \pm 2^{\circ}\text{C}$
  - 12) ตู้ดูดความชื้น (Dessicator)
  - 13) ขวดดูด
  - 14) เครื่องดูดสุญญากาศ
  - 15) ถ้วยกรองกุช สำหรับ glass fiber filter
  - 16) เตาเผา
  - 17) กระดาษกรองขนาด 47 mm
  - 18) ถ้วยกรองกุช สำหรับ glass fiber filter
- 3.1.2.2 เครื่องมือวิเคราะห์
- 1) เครื่องวัดค่าความเป็นกรด-ด่าง (pH Meter)
  - 2) Scanning Electron Microscope (SEM)
  - 3) X-ray Diffraction (XRD)
  - 4) Fourier transform infrared spectroscopy (FTIR) –Transmission

## 3.2 กรอบการศึกษา

งานวิจัยทำการศึกษาประสิทธิภาพและสภาวะที่เหมาะสมในการบำบัดน้ำเสียจากโรงงานผลิตแป้งมันสำปะหลังด้วยการสร้างตะกอน กระบวนการ芬ten และกระบวนการ芬tenร่วมกับการสร้างตะกอนโดยการทดลองแบ่งออกเป็น 3 ส่วนดังนี้

### 3.2.1 การศึกษาประสิทธิภาพการบำบัดด้วยวิธีการสร้างตะกอน

เพื่อศึกษาอิทธิพลของปริมาณและชนิดสารสร้างตะกอน 2 ชนิด คือแคลเซียมออกไซด์ และแคลเซียมออกไซด์จากเปลือกไข่เพล็อกต่อประสิทธิภาพการบำบัด ที่ความเข้มข้น 1, 2, 3 และ 4 g/L

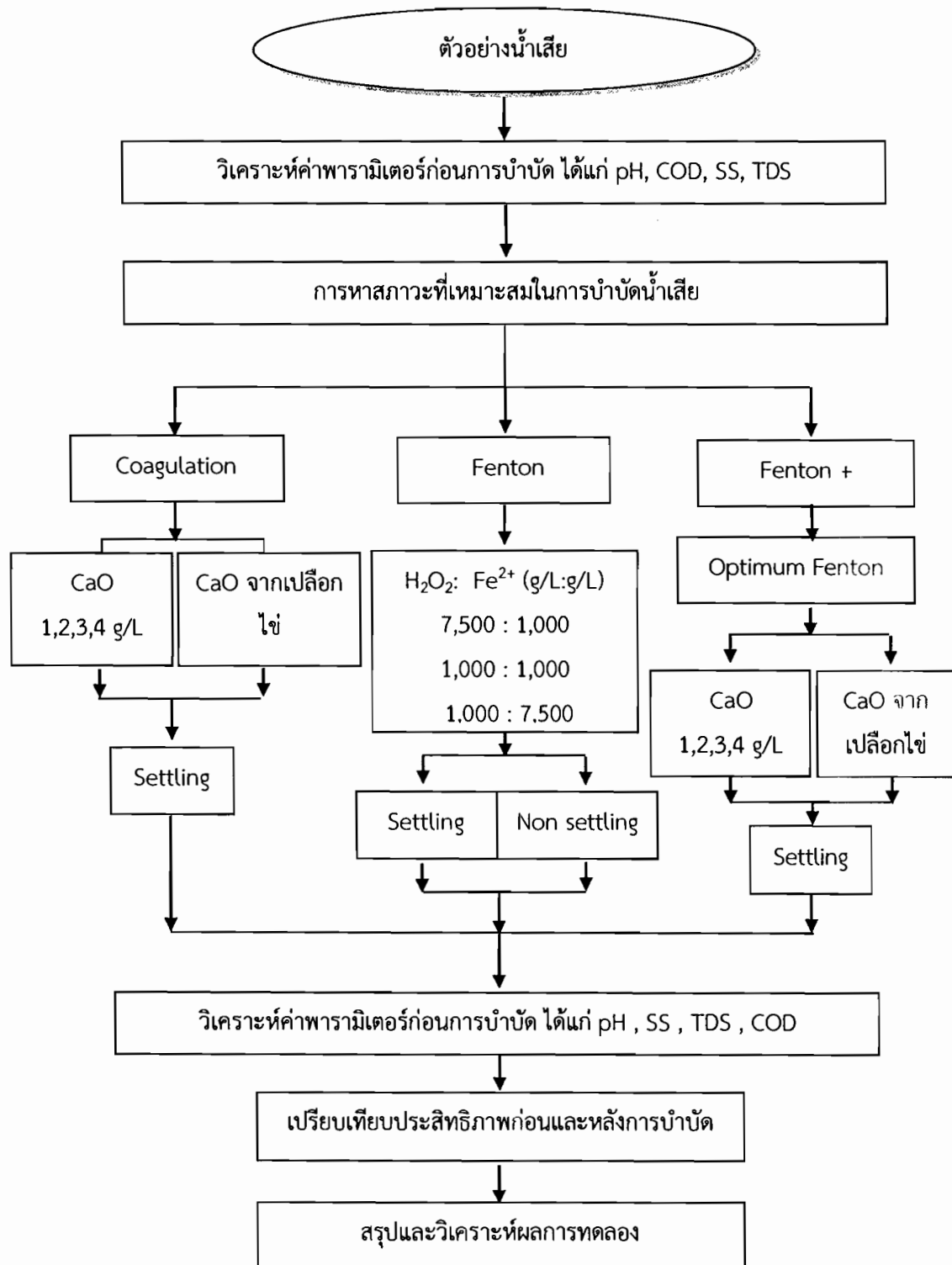
### 3.2.2 การศึกษาประสิทธิภาพการบำบัดด้วยกระบวนการ芬ten

เพื่อศึกษาอัตราส่วน  $\text{H}_2\text{O}_2:\text{Fe}^{2+}$  ที่เหมาะสมต่อประสิทธิภาพการบำบัดน้ำเสีย ในอัตราส่วน  $\text{H}_2\text{O}_2:\text{Fe}^{2+}$  ที่ทำการศึกษา เท่ากับ 7,500 : 1,000 1,000 : 1,000 และ 1,000:7,500 mg/L : mg/L และเปรียบเทียบประสิทธิภาพการกำจัดค่าซีโอดี ของแข็งแขวนลอย และของแข็งละลายน้ำทั้งหมดทันทีหลังเสร็จสิ้นปฏิกิริยา芬tenและหลังจากตั้งทิ้งให้ตกร่อง 30 นาที

### 3.2.3 การศึกษาประสิทธิภาพการบำบัดด้วยกระบวนการ芬tenร่วมกับการสร้างตะกอน

การใช้ชนิดและปริมาณสารสร้างตะกอนที่เหมาะสม โดยใช้อัตราส่วนของ  $\text{H}_2\text{O}_2:\text{Fe}^{2+}$  ที่ให้ประสิทธิภาพการกำจัด COD สูงที่สุด เมื่อสิ้นสุดปฏิกิริยา芬tenทำการเติมสารสร้างตะกอนทั้งสอง

ชนิดลงไปทันที เพื่อเปรียบเทียบประสิทธิภาพการบำบัดและการตกตะกอน  
ขั้นตอนการวิจัยทั้งหมดสามารถแสดงความสัมพันธ์เป็นแผนภาพได้ดังภาพที่ 3.1

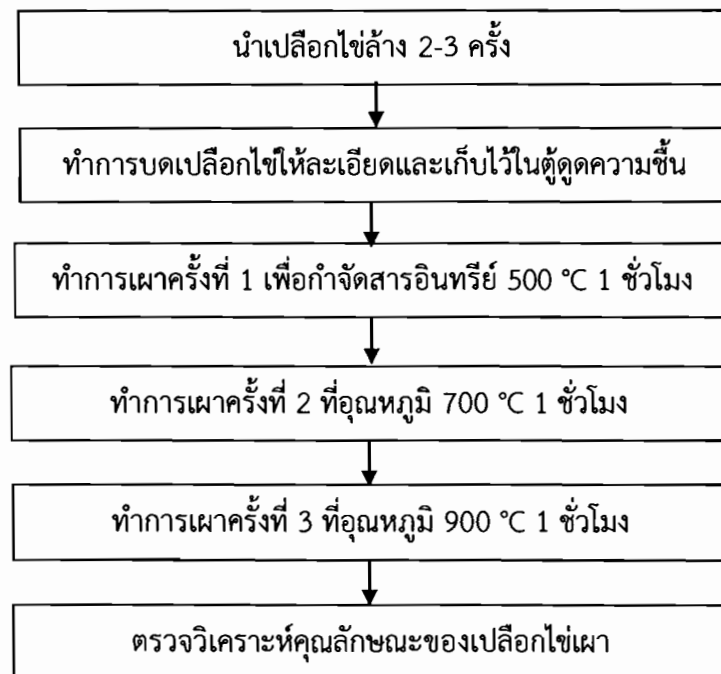


ภาพที่ 3.1 แผนภาพขั้นตอนการวิจัย

### 3.3 การเตรียมแคลเซียมออกไซด์จากเปลือกไข่

การเตรียมเปลือกไข่ทำตามวิธีของ บุชนาภา ตั้งบริบูรณ์และ ณทัย สอนประสาร (2552) โดยนำเปลือกไข่ที่ผ่านการล้างน้ำเปล่า 2-3 ครั้ง บดให้ละเอียดและเก็บไว้ในตู้ดูดความชื้น (Dessicator) จากนั้นนำส่วนที่บดแล้วใส่ลงในถ้วยครุภัณฑ์เบิลชนิดอะลูมีนา (Alumina crucible) จากนั้นทำการเผาเปลือกไข่ ครั้งที่ 1 ที่อุณหภูมิ 500 องศาเซลเซียส 1 ชั่วโมง เพื่อกำจัดสารอินทรีย์ตกค้าง ครั้งที่ 2 ที่อุณหภูมิ 700 องศาเซลเซียส 1 ชั่วโมง ซึ่งจะช่วยให้รูปของแคลเซียมคาร์บอนেตในเปลือกไข่เป็นแคลเซียมออกไซด์ และครั้งที่ 3 ที่อุณหภูมิ 900 องศาเซลเซียส 1 ชั่วโมง ขั้นตอนนี้จะได้สารแคลเซียมออกไซด์บริสุทธิ์อย่างสมบูรณ์ไม่มีสารอินทรีย์และสารตกค้าง

การตรวจวิเคราะห์ลักษณะคุณสมบัติแคลเซียมออกไซด์จากเปลือกไข่เผา ทำการวิเคราะห์ผ่านแคลเซียมออกไซด์ด้วย Scanning Electron Microscope (SEM) การเลี้ยวเบนรังสีเอกซ์ (X-ray Diffraction: XRD) และเครื่อง Fourier transform infrared spectroscopy (FTIR)



ภาพที่ 3.2 ขั้นตอนการเตรียมแคลเซียมออกไซด์จากเปลือกไข่

### 3.4 วิธีการเตรียมสารเคมีในการวิเคราะห์

#### 3.4.1 สารละลายน้ำตาลในไปเทสเซียมไดโครเมต 0.1 N

ทำการละลาย  $K_2Cr_2O_7$  (ซึ่งอบแห้งที่  $130^{\circ}C$  เป็นเวลา 2 ชม.) มา 4.913 g ในน้ำกลั่น 500 ml จากนั้นค่อยๆ เติมกรดซัลฟิวริกเข้มข้น 167 ml และ  $HgSO_4$  33.3 g ตั้งทิ้งไว้ให้ละลายและปล่อยให้เย็นจากนั้นปรับปริมาตรด้วยน้ำกลั่นให้ได้ปริมาตร 1 L

#### 3.4.2 กรดซัลฟิวริกเข้มข้นที่ผสมกับสารละลายนิลเวอร์ซัลเฟต

โดยทำการเติม  $AgSO_4$  5.5 g ลงในกรดซัลฟิวริกเข้มข้น 1 kg ตั้งทิ้งไว้ประมาณ 1 - 2 วัน เพื่อให้  $AgSO_4$  ละลาย

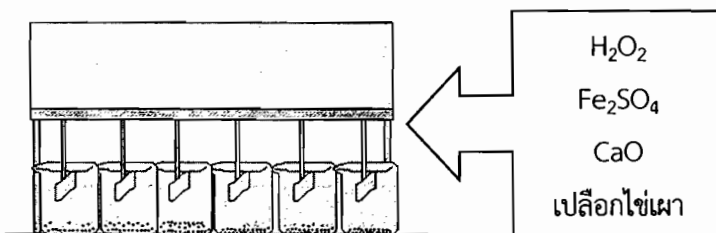
#### 3.4.3 สารละลายเฟอร์รัสแอมโมเนียมชัลเฟต 0.10 N (Ferrous Ammonium Sulphate, FAS)

โดยทำการละลาย  $Fe(NH_4)_2(SO_4)_2 \cdot 6H_2O$  39.2 g ในน้ำกลั่น จากนั้นทำการเติมกรดซัลฟิวริกเข้มข้น 20 ml ปล่อยทิ้งไว้ให้เย็นแล้วทำการเจือจางด้วยน้ำกลั่นจนครบ 1 L

#### 3.4.4 สารละลายอินดิเคเตอร์ Ferroin

โดยทำการละลาย 1.485 g 1,10-phenanthroline monohydrate และ 695 mg  $FeSO_4 \cdot 7H_2O$  ในน้ำกลั่น แล้วเจือจางด้วยน้ำกลั่นจนครบ 100 ml

### 3.5 รูปแบบการทดลอง



ภาพที่ 3.3 รูปแบบการทดลองด้วยเครื่องจาร์เทสต์

### 3.6 วิธีดำเนินการศึกษา

วิธีการดำเนินการศึกษาประสิทธิภาพและสภาพที่เหมาะสมในการบำบัดน้ำเสียโรงงานผลิตแป้งมันสำปะหลัง มีวิธีการดังนี้

#### 3.6.1 การเก็บน้ำตัวอย่างน้ำเสีย

น้ำเสียจากโรงงานผลิตแป้งมันสำปะหลัง เก็บโดยวิธีการเก็บน้ำเสียแบบจั่ง (Grab Sampling) ด้วยถังพลาสติกขนาด 20 L โดยจุดที่เก็บน้ำเสีย คือ จุดที่น้ำออกจากระบบบำบัด UASB

มาแล้ว ช่วงระยะเวลาที่สามารถทำการเก็บตัวอย่างน้ำ คือ ช่วงระหว่างเดือนพฤษจิกายน – เดือนมีนาคม (ช่วงเดินระบบเต็มที่) จากนั้นทำการเก็บรักษาน้ำเสียตัวอย่างที่ตู้แช่อุณหภูมิ 4°C

### 3.6.2 วิธีการทดลอง

#### 3.6.2.1 การศึกษาประสิทธิภาพการบำบัดด้วยวิธีการสร้างตะกอน

- 1) เตรียมน้ำเสีย 500 ml และทำการวิเคราะห์ค่าพารามิเตอร์ก่อนการทดลอง ได้แก่ pH COD SS และ TDS
- 2) ทำการปรับ pH ให้ได้ค่าที่ pH 8
- 3) เติมสารสร้างตะกอน ปริมาณความเข้มข้นของสารเคมีที่กำหนด
- 4) ทำการกวนผสมด้วยเครื่องจาร์เรสต์ ด้วยความเร็ว 120 rpm 10 นาที และ 95 rpm 10 นาที
- 5) ตั้งทิ้งให้ตกลงตัว 30 นาที
- 6) วิเคราะห์ค่าพารามิเตอร์หลังการทดลอง ได้แก่ pH COD SS และ TDS หลังการบำบัด

หมายเหตุ : ทำการทดลองซ้ำ โดยเปลี่ยนชนิดและปริมาณสารสร้างตะกอนตามที่ได้กำหนดไว้

#### 3.6.2.2 การศึกษาประสิทธิภาพการบำบัดด้วยกระบวนการเฟนตัน

- 1) เตรียมน้ำเสีย 500 ml และทำการวิเคราะห์ค่าพารามิเตอร์ก่อนการทดลอง ได้แก่ pH COD SS และ TDS
- 2) ทำการปรับ pH ให้ได้ค่าที่ pH 3
- 3) ทำการเติมสารประกอบเฟนตันที่อัตราส่วน  $H_2O_2:Fe^{2+}$  ที่ได้กำหนดไว้
- 4) ทำการกวนผสมด้วยเครื่องจาร์เรสต์ ที่ความเร็วการกวน 120 รอบต่อนาที เป็นระยะเวลา 120 นาที
- 5) ตั้งทิ้งไว้ให้ตกลงตัว 30 นาที
- 6) นำน้ำตัวอย่างที่ผ่านการบำบัดแล้วมาวิเคราะห์ค่าพารามิเตอร์หลังการทดลอง ได้แก่ pH COD SS และ TDS

หมายเหตุ : ทำซ้ำอีกครั้งและเมื่อสิ้นสุดเวลาการกวนแล้วให้นำมาวิเคราะห์ค่าพารามิเตอร์หลังการบำบัดทันที

#### 3.6.2.3 การศึกษาประสิทธิภาพการบำบัดด้วยกระบวนการเฟนตันร่วมกับการสร้างตะกอน

- 1) เตรียมน้ำเสีย 500 ml และทำการวิเคราะห์ค่าพารามิเตอร์ก่อนการทดลอง ได้แก่ pH COD SS และ TDS

2) ทำการทดลองเดียวกันกับ ข้อ 3.5.2.2 โดยใช้อัตราส่วนที่มีประสิทธิภาพที่ดีที่สุด

3) หลังจากเกิดปฏิกิริยาเฟนตันสิ้นสุดลง ทำการปรับพีเอชให้ได้ค่า 8 และเติมสารแคลเซียมออกไซด์ตามปริมาณที่กำหนด

4) ทำการกรุน ด้วยความเร็ว 120 rpm 10 นาที และ 95 rpm 10 นาที

5) ตั้งทึ้งให้ตกลงกอน 30 นาที

6) วิเคราะห์ค่าพารามิเตอร์หลังการทดลอง ได้แก่ pH COD SS และ TDS

หมายเหตุ : ทำการทดลองซ้ำ โดยเปลี่ยนสารสร้างตะกอนเป็นสารแคลเซียมออกไซด์สังเคราะห์ และเปลี่ยนปริมาณสร้างตะกอนตามที่ได้กำหนดไว้

### 3.6.3 การเปรียบเทียบประสิทธิภาพการบำบัดน้ำเสีย

เปรียบเทียบประสิทธิภาพการบำบัดน้ำเสียด้วยกระบวนการเฟนตัน การสร้างตะกอน และกระบวนการเฟนตันร่วมกับการสร้างตะกอนกับมาตรฐานน้ำทึ้งจากโรงงานอุตสาหกรรมและนิคม อุตสาหกรรม พ.ศ. 2539 โดยเปรียบเทียบพารามิเตอร์ของน้ำเสียจากโรงงานผลิตแป้งมันสำปะหลัง ก่อนและหลังการบำบัด

## 3.7 วิธีการวิเคราะห์

### 3.7.1 การวิเคราะห์ค่าซีโอดี ( COD )

น้ำเสียตัวอย่างจะถูกนำมาวิเคราะห์ค่าซีโอดีก่อนและหลังการบำบัด ด้วยวิธีรีฟลักซ์ แบบปิด ( Closed reflux method ) และทำการหาประสิทธิภาพของการบำบัดทั้งก่อนและหลังทำการทดลอง

#### 3.7.1.1 การหาค่าซีโอดี

$$\text{ค่าซีโอดี (mg/L)} = \frac{\{(A-B) \times N \times 8000\}}{\text{ปริมาตรน้ำตัวอย่าง (mL)}} \quad (3.1)$$

เมื่อ A คือ ปริมาณของเฟอร์สแอมโมเนียมชัลเฟตที่ใช้ในการไฟเกรตน้ำก้อน (mL)

B คือ ปริมาณของเฟอร์สแอมโมเนียมชัลเฟตที่ใช้ในการไฟเกรตัวอย่าง (mL)

N คือ ความเข้มข้นในหน่วยนอร์มอลลิตี้ (N) ของเฟอร์สแอมโมเนียมชัลเฟตที่ใช้

### 3.7.1.2 การหาประสิทธิภาพในการบำบัดซีโอดี

$$\% \text{ ประสิทธิภาพการบำบัดซีโอดี} = \frac{(\underline{\text{COD}_0} - \text{COD}) \times 100\%}{\text{COD}_0} \quad (3.2)$$

เมื่อ  $\text{COD}_0$  คือ ค่า COD ของน้ำเสียเริ่มต้น (mg/L)

$\text{COD}$  คือ ค่า COD ของน้ำเสียหลังการบำบัด (mg/L)

### 3.7.2 การวิเคราะห์ค่าของแข็ง

น้ำเสียตัวอย่างถูกนำมาวิเคราะห์ค่าของแข็งด้วยวิธี Gravimetric method โดยสามารถคำนวณหาค่าของแข็งและประสิทธิภาพในการกำจัดของแข็งได้จาก

#### 3.7.2.1 การหาค่าของแข็ง

$$\text{ของแข็งแขวนลอย (mg/L)} = \frac{(\underline{A} - \underline{B}) \times 1,000}{\text{ปริมาตรน้ำตัวอย่าง (mL)}} \quad (3.3)$$

เมื่อ  $A$  คือ ค่าน้ำหนักของกระดาษกรอง + ของแข็ง (mg)

$B$  คือ ค่าน้ำหนักของกระดาษกรอง (mg)

$$\text{ของแข็งละลายน้ำทั้งหมดที่ } 180^{\circ}\text{C (mg/L)} = \frac{(\underline{A} - \underline{B}) \times 1,000}{\underline{C}} \quad (3.4)$$

เมื่อ  $A$  คือ ค่าน้ำหนักของของแข็งที่แห้ง + ถ้วยกระเบื้อง (mg)

$B$  คือ ค่าน้ำหนักของถ้วยกระเบื้อง (mg)

$C$  คือ ปริมาตรของน้ำที่ผ่านการกรองที่นำมาใช้ (mL)

#### 3.7.2.2 การหาประสิทธิภาพการบำบัดของแข็ง

% ประสิทธิภาพการกำจัดของแข็งแขวนลอย

$$= \frac{(\underline{\text{SS}_0} - \underline{\text{SS}}) \times 100\%}{\text{SS}_0} \quad (3.5)$$

เมื่อ SS<sub>0</sub> คือ ค่าของแข็งخلفยอน้ำเสียเริ่มต้น (mg/L)  
 SS คือ ค่าของแข็งخلفยอน้ำเสียหลังการบำบัด (mg/L)

% ประสิทธิภาพการกำจัดของแข็งละลายน้ำทั้งหมด

$$= \frac{(\text{TDS}_0 - \text{TDS}) \times 100\%}{\text{TDS}_0} \quad (3.6)$$

เมื่อ TDS<sub>0</sub> คือ ค่าของแข็งละลายน้ำทั้งหมดของน้ำเสียเริ่มต้น (mg/L)  
 TDS คือ ค่าของแข็งละลายน้ำทั้งหมดของน้ำเสียหลังการบำบัด (mg/L)

% ประสิทธิภาพการเพิ่มขึ้นของแข็งละลายน้ำทั้งหมด

$$= \frac{(\text{TDS} - \text{TDS}_0) \times 100\%}{\text{TDS}} \quad (3.7)$$

เมื่อ TDS คือ ค่าของแข็งละลายน้ำทั้งหมดของน้ำเสียหลังการบำบัด (mg/L)  
 TDS<sub>0</sub> คือ ค่าของแข็งละลายน้ำทั้งหมดของน้ำเสียเริ่มต้น (mg/L)

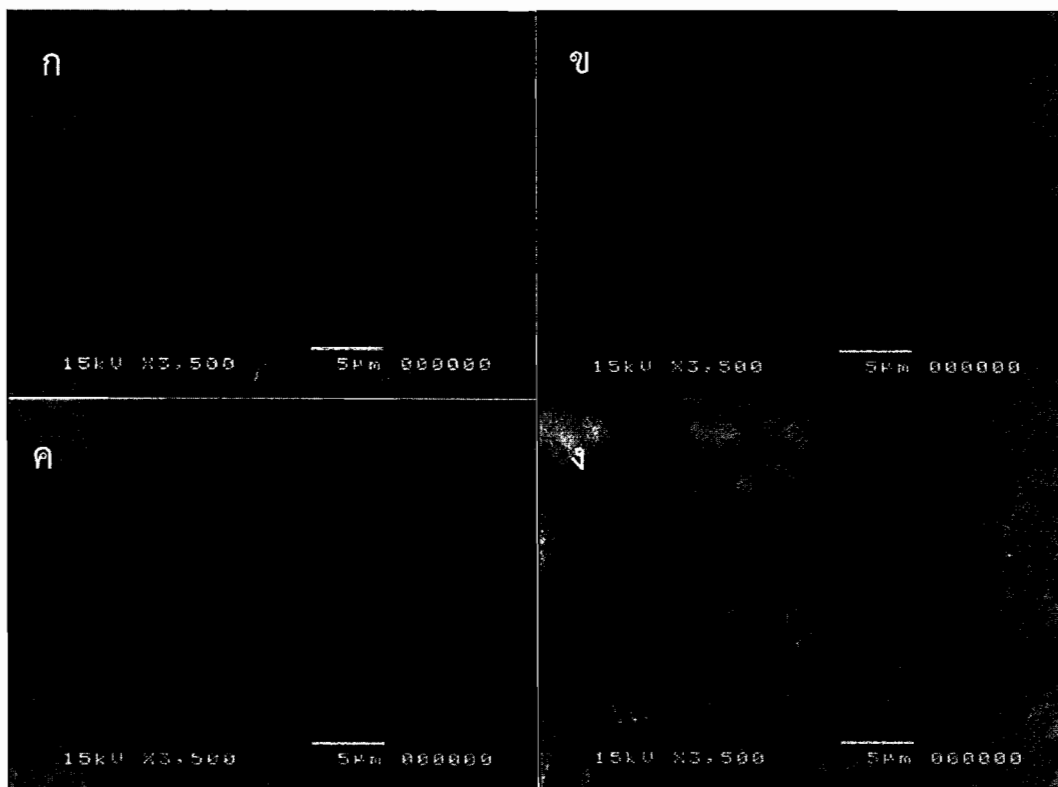
## บทที่ 4

### ผลการวิจัยและอภิปรายผล

#### 4.1 ผลการวิเคราะห์คุณสมบัติของเปลือกไข่

##### 4.1.1 ผลการวิเคราะห์ลักษณะของเปลือกไข่ด้วยกล้องจุลทรรศน์แบบส่องกราด

จากการวิเคราะห์ลักษณะรูปร่างของผงเปลือกไข่ด้วยกล้องจุลทรรศน์แบบส่องกราด (SEM) ดังแสดงในภาพที่ 4.1 พบว่าลักษณะของผงเปลือกไข่มีลักษณะที่แตกต่างกัน ด้วยอุณหภูมิในการเผาที่ต่างกัน โดยที่การเผาอุณหภูมิ 900 องศาเซลเซียส เป็นเวลา 1 ชั่วโมง มีลักษณะความซัดเจนของผลึกมากที่สุด สอดคล้องกับ นุชนาภา ตั้งบริบูรณ์ และณฑัย สอนประสาร (2552)

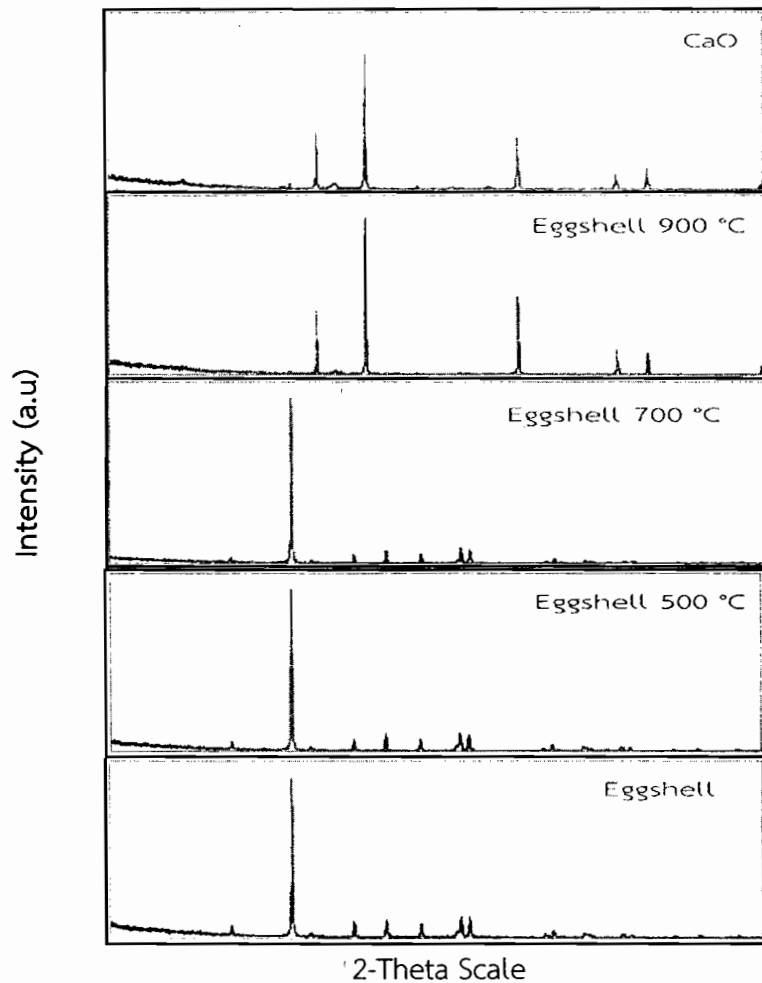


ภาพที่ 4.1 ภาพถ่ายจากกล้องจุลทรรศน์อิเล็กตรอนแบบส่องกราด โดย (ก) เปลือกไข่ดิน (ข) เปลือกไข่เผาที่ 500 องศาเซลเซียส (ค) เปลือกไข่เผาที่ 700 องศาเซลเซียส และ (ง) เปลือกไข่เผาที่ 900 องศาเซลเซียส

#### 4.1.2 ผลการวิเคราะห์การเลี้ยงเบนรังสีเอกซ์ (X-ray Diffraction: XRD)

ผลจากการวิเคราะห์ด้วยเครื่อง XRD ดังแสดงในภาพที่ 4.2 พบว่ารูปแบบของการเลี้ยงเบนรังสีเอกซ์ที่ตกลงทับของแคลเซียมออกไซด์ ( $\text{CaO}$ ) และเปลือกไข่เผาที่ 900 องศาเซลเซียส (Eggshell 900 °C) มีลักษณะของมุมตกลงทับเหมือนกัน โดยรูปแบบความชัดเจนของผลึกสูงสุดของ Eggshell 900 °C เท่ากับมุม 32.230 37.390 53.890 64.190 และ 67.430 สอดคล้องกับรูปแบบความชัดเจนของผลึกสูงสุดของแคลเซียมออกไซด์ เท่ากับมุม 32.242 37.401 53.928 64.240 และ 67.465 ตามเลขอ้างอิง 78-0649 (The International Center for Diffraction Data: JCPDS) และในส่วนของเปลือกไข่เผาที่อุณหภูมิ 500 °C มีลักษณะรูปแบบความชัดเจนของผลึกเท่ากับมุม 23.118 29.500 31.574 36.056 และ 39.517 สอดคล้องกับเลขที่อ้างอิง 89-1304 Magnesium Calcium Carbonate ( $\text{MgCa}(\text{CO}_3)$ ) สำหรับเปลือกไข่เผาที่อุณหภูมิ 700 °C มีลักษณะรูปแบบความชัดเจนของผลึกเท่ากับมุม 23.101 29.466 31.516 36.093 และ 39.489 สอดคล้องกับเลขที่อ้างอิง 85-1108 Calcium Carbonate ( $\text{CaCO}_3$ ) แสดงตารางในภาคผนวก ก

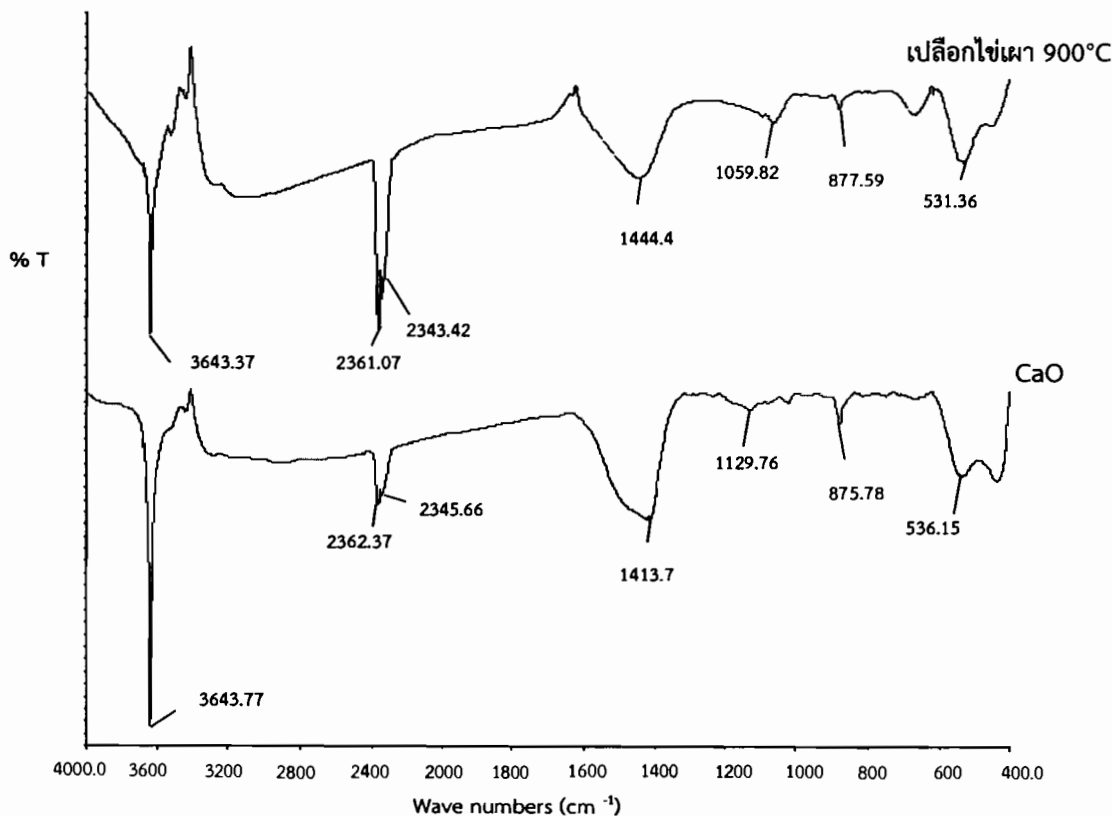
จากการวิเคราะห์แสดงให้เห็นว่า เปลือกไข่เผาที่ 900 องศาเซลเซียส มีลักษณะของรูปแบบผลึกตรงกับแคลเซียมออกไซด์ ซึ่งเป็นสภาวะที่เหมาะสมของการเตรียมสารประกอบแคลเซียม บริสุทธิ์ เช่นเดียวกับ บุชนา ตั้งบริบูรณ์ และ พันธุ์พิทย์ สอนประสาร (2552) เป็นการยืนยันได้ว่า เปลือกไข่ที่สังเคราะห์ขึ้นมีลักษณะที่ตรงกับแคลเซียมออกไซด์จริง ทั้งนี้ได้นำตัวอย่างที่สภาวะเหมาะสมทำการวิเคราะห์เพื่อพิจารณาลักษณะหมู่ฟังก์ชันด้วยเครื่อง FTIR ต่อไป



ภาพที่ 4.2 ภาพ XRD ของแคลเซียมออกไซด์และแคลเซียมออกไซด์จากเปลือกไข่

#### 4.1.3 ผลการวิเคราะห์ด้วยเครื่อง Fourier transform infrared spectroscopy (FTIR)

อินฟารेडสเปกตรัมของแคลเซียมออกไซด์และเปลือกไข่เผา วิเคราะห์โดยใช้เครื่อง FTIR เพื่อศึกษาหมู่พังก์ชันของแคลเซียมออกไซด์และเปลือกไข่เผา ที่สภาวะการเผาอุณหภูมิ 900 องศาเซลเซียส 1 ชั่วโมง ดังแสดงในภาพที่ 4.3 อินฟารेडสเปกตรัมของแคลเซียมออกไซด์และเปลือกไข่เผาแสดงให้เห็นถึง ตำแหน่งพีคของหมู่พังก์ชันที่คล้ายกัน



ภาพที่ 4.3 สเปกตรัม FTIR ของเปลือกไข่เพา (Eggshell) และแคลเซียมออกไซด์ (CaO)

ตำแหน่งหมุนฟังก์ชันของแคลเซียมออกไซด์ที่พบตามรายงานของ Aldes Lesbani (2013) ซึ่งได้ทำการสังเคราะห์แคลเซียมออกไซด์จากเปลือกหอยทาก พบร่องสเปกตรัมการดูดกลืนที่ตำแหน่ง  $1427\text{ cm}^{-1}$   $871\text{ cm}^{-1}$   $709\text{ cm}^{-1}$  และ  $362\text{ cm}^{-1}$  ที่ปรากฏหมุนฟังก์ชันของแคลเซียมออกไซด์ จะเห็นว่าตำแหน่งการดูดกลืนที่สเปกตรัมของแคลเซียมออกไซด์และเปลือกไข่เพามีตำแหน่งพีคของหมุนฟังก์ชันคล้ายกัน 2 จุดที่ตำแหน่ง  $1413.72\text{ cm}^{-1}$   $875.78\text{ cm}^{-1}$  และ  $1444.49\text{ cm}^{-1}$   $877.59\text{ cm}^{-1}$  ตามลำดับ จากการศึกษาลักษณะและการดูดซับของเปลือกไข่และเยื่อหุ้มเปลือกไข่ของ Tsai, W.T. and et al. (2006) พบว่าจากการวิเคราะห์ด้วยเครื่อง FTIR แสดงการดูดกลืนอินฟารेडสเปกตรัมของของหมุนฟังก์ชันแร่แคลเซียมคาร์บอนेट ( $\text{CaCO}_3$ ) สำหรับตัวอย่างที่เป็นเปลือกไข่ และสำหรับเยื่อหุ้มเปลือกไข่แสดงหมุนฟังก์ชันของ เอมีนและเอไมด์ ช่วงอินฟารेडสเปกตรัมของแคลเซียมคาร์บอนेटที่พบคือ ตำแหน่งพีคที่  $3640$   $2510$   $1458$   $1422.7$   $876$  และ  $712.5\text{ cm}^{-1}$  (D.Crina. et al., 2001)

ช่วงตำแหน่งพีคที่คล้ายกันของแคลเซียมออกไซด์และเปลือกไข่เพาที่  $900\text{ }^{\circ}\text{C}$  ที่ปรากฏสอดคล้องกับรายงานการวิจัยที่ได้อ้างอิง จึงทำให้สามารถสรุปได้ว่าแคลเซียมออกไซด์จากเปลือกไข่มีความเหมือนและมีลักษณะเฉพาะเช่นเดียวกับแคลเซียมออกไซด์ ซึ่งเป็นการยืนยันได้ว่าแคลเซียมออกไซด์จากเปลือกไข่ที่การเผา  $900$  องศาเซลเซียส  $1$  ชั่วโมง มีหมุนฟังก์ชันที่ตรงกับแคลเซียมออกไซด์จริง

#### ตารางที่ 4.1 ผลการวิเคราะห์หมู่ฟังก์ชัน

Band range ( $\text{cm}^{-1}$ )			หมู่ฟังก์ชัน	องค์ประกอบที่เป็นไปได้
แคลเซียม ออกไซด์	เปลือกไข่	ความแตกต่าง		
3643.77	3643.37	0.4	O-H, N-H stretching	Free Hydroxyl และ Free NH
2362.37	2361.07	1.3	$\text{C}\equiv\text{C}, \text{C}\equiv\text{N}$ stretching	Amines และ aromatic
2345.66	2343.42	2.24		
1413.72	1444.49	-30.77	C-O-H in plane bending C-H gathering	Carboxylic acids และ Phenol
1129.76	1059.82	69.94	C-O, C-N stretching	Alcohols และ Amines
875.78	877.59	-1.81	$\equiv\text{C}-\text{H}$ bending	Alkenes
536.15	531.36	4.79	C-H	Aromatic hydrogen

#### 4.2 ลักษณะสมบัติของน้ำเสีย

น้ำเสียที่ใช้ในการทดลองคือ น้ำเสียที่ผ่านการบำบัดด้วยระบบชีวภาพ (UASB) ทำการเก็บตัวอย่างด้วยวิธีแบบจ้าง (Grab sampling) ใส่ในขวดพลาสติกและนำมาเก็บในตู้แข็งที่อุณหภูมิ 4°C ทันที โดยมีลักษณะสมบัติของน้ำเสีย ดังตารางที่ 4.2

ตารางที่ 4.2 ลักษณะสมบัติของน้ำเสียที่ใช้ในการทดลอง

ลักษณะสมบัติ	น้ำที่ผ่านการบำบัดด้วย UASB	มาตรฐานน้ำทิ้ง**
กำลังการผลิต (Ton/day)*	600	-
ปริมาณน้ำเสีย ( $m^3/day$ )*	3,870	-
สี*	ขาวขุ่น	ไม่เป็นที่พึงรังเกียจ
กลิ่น*	มีกลิ่นเหม็นปนกลิ่น	ไม่เป็นที่พึงรังเกียจ
อุณหภูมิ( $^{\circ}C$ )*	28	ไม่เกิน 40
pH	6.7	5.5-9.0
ค่าซีโอดีเจลี่ย ( $mg/L$ )	$1,796.66 \pm 298.37$	120
ของแข็งแขวนลอยเฉลี่ย ( $mg/L$ )	$1,064 \pm 110.35$	50
ของแข็งละลายน้ำเฉลี่ย ( $mg/L$ )	$1320.33 \pm 146.64$	3,000

หมายเหตุ: \* ข้อมูลจากการสำรวจของงานอุตสาหกรรมที่ศึกษา

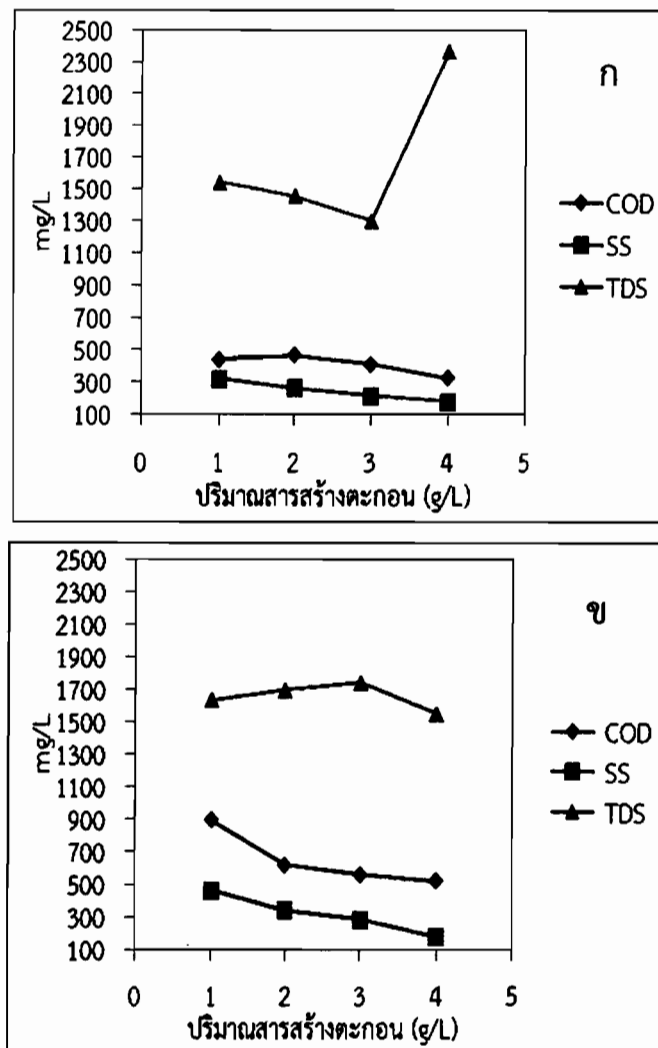
\*\* ค่ามาตรฐานน้ำทึ้งจากโรงงานอุตสาหกรรม (กรมควบคุมมลพิษ)

#### 4.3 การศึกษาประสิทธิภาพการบำบัดด้วยวิธีการสร้างตระกอน

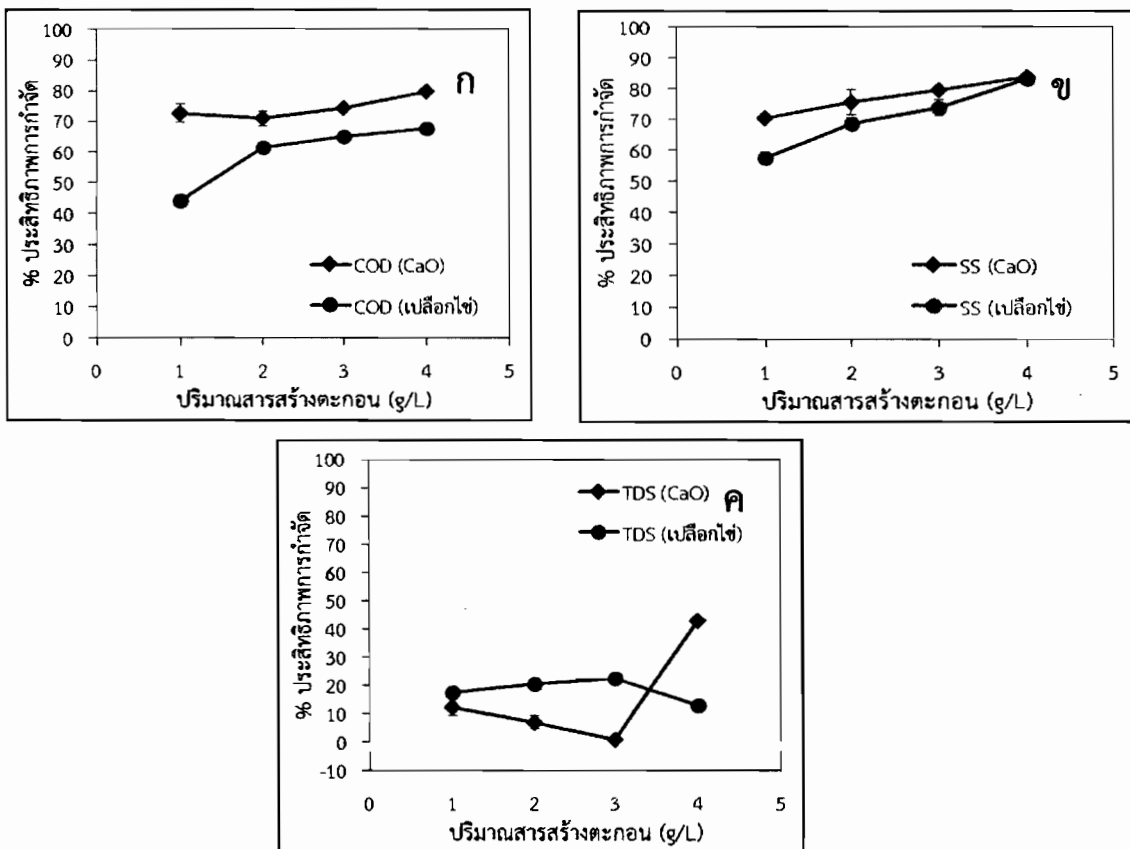
จากการศึกษาผลของปริมาณสารสร้างตะกอนต่อประสิทธิภาพการบำบัดและการตกตะกอน ผลการทดลองแสดงให้เห็นว่า สารแคลเซียมออกไซด์และแคลเซียมออกไซด์จากเปลือกไข่ มีประสิทธิภาพการบำบัดค่าซีไอode และของแข็งแขวนลอยแปรผันตามปริมาณสารสร้างตะกอนในสภาวะที่ค่าพีเอชเท่ากับ 8 เป็นสภาวะค่าพีเอชที่มีผลต่อการสร้างตะกอนและตกตะกอนได้ดี มีประสิทธิภาพในการกำจัดสารมลพิษได้ดีที่สุด (Perdigón-Melón, J.A. et al., 2010) โดยที่ความเข้มข้น 4 g/L มีประสิทธิภาพการกำจัดค่าซีไอode และของแข็งแขวนลอยสำหรับสารแคลเซียมออกไซด์สูงที่สุด เท่ากับ  $79.62 \pm 1.24\%$  และ  $83.85 \pm 1.05\%$  ตามลำดับ นอกจากนี้สารแคลเซียมออกไซด์จากเปลือกไข่ มีประสิทธิภาพการกำจัดค่าซีไอode และของแข็งแขวนลอยสูงสุดที่ความเข้มข้น 4 g/L เช่นกัน โดยมีค่าเท่ากับ  $67.50 \pm 0.00\%$  และ  $83.27 \pm 2.61\%$  เนื่องจากปริมาณสารแคลเซียมออกไซด์ที่เพิ่มขึ้นช่วยทำให้สารอินทรีย์เกิดการรวมตัวและเกิดการตกตะกอนในปริมาณมากยิ่งขึ้น ดังนั้นมีอิเพิ่มปริมาณสารสร้างตะกอนสูงขึ้นจะทำให้ประสิทธิภาพในการบำบัดเพิ่มมากขึ้นเช่นกัน ถึงแม้ว่าประสิทธิภาพการบำบัดด้วยการสร้างตะกอนมีประสิทธิภาพในการกำจัดค่าซีไอode และของแข็งแขวนลอยสูง แต่ค่าซีไอode และของแข็งแขวนลอยหลังการบำบัดยังสูงเกินค่ามาตรฐานน้ำทึ้งของกรมโรงงานอุตสาหกรรม

แต่จากการบำบัดด้วยการสร้างตะกอนทำให้ปริมาณของแข็งละลายน้ำทั้งหมดเพิ่มขึ้น ที่ความเข้มข้น 4 g/L มีประสิทธิภาพการเพิ่มขึ้นของของแข็งละลายน้ำทั้งหมดมากที่สุดของแคลเซียมออกไซด์เท่ากับ  $2,366 \pm 192.33$  mg/L คิดเป็นเปอร์เซ็นต์การเพิ่มขึ้นคือ  $42.80 \pm 3.45\%$  ทั้งนี้เนื่องมาจากปริมาณสารแคลเซียมออกไซด์ที่เติมลงไปมีปริมาณมากเกินพอดำรงรับเข้าทำปฏิกิริยากับสารอินทรีย์ในน้ำเสียภายในระยะเวลาที่กำหนดสังเกตได้จากปริมาณสารแคลเซียมออกไซด์ที่คงเหลืออยู่รวมกับตะกอนที่เกินขึ้น สำหรับแคลเซียมออกไซด์จากเปลือกไข่มีอัตราการเพิ่มขึ้นของของแข็งละลายน้ำทั้งหมดที่ต่ำกว่าแคลเซียมออกไซด์ ที่ความเข้มข้น 3 g/L มีปริมาณของแข็งละลายน้ำทั้งหมดที่สูงที่สุดเท่ากับ  $1,745 \pm 10.60$  mg/L คิดเป็นเปอร์เซ็นต์การเพิ่มขึ้นคือ  $22.65 \pm 2.09\%$  ทั้งนี้ปริมาณของแข็งละลายน้ำทั้งหมดที่เพิ่มขึ้นไม่ได้ส่งผลต่อค่ามาตรฐานน้ำทึ้งแต่อย่างใด

ดังนั้นสภาวะที่เหมาะสมของการสร้างตะกอนสำหรับสารสร้างตะกอนทั้ง 2 ชนิด คือ pH 8 ระยะเวลาตกตะกอน 30 นาที และที่ความเข้มข้นสารสร้างตะกอน 4 g/L ให้ประสิทธิภาพในการกำจัดค่าซีโอดีและของแข็งแขวนลอยสูงที่สุดสำหรับแคลเซียมออกไซด์และรองลงมาคือแคลเซียมออกไซด์จากเปลือกไข่



ภาพที่ 4.4 ปริมาณค่าซีโอดี (COD) ของแข็งแขวนลอย (SS) และของแข็งละลายน้ำทึ้งหมด (TDS) หลังผ่านการบำบัดด้วยวิธีการสร้างตะกอน (ก) แคลเซียมออกไซด์ (ข) แคลเซียมออกไซด์จากเปลือกไข่



ภาพที่ 4.5 อิทธิพลของปริมาณสารสร้างตะกอนต่อ (ก) ประสิทธิภาพการกำจัดค่าซีโอดี (ข) ประสิทธิภาพการกำจัดค่าของแข็งแขวนลอย (ค) การเพิ่มขึ้นของของแข็งละลายน้ำทั้งหมด

#### 4.4 การศึกษาประสิทธิภาพการบำบัดด้วยกระบวนการ芬顿

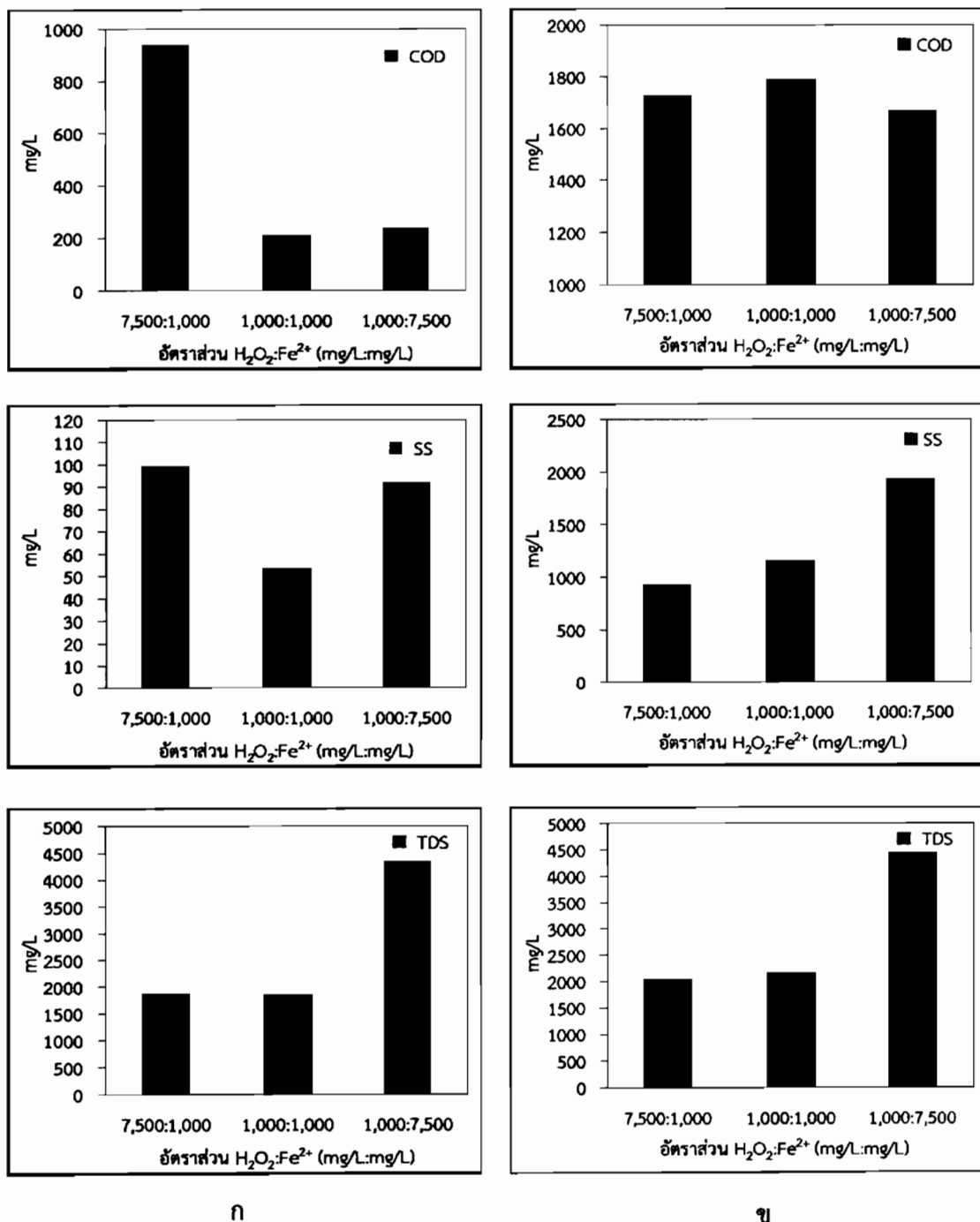
ผลการศึกษาอิทธิพลของอัตราส่วน  $\text{H}_2\text{O}_2:\text{Fe}^{2+}$  ต่อประสิทธิภาพการบำบัดและการตกตะกอน ผลการทดลองแสดงให้เห็นว่า ที่ pH 3 ระยะเวลาการเกิดปฏิกิริยาที่ 120 นาที อัตราส่วนสาร芬顿 ที่เหมาะสมคือ 1,000:1,000 mg/L: mg/L และมีระยะเวลาในการตกตะกอน 30 นาที ประสิทธิภาพ ในการกำจัดค่าซีโอดีและของแข็งแขวนลอยเท่ากับ  $85.28 \pm 2.75\%$  และ  $93.73 \pm 0.58\%$  ซึ่งเป็นไป ตาม (Li, et al,2012) ที่สภาวะ pH 3 ระยะเวลาการเกิดปฏิกิริยา 120 นาที อัตราส่วน  $\text{H}_2\text{O}_2:\text{Fe}^{2+}$  คือ 500 : 300 mg/L: mg/L มีประสิทธิภาพในการกำจัดค่าซีโอดี เท่ากับ 65.50 % สำหรับ ประสิทธิภาพการกำจัดของแข็งแขวนลอยพบว่าที่สภาวะที่เหมาะสมของสาร芬顿สามารถกำจัด ของแข็งแขวนลอยได้ดี ก่อให้เกิดการเข้าทำปฏิกิริยาของไฮโดรเจนเปอร์ออกไซด์และเฟอร์รัสไออกอน มีปริมาณที่พอดีกันในระยะเวลาและสภาวะที่กำหนด จึงทำให้อ่อนเหล็กที่เหลืออยู่ในรูปที่ ตกตะกอนได้ ( $\text{Fe(OH)}_2$ ) และทำให้ปริมาณของแข็งแขวนลอยมีปริมาณที่ลดลงจำนวนมาก สำหรับ ประสิทธิภาพการเพิ่มขึ้นของของแข็งละลายน้ำทั้งหมดเท่ากับ  $17.33 \pm 0.56\%$  ซึ่งเมื่อเปรียบเทียบกับ

อัตราส่วน  $\text{H}_2\text{O}_2:\text{Fe}^{2+}$  อื่น พบร่วมกับอัตราส่วนสารเ芬ตัน 1,000:1,000 mg/L: mg/L สามารถกำจัดค่าซีโอดีและของแข็งแขวนลอยได้มากที่สุดและปริมาณการเพิ่มขึ้นของของแข็งละลายน้ำทั้งหมดมีค่าน้อยที่สุด สำหรับอัตราส่วน  $\text{H}_2\text{O}_2:\text{Fe}^{2+}$  ที่ดีที่สุดของปฏิกิริยาเฟนตันที่ไม่มีการตกตะกอน คือ 1,000:7,500 mg/L: mg/L มีประสิทธิภาพในการกำจัดค่าซีโอดี เท่ากับ  $10.21 \pm 11.40\%$  ของแข็งแขวนลอยและของแข็งละลายน้ำทั้งหมดที่อัตราส่วน 7,500:1,000 mg/L: mg/L มีประสิทธิภาพในการกำจัดของแข็งแขวนลอยเท่ากับ  $15.03 \pm 24.10\%$  และสำหรับการเพิ่มขึ้นของของแข็งละลายน้ำทั้งหมดที่น้อยที่สุด เท่ากับ  $34.09 \pm 4.49\%$

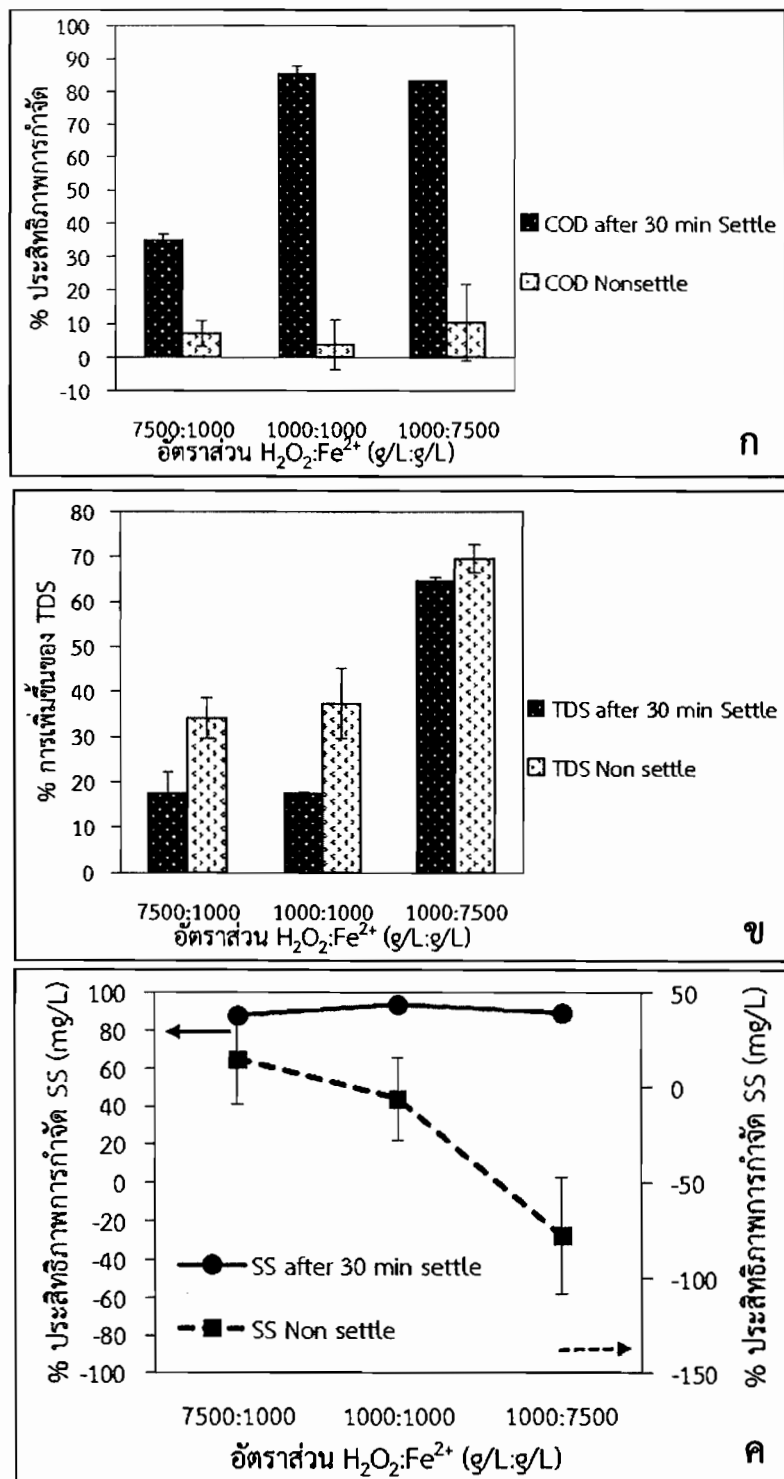
ทั้งนี้เมื่อเพิ่มสัดส่วนของปริมาณเฟอร์รัสซัลเฟตส่งผลต่อการเพิ่มปริมาณของสารไฮโดรเจนเปอร์ออกไซด์ในการเข้าทำปฏิกิริยา หากเพิ่มปริมาณมากเกินไปจะส่งผลให้ประสิทธิภาพในการบำบัดลดลง (สุเทพ สิริวิทยาปกรณ์ และวีระนุช บุญรุ่ง, 2553) และเกิดเป็นกลุ่มตะกอนขนาดเล็กของเหล็กกระจายอยู่ทั่วไปสังเกตได้จากปริมาณของแข็งละลายน้ำทั้งหมดที่เพิ่มขึ้นเมื่อมีการเพิ่มสัดส่วนของ  $\text{H}_2\text{O}_2:\text{Fe}^{2+}$  เป็น 1,000:7,500 mg/L: mg/L

แต่อย่างไรก็ตามค่าประสิทธิภาพของการกำจัดค่าซีโอดีและของแข็งแขวนลอยด้วยกระบวนการเฟนตันเพียงอย่างเดียวยังไม่ผ่านเกณฑ์มาตรฐานน้ำทิ้งของโรงงานอุตสาหกรรมจึงยังไม่สามารถปล่อยน้ำที่ผ่านกระบวนการบำบัดแล้วลงสู่แหล่งน้ำตามธรรมชาติได้ ซึ่งเป็นผลมาจากการตะกอนเหล็กที่อยู่ในรูป  $\text{Fe}^{3+}$  และ  $\text{Fe}^{2+}$  ส่งผลให้เกิดกลุ่มตะกอนขนาดเล็กขึ้น และก่อให้เกิดปัญหาสีของน้ำทึ้งและค่าของของแข็งแขวนลอยที่ไม่ผ่านเกณฑ์มาตรฐาน ดังนั้นจึงได้นำ 2 กระบวนการ ทำการศึกษาเพื่อหาประสิทธิภาพในการบำบัดเพื่อให้ค่าของน้ำทึ้งที่ได้ตามมาตรฐานและสามารถปล่อยลงสู่แหล่งน้ำตามธรรมชาติได้

จากภาพ 4.7 แสดงให้เห็นว่าประสิทธิภาพการกำจัดค่าซีโอดีของอัตราส่วน  $\text{H}_2\text{O}_2:\text{Fe}^{2+}$  1,000:1,000 mg/L: mg/L และ 1,000:7,500 mg/L: mg/L ใกล้เคียงกัน และเมื่อวิเคราะห์จากค่าของแข็งละลายน้ำทั้งหมดที่เพิ่มขึ้นเมื่อมีการเพิ่มปริมาณเฟอร์รัสซัลเฟตในอัตราส่วนสารเคมีเฟนตัน จะพบร่วมกับปริมาณเฟอร์รัสซัลเฟต 7,500 mg/L ส่งผลให้เกิดของแข็งละลายน้ำเป็นจำนวนมาก ทั้งในภาพที่ 4.7 (ก) และ (ข)



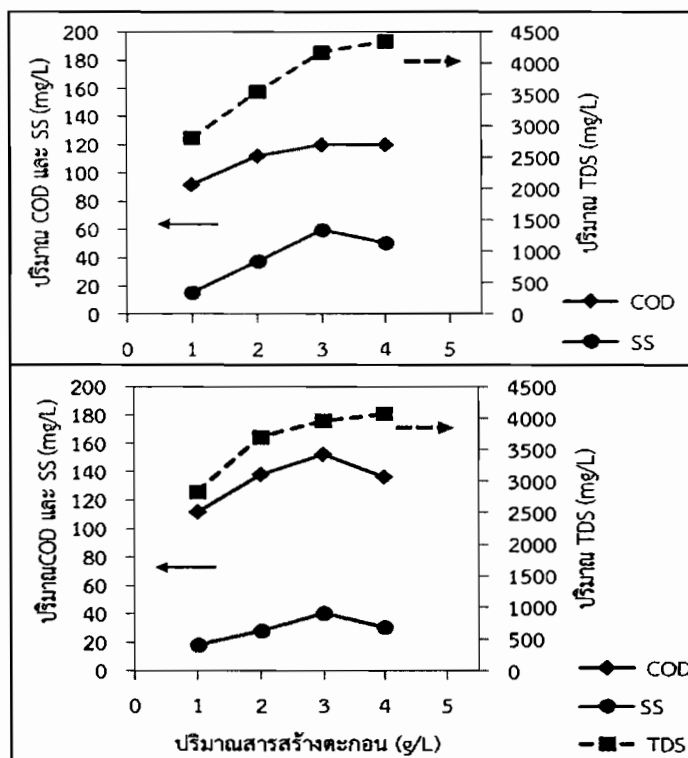
ภาพที่ 4.6 ปริมาณค่าซีโอดี (COD) ของแข็งแขวนลอย (SS) และของแข็งละลายน้ำทั้งหมด (TDS) หลังผ่านการบำบัดด้วยกระบวนการ芬顿 (ก) วัดค่าหลังการตกรตะกอน 30 นาที (ข) วัดค่าทันที สภาวะ pH 3 ระยะเวลาการเกิดปฏิกิริยา 120 นาที



ภาพที่ 4.7 อิทธิพลของปริมาณสารสร้างตะกอนของปฏิกิริยาเฟนตันร่วมกับการสร้างตะกอน (ก) ประสิทธิภาพการกำจัดค่าซีโอดี (ข) การเพิ่มขึ้นของแข็งละลายน้ำทั้งหมดและ (ค) ประสิทธิภาพการกำจัดของแข็งแขวนลอย สภาวะ pH 3 ระยะเวลาการเกิดปฏิกิริยา 120 นาที

#### 4.5 การศึกษาประสิทธิภาพการบำบัดด้วยกระบวนการ芬顿ร่วมกับการสร้างตะกอน

ผลการศึกษาอิทธิพลของปฏิกิริยา芬顿ร่วมกับการเติมสารสร้างตะกอนต่อประสิทธิภาพการบำบัดและการตากตะกอน ดังภาพที่ 4.8 แสดงให้เห็นว่าปริมาณสารสร้างตะกอนมีผลต่อการกำจัดค่าซีโอดีและของแข็งแขวนลอย โดยที่ค่าซีโอดีและของแข็งแขวนลอยน้อยที่สุดที่ความเข้มข้นสารสร้างตะกอนเท่ากับ  $1 \text{ g/L}$  สำหรับแคลเซียมออกไซด์สามารถลดค่าซีโอดีและของแข็งแขวนลอยได้สูงสุดถึง  $92 \pm 5.65$  และ  $15.5 \pm 9.19 \text{ mg/L}$  ตามลำดับ สำหรับแคลเซียมออกไซด์จากเปลือกไข่อยู่ที่  $112 \pm 00$  และ  $18.5 \pm 6.36 \text{ mg/L}$  ตามลำดับ ทั้งนี้สำหรับค่าของแข็งละลายน้ำทั้งหมดมีอัตราที่เพิ่มขึ้นอย่างที่สุด ที่ความเข้มข้นสารสร้างตะกอนแคลเซียมออกไซด์และแคลเซียมออกไซด์จากเปลือกไข่ที่  $1 \text{ g/L}$  เท่ากับ  $2,812 \pm 130.10$  และ  $2,835 \pm 306.88 \text{ mg/L}$  ตามลำดับ



ภาพที่ 4.8 ปริมาณค่าซีโอดี (COD) ของแข็งแขวนลอย (SS) และของแข็งละลายน้ำทั้งหมด

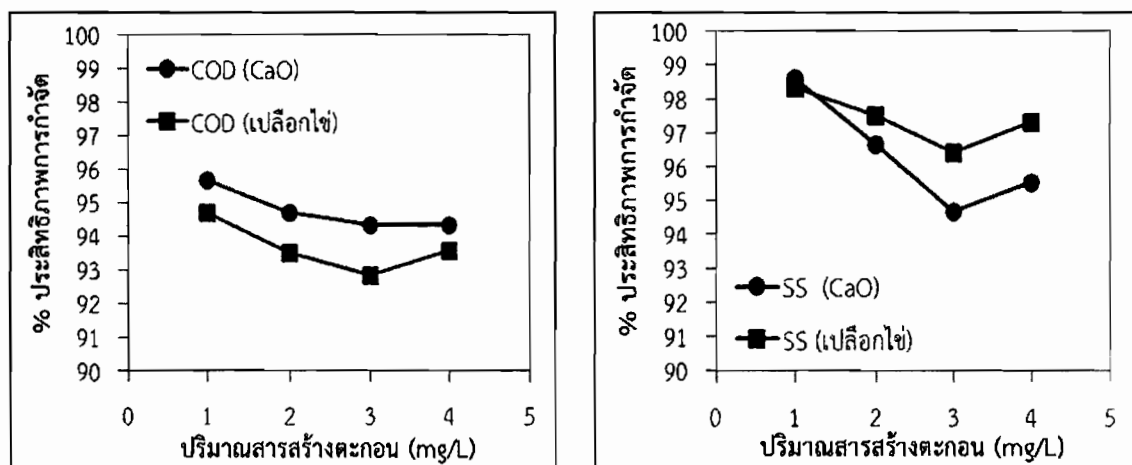
(TDS) หลังผ่านการบำบัดด้วยกระบวนการ芬顿ร่วมกับการสร้างตะกอน

(ก) แคลเซียมออกไซด์ (x) แคลเซียมออกไซด์จากเปลือกไข่

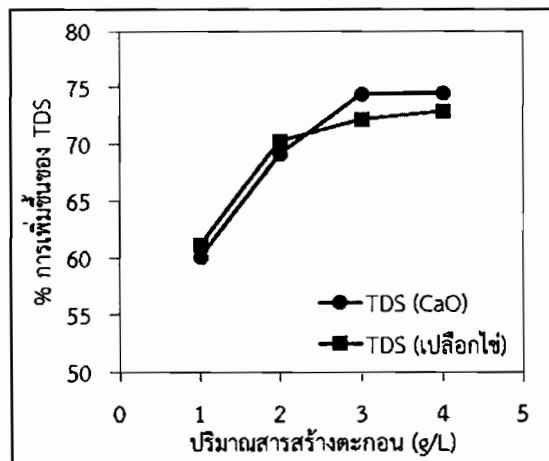
ประสิทธิภาพการกำจัดค่าซีโอดีและของแข็งแขวนลอยของสภาวะที่เหมาะสมของการบำบัดด้วยกระบวนการ芬顿ร่วมกับสารสร้างตะกอนทั้งสองชนิด พบร่วมกับประสิทธิภาพที่ใกล้เคียงกันมาก เนื่องจาก

แคลเซียมออกไซด์ที่เตรียมขึ้นจากเปลือกไข่ มีลักษณะทางโครงสร้างที่ใกล้เคียงกับสารเคมีแคลเซียมออกไซด์ (นุชนา ตั้งบริบูรณ์ และ ณัทธิ สอนประสาร, 2552) ทำให้ประสิทธิภาพในการเข้าทำปฏิกิริยากับสารอินทรีย์ในน้ำเสียเกิดขึ้นได้ดีในปริมาณความเข้มข้นของสารสร้างตะกอนที่เหมาะสม

ผลการทดลองแสดงให้เห็นว่า การเติมสารสร้างตะกอนทั้งสองชนิดหลังสุดการทำปฏิกิริยาเฟนตันทำให้ประสิทธิภาพการทำจัดซีโอดีและของแข็งแหวนโลຍสูงขึ้น ภายใต้สภาวะที่ pH 3 อัตราส่วนสารเฟนตันคือ 1,000:1,000 mg/L: mg/L และเมื่อเพิ่มค่า pH เอชเข้าสู่การสร้างตะกอนพบว่า สารแคลเซียมออกไซด์ ที่ความเข้มข้น 1 g/L มีเบอร์เซ็นต์การทำจัดค่าซีโอดีและของแข็งแหวนโลຍสูงที่สุด เท่ากับ  $95.66 \pm 0.26\%$  และ  $98.63 \pm 0.81\%$  ตามลำดับ ขณะที่สารแคลเซียมออกไซด์จากเปลือกไข่เผาที่ความเข้มข้น 1 g/L มีประสิทธิภาพในการการทำจัดค่าซีโอดีและของแข็งแหวนโลຍสูงที่สุด เท่ากับ  $94.81 \pm 0.00\%$  และ  $98.35 \pm 0.57\%$  ตามลำดับ

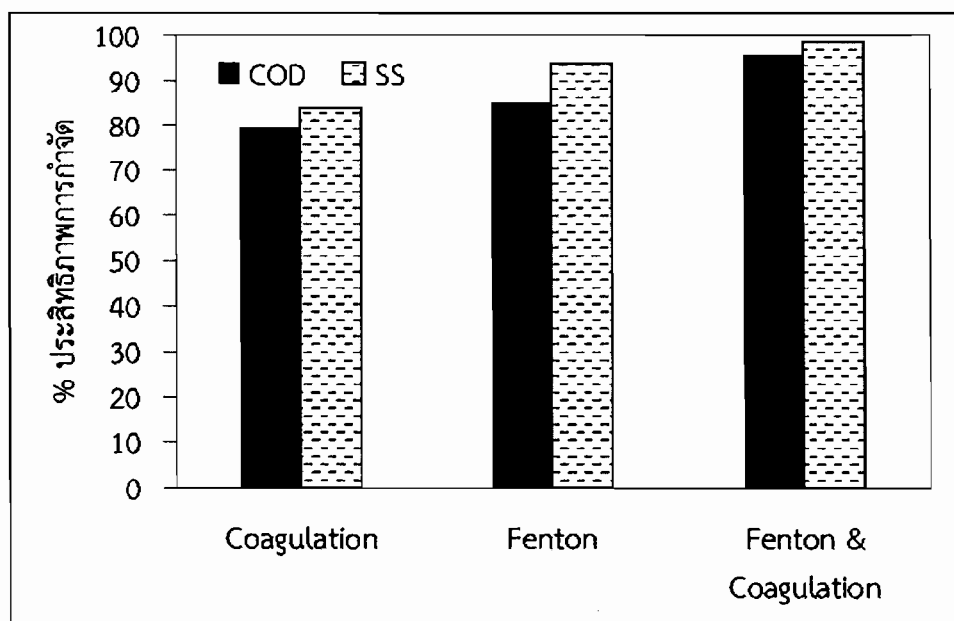


ภาพที่ 4.9 อิทธิพลของสารสร้างตะกอนต่อประสิทธิภาพการทำบัดค่าซีโอดีและของแข็งแหวนโลຍที่ผ่านการทำบัดด้วยกระบวนการเฟนตันร่วมกับการสร้างตะกอน



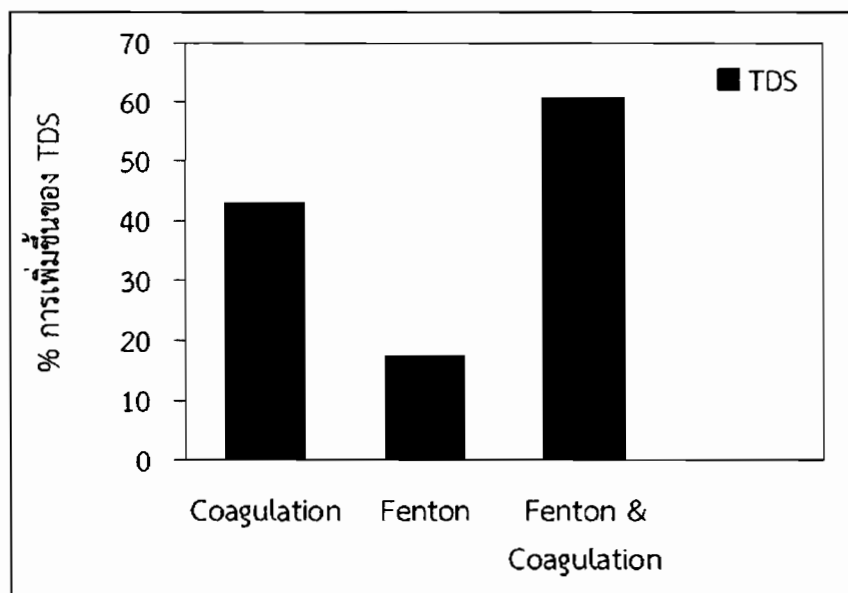
ภาพที่ 4.10 อิทธิพลของสารสร้างตะกอนต่อการเพิ่มขึ้นของแข็งละลายน้ำทั้งหมดที่ผ่านการบำบัดด้วยกระบวนการ Fenntanร่วมกับการสร้างตะกอน

เมื่อทำการเปรียบเทียบประสิทธิภาพของการสร้างตะกอน กระบวนการ Fenntan และกระบวนการ Fenntanร่วมกับการสร้างตะกอน ในการกำจัดค่าซีโอดีและของแข็งแขวนลอยดังแสดงในภาพที่ 4.11 พบว่าการสร้างตะกอนที่สภาวะเหมาะสมและปฏิกริยา Fenntanที่สภาวะเหมาะสม มีประสิทธิภาพในการกำจัดค่าซีโอดีสูงเท่ากับ  $79.62 \pm 1.23\%$  คงเหลือ  $326 \pm 19.79\text{ mg/L}$  และ  $85.28 \pm 2.75\%$  คงเหลือ  $212 \pm 39.59\text{ mg/L}$  ตามลำดับ และประสิทธิภาพของการกำจัดของแข็งแขวนลอยคงเหลือเท่ากับ  $177 \pm 24.04\text{ mg/L}$  คิดเป็น  $83.85 \pm 1.05\%$  และ  $54 \pm 4.95\text{ mg/L}$  คิดเป็น  $93.73 \pm 0.58\%$  ตามลำดับ ถึงแม้ประสิทธิภาพในการกำจัดค่าซีโอดีและของแข็งแขวนลอยจะสูงมากกว่า 80% ขึ้นไป แต่ยังไม่เพียงพอเมื่อเทียบกับกระบวนการ Fenntan กับการสร้างตะกอนที่มีประสิทธิภาพสูงที่สุด ที่สภาวะ pH 3 อัตราส่วนสาร Fenntan คือ  $1,000:1,000\text{ mg/L: mg/L}$  ระยะเวลาการเกิดปฏิกริยา 120 นาที และปริมาณแคลเซียมออกไซด์ 1 g/L ระยะเวลาการตกตะกอน 30 นาที ดังภาพ 4.11 จากการทดลองพบว่าประสิทธิภาพการกำจัดค่าซีโอดีและของแข็งแขวนลอยสูงที่สุด เท่ากับ  $92 \pm 5.65\text{ mg/L}$  คิดเป็น  $95.66 \pm 0.26\%$  และ  $15.5 \pm 9.19\text{ mg/L}$  คิดเป็น  $98.63 \pm 0.81\%$  ตามลำดับสำหรับกระบวนการ Fenntan ร่วมกับการสร้างตะกอน สอดคล้องกับ Ma. and Xia.(2009) ทำการทดลองการกำจัดค่าซีโอดีและของแข็งแขวนลอยด้วยกระบวนการ Fenntan ร่วมกับการสร้างตะกอน และมีประสิทธิภาพการกำจัดค่าซีโอดีและของแข็งแขวนลอยเท่ากับ 93.4 % และ 87.2 % ตามลำดับ



ภาพที่ 4.11 การเปรียบเทียบประสิทธิภาพการกำจัดค่าซีโอดีและของแข็งแขวนลอย ที่สภาวะ  
Coagulation: pH 8 แคลเซียมออกไซด์ 4 g/L, Fenton:pH 3 อัตราส่วน  
 $H_2O_2:Fe^{2+}$  เท่ากับ 1,000:1,000 mg/L: mg/L เวลาตกตะกอน 30 นาที, Fenton  
& Coagulation: อัตราส่วน  $H_2O_2:Fe^{2+}$  เท่ากับ 1,000:1,000 mg/L: mg/L  
แคลเซียมออกไซด์ 1 g/L เวลาตกตะกอน 30 นาที

การเพิ่มขึ้นของของแข็งละลายน้ำทั้งหมด (TDS) จากการเปรียบเทียบ ภาพที่ 4.12 แสดงให้เห็นว่ากระบวนการ芬ตันร่วมกับการสร้างตะกอนก่อให้เกิดปริมาณของของแข็งละลายน้ำทั้งหมดสูงที่สุดเท่ากับ  $60.76 \pm 1.81\%$  คาดว่าเกิดจากปริมาณของไอออนเหล็กที่ละลายน้ำและปริมาณของแคลเซียมออกไซด์ที่คงเหลืออยู่ในรูป ( $Ca(OH)_2$ ) จึงส่งผลให้ค่าของของแข็งละลายน้ำมีค่าการเพิ่มขึ้นที่สูง รองลงมาคือกระบวนการสร้างตะกอน ที่ปริมาณสารแคลเซียมออกไซด์ 4 g/L พบว่ามีการเพิ่มขึ้นของของแข็งละลายน้ำทั้งหมดเท่ากับ  $42.80 \pm 3.45\%$  สำหรับกระบวนการ芬ตันที่อัตราส่วน  $H_2O_2:Fe^{2+}$  1,000:1,000 mg/L: สภาวะ pH 3 ระยะเวลาเกิดปฏิกิริยา 120 นาที และระยะเวลาตกตะกอน 30 นาทีมีการเพิ่มขึ้นของของแข็งละลายน้ำทั้งหมดน้อยที่สุดที่  $17.33 \pm 0.56\%$  ทั้งนี้การเพิ่มขึ้นของของแข็งแขวนลอยในสภาวะที่เหมาะสมพบว่าไม่ส่งผลต่อค่ามาตรฐานน้ำทึ้งของกรมโรงงานอุตสาหกรรม ซึ่งอยู่ในค่าที่มากเกินค่ามาตรฐาน



ภาพที่ 4.12 การเปรียบเทียบเปอร์เซ็นต์การเพิ่มขึ้นของของแข็งละลายน้ำทั้งหมดที่สภาวะ  
 Coagulation: pH 8 แคลเซียมออกไซด์ 4g/L, Fenton:pH 3 อัตราส่วน  
 $H_2O_2:Fe^{2+}$  เท่ากับ 1,000:1,000 mg/L: mg/L เวลาตกตะกอน 30 นาที, Fenton  
 & Coagulation: อัตราส่วน  $H_2O_2:Fe^{2+}$  เท่ากับ 1,000:1,000 mg/L:mg/L  
 แคลเซียมออกไซด์ 1g/L เวลาตกตะกอน 30 นาที

#### 4.6 การคำนวณต้นทุนสารเคมีในการบำบัดน้ำเสีย

ตารางที่ 4.3 ราคาน้ำเสียที่ใช้ในการบำบัด (ราคา commercial grade ของ  $H_2O_2$  และ  $FeSO_4$ )

สารเคมี	สภาวะที่เหมาะสม (กรัมต่อลิตร)	ราคา (บาทต่อกิโลกรัม)	ค่าใช้จ่ายในการบำบัด(บาท ต่อลูกบาศก์เมตร)
$H_2O_2$	1	17	17
$Fe_2SO_4$	1	9	9
	4	3	12
Calcium oxide	1	3	3
	-	18.6	-
Sulfuric acid	-	48	-
Sodium hydroxide	-		

ที่มา: สุเทพ สิริวิทยาปกรณ์ และวีระนุช บุญรุ่ง, 2553

จากการคำนวณต้นทุนของราคาน้ำเสียพบว่าค่าใช้จ่ายในการบำบัดด้วยกระบวนการ芬腾เพียงอย่างเดียวสูงกว่าค่าใช้จ่ายของการบำบัดด้วยกระบวนการสร้างตะกอน โดยพบว่ากระบวนการ芬腾ตันที่เหมาะสมที่อัตราส่วนสารเคมี  $H_2O_2 : Fe^{2+}$  เท่ากับ 1,000:1,000 mg/L:mg/L มีค่าใช้จ่ายต่อหนึ่งลูกบาศก์เมตรเท่ากับ 26 บาท สำหรับกระบวนการสร้างตะกอนด้วยสารแคลเซียมออกไซด์มีค่าใช้จ่ายในการบำบัดเท่ากับ 12 บาทต่อลูกบาศก์เมตร และสำหรับกระบวนการบำบัดของ芬腾ตันร่วมกับการสร้างตะกอนพบว่ามีค่าใช้จ่ายเท่ากับ 29 บาทต่อลูกบาศก์เมตร

สำหรับสารแคลเซียมออกไซด์จากเปลือกไข่ เนื่องจากเป็นวัสดุเหลือใช้และเงินไม่มีค่าใช้จ่าย แต่จะมีค่าใช้จ่ายในเรื่องการใช้เทคโนโลยีในการประยุกต์คือการใช้พลังงานไฟฟ้าในการเผาเปลือกไข่ ดังนั้นหากเลือกที่จะนำเปลือกไข่มาใช้ควรศึกษาในส่วนของพลังงานไฟฟ้าที่ใช้ด้วย

## บทที่ 5

### สรุปผลการวิจัยและข้อเสนอแนะ

#### 5.1 สรุปผลการวิจัย

การสังเคราะห์สารแคลเซียมออกไซด์จากเปลือกไข่เพื่อการเผาที่อุณหภูมิ  $900\text{ }^{\circ}\text{C}$  มีลักษณะทางโครงสร้างผลึกที่คล้ายกับสารแคลเซียมออกไซด์ เมื่อทำการวิเคราะห์ทางภาพด้วยเครื่อง SEM และวิเคราะห์ทางโครงสร้างด้วยเครื่อง XRD และ FTIR แล้ว

จากการทดลองหาสภาวะที่เหมาะสมของกระบวนการสร้างตะกอน โดยศึกษาปริมาณและชนิดสารสร้างตะกอนในกระบวนการสร้างตะกอน พบว่าที่ปริมาณความเข้มข้นสารสร้างตะกอนที่เหมาะสมคือ  $4\text{ mg/L}$  ที่สภาวะ pH 8 ระยะเวลาการตกตะกอน 30 นาที สำหรับแคลเซียมออกไซด์มีประสิทธิภาพในการกำจัดค่าซีโอดีสูงกว่าแคลเซียมออกไซด์จากเปลือกไข่ เท่ากับ  $72.62 \pm 1.24\%$  และ  $67.50 \pm 0.00\%$  ตามลำดับ ประสิทธิภาพการกำจัดค่าของแข็งแหวนโลຍของสารทั้งสองชนิดสูงใกล้เคียงกันเท่ากับ  $83.85 \pm 1.05\%$  และ  $83.27 \pm 2.61\%$  ตามลำดับ สำหรับการเพิ่มขึ้นของแข็งละลายน้ำทั้งหมดพบว่าที่แคลเซียมออกไซด์มีเปอร์เซ็นต์การเพิ่มขึ้นที่สูงกว่าสารแคลเซียมออกไซด์จากเปลือกไข่เท่ากับ  $42.80 \pm 3.45\%$  และ  $12.96 \pm 1.42\%$  ตามลำดับ

จากการทดลองหาสภาวะที่เหมาะสมของกระบวนการ芬顿 ภายใต้สภาวะ pH 3 ระยะเวลาการเกิดปฏิกิริยา 120 นาที และระยะเวลาการตกตะกอน 30 นาที พบว่าอัตราส่วน  $\text{H}_2\text{O}_2:\text{Fe}^{2+}$  ที่เหมาะสมเท่ากับ  $1,000:1,000\text{ mg/L:mg/L}$  มีประสิทธิภาพการกำจัดค่าซีโอดีและของแข็งแหวนโลຍเท่ากับ  $85.28 \pm 2.75\%$  และ  $93.73 \pm 0.58\%$  ตามลำดับ และมีการเพิ่มขึ้นของแข็งละลายน้ำทั้งหมด คิดเป็น  $17.33 \pm 0.56\%$  ซึ่งมีค่าต่ำสุดเมื่อเทียบกับอัตราส่วนอื่น

การศึกษาประสิทธิภาพการบำบัดด้วยกระบวนการสร้างตะกอนมีค่าประสิทธิภาพในการกำจัดค่าซีโอดีและของแข็งแหวนโลยน้อยกว่ากระบวนการ芬顿 สำหรับการเพิ่มขึ้นของแข็งละลายน้ำทั้งหมด พบว่า ที่สภาวะที่เหมาะสมของกระบวนการสร้างตะกอนมีปริมาณของแข็งละลายน้ำทั้งหมดสูงมากกว่ากระบวนการ芬顿

จากการทดลองนำทั้งสองกระบวนการในการบำบัดร่วมกันพบว่า กระบวนการ芬顿ร่วมกับการสร้างตะกอนเป็นวิธีที่มีศักยภาพสูงในการบำบัดน้ำเสียจากโรงงานผลิตแป้งมันสำปะหลัง โดยมีประสิทธิภาพในการกำจัดค่าซีโอดีและของแข็งแหวนโลยสูงสุดเท่ากับ  $95.66 \pm 0.26\%$  และ  $98.63 \pm 0.81\%$  ตามลำดับ ภายใต้สภาวะกระบวนการ芬顿ที่ pH 3 อัตราส่วน  $\text{H}_2\text{O}_2:\text{Fe}^{2+}$  เท่ากับ  $1,000:1,000\text{ mg/L:mg/L}$  ซึ่งพบว่าค่าซีโอดีที่สามารถบำบัดได้มีค่าเท่ากับ  $92 \pm 5.65\text{ mg/L}$  ค่า

ของแข็งแขวนลอยเท่ากับ  $15.5 \pm 9.19 \text{ mg/L}$  และค่าของแข็งละลายน้ำทั้งหมดประมาณ  $2,812 \pm 130.10 \text{ mg/L}$  ซึ่งผ่านเกณฑ์มาตรฐานน้ำทิ้งของกรมโรงงานอุตสาหกรรมและสามารถปล่อยลงสู่แหล่งน้ำตามธรรมชาติดี นอกจากนี้พบว่าแคลเซียมออกไซด์จากเปลือกไข่มีประสิทธิภาพในการกำจัดค่าซีโอดีและของแข็งแขวนลอยที่สูงใกล้เคียงกับแคลเซียมออกไซด์ ดังนั้นแคลเซียมออกไซด์จากเปลือกไข่มีความสามารถนำมาใช้ทดแทนสารแคลเซียมสารแคลเซียมออกไซด์ได้และการคำนวณต้นทุนในการบำบัดพบว่ากระบวนการร่วมกันของเ芬ตันร่วมกับการสร้างตะกอนมีค่าใช้จ่ายในการบำบัดสูงที่สุดเท่ากับ 29 บาทต่อลูกบาศก์เมตร รองลงมาคือกระบวนการเฟนตันเพียงอย่างเดียวมีค่าใช้จ่ายเท่ากับ 26 บาทต่อลูกบาศก์เมตร และกระบวนการสร้างตะกอนมีค่าใช้จ่ายน้อยที่สุดเท่ากับ 3 บาทต่อลูกบาศก์เมตร ทั้งนี้พบว่าค่าใช้จ่ายในการบำบัดที่สูงขึ้นส่งผลให้ประสิทธิภาพในการบำบัดสูงขึ้นเช่นกัน

## 5.2 ข้อเสนอแนะ

5.2.1 ควรทำการศึกษาสภาวะกระบวนการเฟนตันที่สภาวะอื่นๆ เช่น พีเอช ระยะเวลาการเกิดปฏิกิริยา ระยะเวลาการตกตะกอน อัตราส่วนสารเคมีเฟนตัน ที่เหมาะสมกับลักษณะของน้ำเสียในช่วงที่กว้างมากกว่านี้

5.2.2 ควรทำการศึกษาสารสร้างตะกอนชนิด PAC FeCl หรือ Polymer ชนิดอื่นๆ ร่วมด้วย

เอกสารอ้างอิง

## เอกสารอ้างอิง

กรมควบคุมมลพิษ. น้ำเสียชุมชนและระบบบำบัดน้ำเสีย. กรุงเทพฯ: โรงพยาบาลราชวิถี, 2545.

กรณิการ์ สิริสิงห์. การวิเคราะห์ค่าซีโอดี เคมีน้ำ น้ำโสโครกและการวิเคราะห์. กรุงเทพฯ: ประยุรวงศ์, 2549.

กองอนามัยสิ่งแวดล้อม. น้ำเสียและการบำบัดน้ำเสีย. กรุงเทพฯ: สำนักอนามัย, 2557.

เกษตร ประดิษฐ์วัฒนกิจ. การพัฒนาต้นแบบระบบบำบัดน้ำเสียจากโรงงานอุตสาหกรรมเป็นมันส์ สำมะหลังด้วยเทคโนโลยีดีสชาร์จทางไฟฟ้า. วิทยานิพนธ์ปริญญาวิศวกรรมศาสตร์ มหาบัณฑิต: มหาวิทยาลัยเทคโนโลยีสุรนารี, 2555.

คณะวิทยาศาสตร์. คู่มือปฏิบัติการเคมีวิเคราะห์. ชลบุรี: คณะวิทยาศาสตร์ มหาวิทยาลัยบูรพา, ม.ป.ป.

จินต์ อ่อนทัย และคณะ. รายงานวิจัยการใช้กระบวนการออกแบบชีเดชันขั้นสูงบำบัดซีโอดีในน้ำออกจากระบบชีวภาพที่บำบัดน้ำชาชีมจากกลุ่มฝังกลบมั่นคง. กรุงเทพฯ: ภาควิชา วิศวกรรมสิ่งแวดล้อม มหาวิทยาลัยเทคโนโลยีพระจอมเกล้าธนบุรี, 2547.

นาถ ภูวงศ์พา, เฉลิม เรืองวิริยะชัย และสุนนทา เลาวัณย์ศิริ. “การกำจัดสีและน้ำเสียห้องปฏิการเคมีด้วยปฏิกริยา芬腾”, วารสารวิทยาศาสตร์มหาวิทยาลัยขอนแก่น. 40(4): 1272-1284, 2555.

นุชนา ตั้งบริบูรณ์ และ ณฑทัย สอนประสาร. การสังเคราะห์สารประกอบแคลเซียมบริสุทธิ์จากเปลือกไข่เพื่อผลิตสารประกอบไฮดรอกซีอะพาไทท์. กรุงเทพฯ: ภาควิชาวิศวกรรมวัสดุ คณะวิศวกรรมศาสตร์ มหาวิทยาลัยเกษตรศาสตร์, 2552.

กัญญา พานิชพันธ์ และคณะ. “การบำบัดน้ำเสีย”, นิเวศวิทยาสิ่งแวดล้อม.

[http://www.ilmahidol.ac.th/imedia/ecology/chapter3/framechapter3\\_frame.htm](http://www.ilmahidol.ac.th/imedia/ecology/chapter3/framechapter3_frame.htm). 20 กันยายน, 2557.

วนิดา ชูอักษร. “เทคโนโลยีการกำจัดสีในน้ำเสียอุตสาหกรรม”, วารสารวิทยาศาสตร์บูรพา. 17(1): 181-191, 2555.

วันทนna เกียรติสมาน. การศึกษาความเหมาะสมของน้ำทึ้งจากโรงงานผลิตเป็นมันส์สำมะหลังมาใช้เพื่อการชลประทาน. วิทยานิพนธ์ปริญญาวิทยาศาสตร์มหาบัณฑิต: มหาวิทยาลัยเทคโนโลยีพระจอมเกล้าธนบุรี, 2543.

## เอกสารอ้างอิง (ต่อ)

- วันวิสาข์ แก้วสมบูรณ์. การบำบัดตะกั่วในน้ำเสียจากอุตสาหกรรมผลิตแบตเตอรี่โดยใช้เปลือกไข่.  
วิทยานิพนธ์ปริญญาโทวิทยาศาสตร์มหาบัณฑิต: มหาวิทยาลัยมหิดล, 2548.
- วิชัย ดำรงโภคภัณฑ์. “เทคโนโลยีการนำเปลือกไข่มาใช้ประโยชน์”, วารสารวิทยาศาสตร์ประยุกต์. 11(2): 75-83, 2555.
- ศันสนีย์ รักไทยเจริญชีพ. “ประโยชน์จากการแยกแร่ดิฟเฟρกัชน์ (XRD) ในงานทดสอบวัตถุดิบและผลิตภัณฑ์”, กรมวิทยาศาสตร์บริการ. 63(19): 38-40, 2558.
- โศรดา ชุนโทร และจิรสา กรงกรด. “สารเคมีสำหรับบำบัดน้ำเสีย”, วารสารกรมวิทยาศาสตร์บริการ. 47(151): 16-18, 2547.
- สริญญา ชวนนร. “กล้องจุลทรรศน์อิเล็กตรอนแบบส่องกระดาษและการประยุกต์ใช้ในงานวัสดุศาสตร์”, วารสารวิทยาศาสตร์ประยุกต์. 11(2): 51-58, 2555.
- สำนักงานบริหารจัดการน้ำ. “ปูนขาว ไลม์ (lime) ตอนที่ 1”, เทคโนโลยี.  
<http://202.129.59.73/tn/August55/lime1.htm>. 20 กันยายน, 2557.
- สำนักงานเลขานุการศูนย์เครื่องมือวิทยาศาสตร์. “มาทำความรู้จักกับเครื่อง FT-IR กันเถอะ”, sec-agazine. <http://www.sec.psu.ac.th/home/ebook/sec-magazine-2557-04-ftir/sec-magazine-2557-04-ftir.pdf>. 25 กันยายน, 2557.
- สุเทพ ศิริวิทยาปกรณ์ และวีระนุช บุญรุ่ง. “การทำความรู้จักกับเครื่อง FT-IR กันเถอะ”, วิศวกรรมสารมหा�วิทยาลัยเกษตรศาสตร์. 23(72): 10-16, 2553.
- โสภิตา บุญเอนกทรัพย์. การศึกษาคุณสมบัติน้ำทึ้งในขั้นตอนกระบวนการผลิตแป้งมันสำปะหลัง.  
กรุงเทพฯ:สถาบันพัฒนาและฝึกอบรมโรงงานต้นแบบ, 2541.
- อัจฉรา ดวงเดือน. รายงานวิจัยการกำจัดโลหะหนักในน้ำเสียโดยใช้เปลือกไข่และถ้าแกลบดำ.  
กรุงเทพฯ: มหาวิทยาลัยเกษตรศาสตร์, 2545.
- Aldes Lesbani and et al. “Preparation of Calcium Oxide from Achatina fulica as catalyst for production of Biodiesel from wastecooking oil”, IndoJChem. 13(2): 176-180, 2013.
- Crina Den and et al. “Spectroscopical characterization of precursors for Calcium Hydroxide synthesis”, Physica. 32(5): 308-312, 2001.

### เอกสารอ้างอิง (ต่อ)

- Guo, J.S. et al. "Treatment of landfill leachate using a combined stripping, Fenton, SBR, and coagulation process", **Hazardous Materials.** 178(5): 699–705, 2010.
- Jin Li., Zhaokun Luan, Lian Yu and et al. "Pretreatment of acrylic fiber manufacturing wastewater by the Fenton process", **Journal of Desalination.** 284(1): 62-65, 2012.
- M.A. García-Morales and et al. "Treatment of soft drink process wastewater by ozonation, ozonation-H<sub>2</sub>O<sub>2</sub> and ozonation-coagulation processes", **Journal of Environmental Science and Health.** 47(14): 22–30, 2012.
- Perdigón-Melón, J.A. et al. "Coagulation-Fenton coupled treatment for ecotoxicity reduction in highly polluted industrial wastewater", **Hazardous Materials.** 181(1-3): 127-132, 2010.
- Tsai, W.T. and et al. "Characterization and Adsorption Properties of Eggshells and Eggshell Membrane", **Bioresour Technol.** 97(9): 488-493, 2006.
- Ma, X. J. and Xia, H. L. "Treatment of water-based printing ink wastewater by Fenton process combined with coagulation", **Journal of Hazardous Materials.** 170(2-3): 386–390, 2009.
- Xiaojun Wang, sili Chen, Xiaoyang Gu and et al. "Pilot study on the advanced treatment of landfill leachate using a combined coagulation, fenton oxidation and biological aerated filter process", **Waste Management.** 29(2): 1354–1358, 2009.
- Yanya Wu, Shaoqi Zhou, Fanghui and et al. "Removal of humic substances from landfill leachate by Fenton oxidation and coagulation", **Process Safety and Environmental Protection.** 88(6): 276-284, 2010.
- Yoon, J. et al. "The characteristics of coagulation of Fenton reaction in the removal of landfill leachate organics", **Water Sci Techno.** 38(2): 209–214, 1998.

ภาคผนวก

ภาคผนวก ก  
ข้อมูลที่ได้จากการทดลอง

ตารางที่ ก.1 ลักษณะสมบัติของน้ำเสียที่ใช้ในการทดลอง (ค่าจากโรงงานที่ทำการศึกษา)

ลักษณะสมบัติ	น้ำที่ผ่านการบำบัดด้วย UASB	มาตรฐานน้ำทิ้ง
สี	ขาวขุ่น	ไม่เป็นพิ่งรังเกียจ
กลิ่น	มีกลิ่นเหม็นปานกลาง	ไม่เป็นพิ่งรังเกียจ
อุณหภูมิ(°C)	28	ไม่เกิน 40
พีเอช	6 - 7	5.5-9.0
ค่าความเป็นด่าง (mg/L)	1,146	-
ค่าความเป็นกรด (mg/L)	124	-
ค่าซีโอดี (mg/L)	1,392	120
ค่าปริมาณตะกอน $V_{30}$ (mg/L)	13.8	-

ที่มา: กรมควบคุมมลพิษ, 2545

ตารางที่ ก.2 ค่าซีโอดี(COD) ของแข็งแขวนลอย(SS) และของแข็งละลายน้ำทั้งหมด(TDS) ใน การบำบัดด้วยกระบวนการสร้างตะกอนของแคลเซียมออกไซด์ (วิเคราะห์เมื่อวันที่ 16-17 มีนาคม 2558)

ความเข้มข้น (g/L)	COD (mg/L)	SS (mg/L)	TDS (mg/L)
0	1,600±00	1,094±77.78	1,350±28.28
1	440±169.70	321.50±19.09	1,540±48.08
2	466±48.08	267±33.94	1,453±15.55
3	412±40.59	221±28.28	1,364±22.62
4	326±19.79	177±24.04	2,366±192.33

ตารางที่ ก.3 ประสิทธิภาพในการกำจัดค่าซีโอดี(COD) ของแข็งแหวนโลย(SS) และการเพิ่มขึ้นของแข็งละลายน้ำทั้งหมด(TDS) ในการบำบัดด้วยกระบวนการสร้างตะกอนของแคลเซียมออกไซด์ (วิเคราะห์เมื่อวันที่ 16-17 มีนาคม 2558)

ความเข้มข้น (g/L)	% COD	% SS	% TDS
1	72.50±10.60	70.60±0.34	12.26±4.57
2	70.87±3.00	75.64±1.37	7.07±2.94
3	74.25±2.47	79.65±4.03	1.03±0.43
4	79.62±1.23	83.85±1.05	42.80±3.45

ตารางที่ ก.4 ค่าซีโอดี(COD) ของแข็งแหวนโลย(SS) และของแข็งละลายน้ำทั้งหมด(TDS) ใน การบำบัดด้วยกระบวนการสร้างตะกอนของแคลเซียมออกไซด์จากเปลือกไข่ (วิเคราะห์เมื่อวันที่ 16-17 มีนาคม 2558)

ความเข้มข้น(g/L)	COD(mg/L)	SS(mg/L)	TDS(mg/L)
0	1,600±00	1,094±77.78	1,350±28.28
1	896.5±61.51	464±11.31	1,635±15.55
2	620±28.28	342±2.82	1,699±7.07
3	560±00	286.5±0.70	1,745.5±10.60
4	520±00	182±15.55	1,551±7.07

ตารางที่ ก.5 ประสิทธิภาพในการกำจัดค่าซีโอดี(COD) ของแข็งแหวนโลย(SS) และการเพิ่มขึ้นของแข็งละลายน้ำทั้งหมด(TDS) ในการบำบัดด้วยกระบวนการสร้างตะกอนของแคลเซียมออกไซด์จากเปลือกไข่ (วิเคราะห์เมื่อวันที่ 16-17 มีนาคม 2558)

ความเข้มข้น (g/L)	% COD	% SS	% TDS
1	43.96±3.84	57.44±4.06	17.42±2.51
2	61.25±1.76	68.66±1.96	20.54±1.33
3	65.00±00	73.74±1.93	22.65±2.09
4	67.50±00	83.27±2.61	12.96±1.42

ตารางที่ ก.6 ค่าและประสิทธิภาพการกำจัดซีโอดี (COD) ของแข็งแχวนโลย (SS) และการเพิ่มขึ้นของแข็งละลายน้ำทั้งหมด (TDS) ในการบำบัดด้วยกระบวนการ芬ตันโดยทำการวัดค่าทันที (วิเคราะห์เมื่อวันที่ 22 มีนาคม 2558)

วัดค่าทันที	อัตราส่วน (mg/L : mg/L)			
	00:00	7,500:1,000	1,000:1,000	1,000:7,500
COD (mg/L)	1,860±367.69	1,730±70.71	1,790±141.42	1,670±212.13
% การกำจัด	-	6.99±3.80	3.76±7.60	10.22±11.40
SS (mg/L)	1,094±77.78	929.5±263.75	1,159.5±236.88	1,941.5±333.04
% การกำจัด	-	15.03±24.10	-5±21.65	-77±30.44
TDS (mg/L)	1,350±28.28	2,053±140.00	2,172±268.70	4,449±456.79
% การเพิ่มขึ้น	-	34.09±4.49	37.36±7.75	69.49±3.13

ตารางที่ ก.7 ค่าและประสิทธิภาพการกำจัดซีโอดี (COD) ของแข็งแχวนโลย (SS) และการเพิ่มขึ้นของแข็งละลายน้ำทั้งหมด (TDS) ในการบำบัดด้วยกระบวนการ芬ตันโดยวัดค่าหลังจากตั้งทิ้งไว้ 30 นาที (วิเคราะห์เมื่อวันที่ 29 มีนาคม 2558)

ตกละกอน 30 นาที	อัตราส่วน (mg/L : mg/L)			
	00:00	7,500:1,000	1,000:1,000	1,000:7,500
COD (mg/L)	1,440±00	940±28.28	212±39.59	240±00
% การกำจัด	-	34.72±1.96	85.27±2.75	83.33±00
SS (mg/L)	853±00	99.5±2.12	53.5±4.95	92±4.24
% การกำจัด	-	83.33±0.24	93.73±0.58	89.21±0.49
TDS (mg/L)	1,540±00	1,865±106.06	1,863±12.72	4,351±103.23
% การเพิ่มขึ้น	-	17.29±4.70	17.33±0.56	64.59±0.84

ตารางที่ ก.8 ค่าซีโอดี (COD) ของแข็งแขวนลอย (SS) และของแข็งละลายน้ำทั้งหมด (TDS) ใน การบำบัดด้วยกระบวนการ芬顿ร่วมกับการสร้างตะกอน อัตราส่วนสาร芬顿 ( $H_2O_2:Fe^{2+}$ ) 1,000:1,000 mg/L:mg/L (วิเคราะห์เมื่อวันที่ 23-24 เมษายน 2558)

แคลเซียมออกไซด์			
ความเข้มข้น (g/L)	COD(mg/L)	SS(mg/L)	TDS(mg/L)
0	2,120±00	1,131±00	1,102±00
1	92±5.65	15.5±9.19	2,812±130.70
2	112±00	37.5±20.50	3,551±227.68
3	120±00	60±38.18	4,182±132.93
4	120±00	50.5±31.81	4,354±107.48

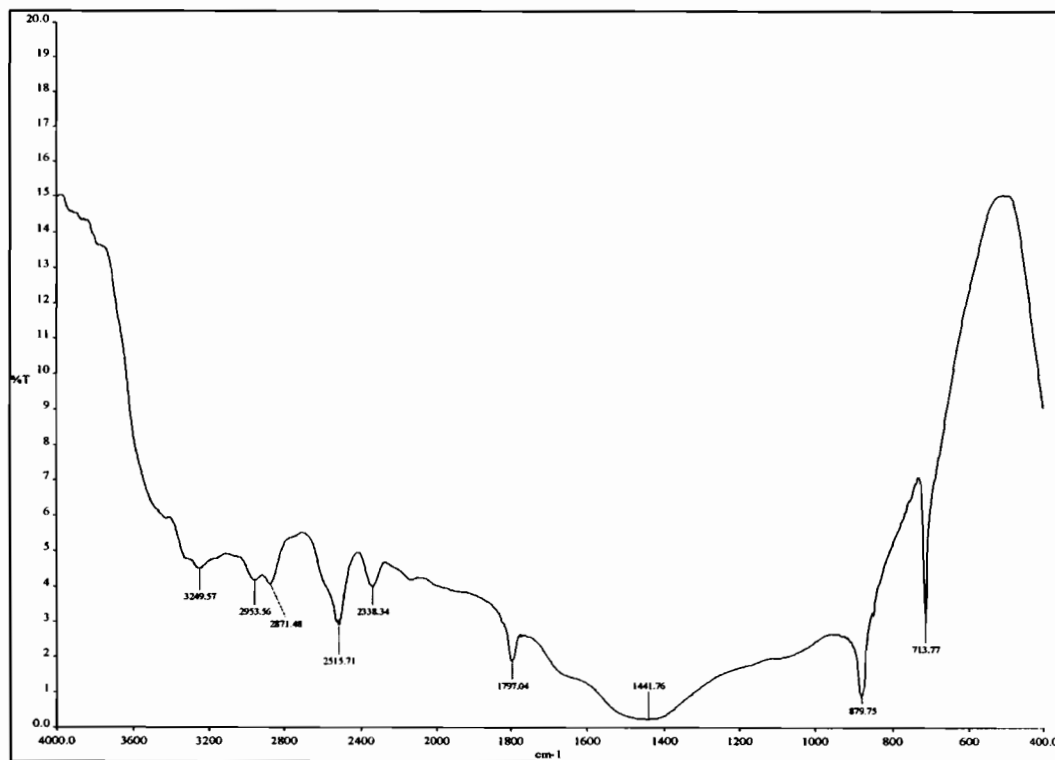
แคลเซียมออกไซด์จากเปลือกไข่			
ความเข้มข้น (g/L)	COD(mg/L)	SS(mg/L)	TDS(mg/L)
0	2,160±00	1,120±00	1,230±00
1	112±00	18.5±6.36	2,835±306.88
2	138±8.48	28±4.24	3,709±57.98
3	152±00	40.5±17.67	3,965±813.17
4	136±11.31	30.5±10.60	4,071±414.36

ตารางที่ ก.9 ประสิทธิภาพในการกำจัดค่าซีโอดี (COD) ของแข็งแχวนลอย (SS) และการเพิ่มขึ้นของแข็งละลายน้ำทั้งหมด ในการบำบัดด้วยกระบวนการ芬顿ที่อัตราส่วนสาร芬顿 ( $H_2O_2:Fe^{2+}$ ) 1,000:1,000 mg/L:mg/L ร่วมกับการสร้างตะกอน (วิเคราะห์เมื่อวันที่ 23-24 เมษายน 2558)

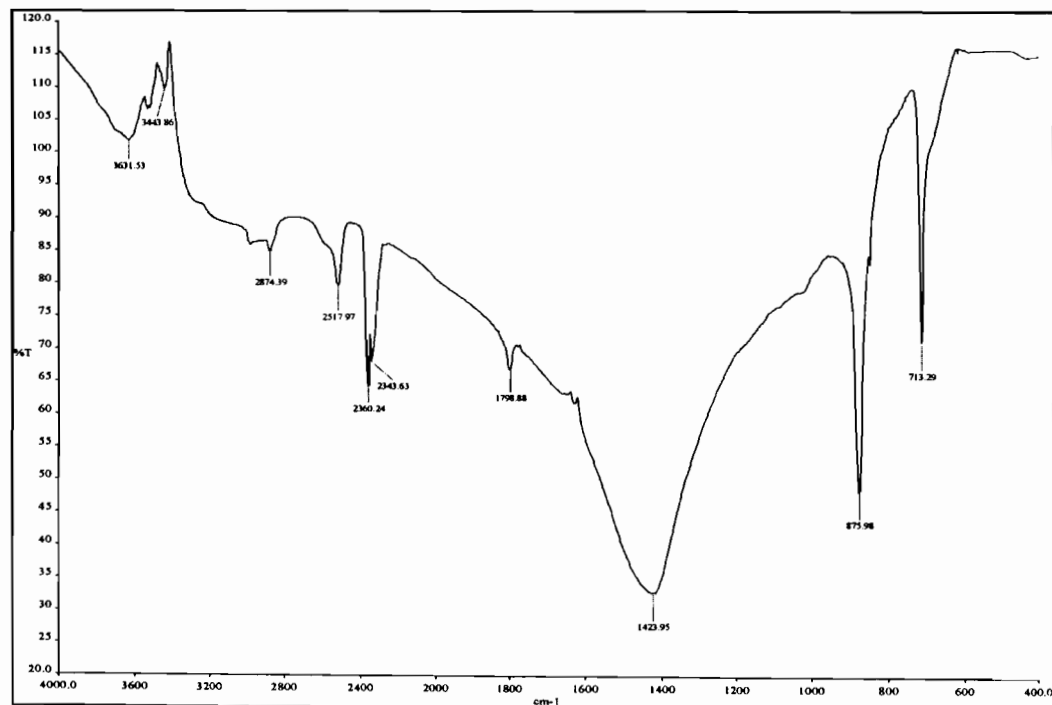
แคลเซียมออกไซด์			
ความเข้มข้น (g/L)	% COD	% SS	% TDS
1	95.66±0.26	98.63±0.81	60.76±1.81
2	94.71±0.00	96.68±1.81	68.90±1.99
3	94.34±0.00	94.69±3.37	73.63±0.83
4	94.34±0.00	95.53±2.81	74.68±0.62

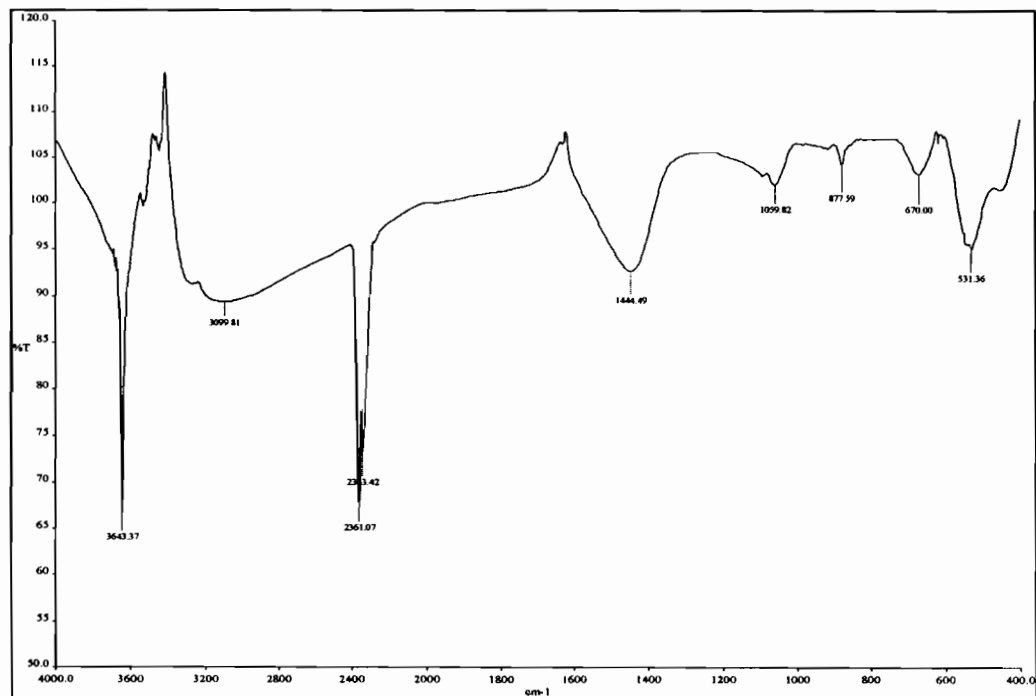
แคลเซียมออกไซด์จากเปลือกไข่			
ความเข้มข้น (g/L)	% COD	% SS	% TDS
1	94.81±0.00	98.34±0.56	56.35±4.72
2	93.61±0.39	97.50±0.37	66.83±0.51
3	92.96±0.00	96.38±1.57	68.31±6.49
4	93.70±0.52	97.27±0.94	69.62±3.09



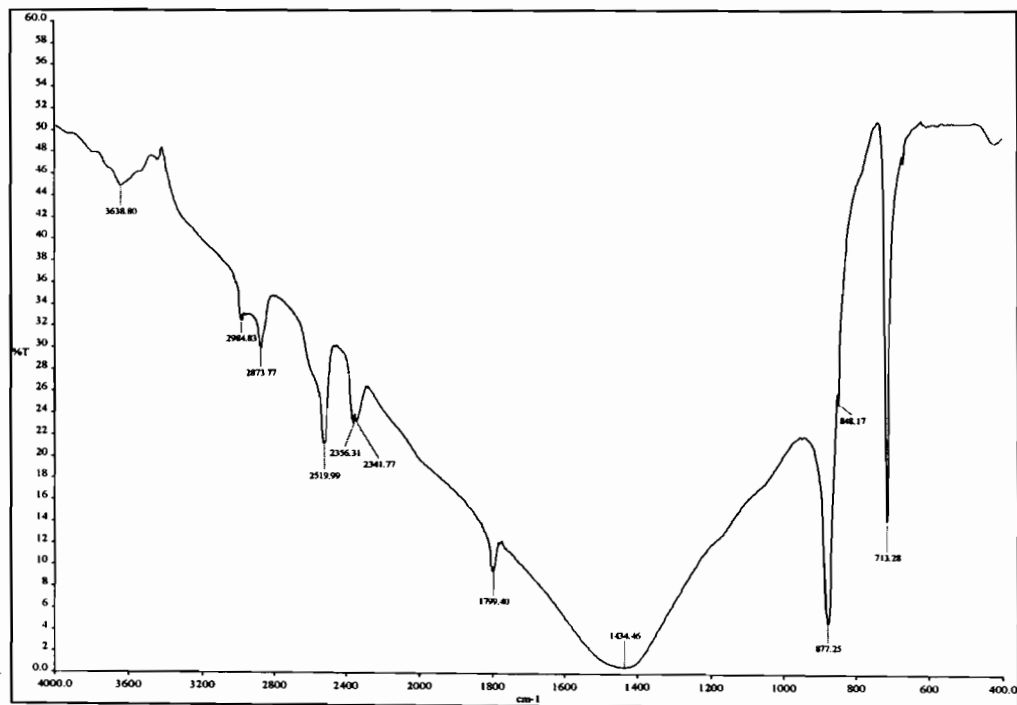
ภาพที่ ก.1 สเปกตรัมของเปลือกไข่ดิบ



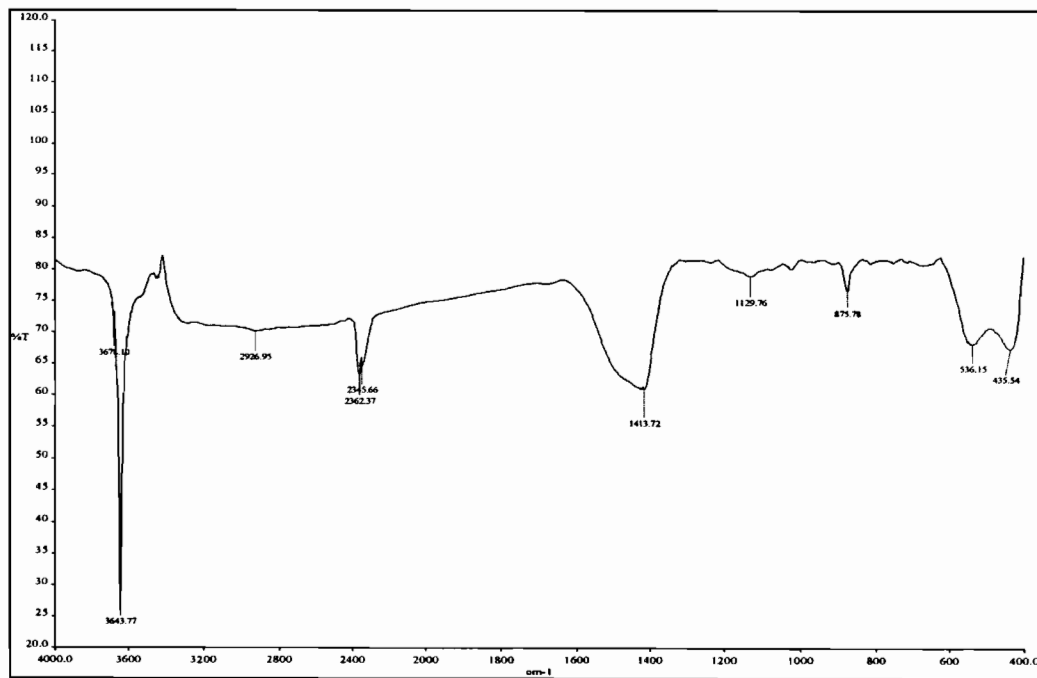
ภาพที่ ก.2 สเปกตรัมของเปลือกไข่เผาที่อุณหภูมิ 500 องศาเซลเซียส 1 ชั่วโมง



ภาพที่ ก.3 สเปกตรัมของเพลีอิอกไบ์ເພາທີອຸນຫະນີ 700 ອົງສາເຊລເຊີຍສ 1 ຊ້ວໂມງ



ภาพที่ ก.4 สเปກตรัมของเพลีอิอกไบ์ເພາທີອຸນຫະນີ 900 ອົງສາເຊລເຊີຍສ 1 ຊ້ວໂມງ



ภาพที่ ก.5 สเปกตรัมของแคลเซียมออกไซด์ (Calcium Oxide,CaO)

ตารางที่ ก.10 ข้อมูลการเลี้ยวเบนรังสีของเครื่อง XRD

ตัวอย่าง	อุณหภูมิ	สารประกอบ	2θ				
			23.118°	29.500°	31.574°	36.056°	39.517°
JCPDS data	-	MgCaCO <sub>3</sub> (เลขที่อ้างอิง 89-1304) CaCO <sub>3</sub> (เลขที่อ้างอิง 85-1108) CaO (เลขที่อ้างอิง 78-0649) เปลือกไข่บด ก่อนการเผา	23.118°	29.500°	31.574°	36.056°	39.517°
เปลือกไข่	-	500°C 700°C 900°C	23.101° 23.15° 23.17°	29.466° 29.53° 29.53°	31.516° 31.61° 31.53°	36.039° 36.09° 36.09°	39.489° 39.57° 39.53°

ภาคผนวก ข  
ตัวอย่างการคำนวณ

## การหาความเข้มข้นของไฮโดรเจนเปอร์ออกไซด์

สารละลายน้ำไฮโดรเจนเปอร์ออกไซด์ ( $H_2O_2$ ) 35% (v/v) คือ

ในสารละลายน้ำ 100 mL มีเนื้อสารไฮโดรเจนเปอร์ออกไซด์ ( $H_2O_2$ ) อยู่ 35 mL

ความหนาแน่นของไฮโดรเจนเปอร์ออกไซด์ ( $H_2O_2$ ) เท่ากับ  $1.45 \text{ g/cm}^3$

มวลโมเลกุลของไฮโดรเจนเปอร์ออกไซด์ ( $H_2O_2$ ) เท่ากับ 34 g/mol

ต้องการเตรียมไฮโดรเจนเปอร์ออกไซด์ ( $H_2O_2$ ) ความเข้มข้น 7.5 g/L (7,500 mg/L) ในปริมาตร 0.5L

วิธีคิด หาความเข้มข้นของไฮโดรเจนเปอร์ออกไซด์ ( $H_2O_2$ )

$$H_2O_2 = \frac{35 \text{ mL} \times 1.45 \text{ g} \times 1000 \text{ mg}}{100 \text{ mL} \quad 1 \text{ mL} \quad 1 \text{ g}} \times 1000 \text{ mL}$$

$$H_2O_2 = \frac{(35 \times 1.45 \times 1000 \times 1000)}{100} \text{ mg}$$

$$H_2O_2 = 507,500 \text{ mg/L}$$

และจะได้ว่าไฮโดรเจนเปอร์ออกไซด์ ( $H_2O_2$ ) 35% มีความเข้มข้น 507,500 mg/L

$$\text{จากสูตร } C_1V_1 = C_2V_2$$

$$(507,500 \text{ mg/L}) \times V_1 = (7,500 \text{ mg/L}) \times (0.5 \text{ L})$$

$$V_1 = \frac{[7,500 \text{ mg/L} \times 0.5 \text{ L}]}{507,500 \text{ mg/L}}$$

$$V_1 = 7.389 \times 10^{-3} \text{ L หรือเท่ากับ 7.4 mL}$$

ดังนั้นจะได้ว่าไฮโดรเจนเปอร์ออกไซด์ ( $H_2O_2$ ) 35% ความเข้มข้น 7.5 g/L ต้องใช้ปริมาณ 7.4 mL

## การคำนวณค่าใช้จ่ายราคาน้ำยาเคมี

ไฮโดรเจนเปอร์ออกไซด์

ราคา 17 บาทต่อกิโลกรัม

ส่วน率ที่เหมาะสมสำหรับการทดลอง 1 กรัมต่อลิตร เท่ากับ 0.001 กิโลกรัมต่อลิตร

วิธีคิด ไฮโดรเจนเปอร์ออกไซด์ 1 กิโลกรัม ราคา 17 บาท

ถ้าไฮโดรเจนเปอร์ออกไซด์ 0.001 กิโลกรัม ราคา 17 บาท × 0.001 กิโลกรัม

1 กิโลกรัม

เท่ากับ 0.0017 บาทต่อกิโลกรัมต่อลิตร

น้ำ 1 ลิตร มีค่าใช้จ่าย 0.0017 บาท

ถ้า 1,000 ลิตร มีค่าใช้จ่าย 17 บาท

ดังนั้น ค่าใช้จ่ายสารไฮโดรเจนเปอร์ออกไซด์ต่อลูกเมตรบาร์ค์ เท่ากับ 17 บาท

ภาคผนวก ค  
วิธีการวิเคราะห์

## 1. การหาค่า COD ของน้ำตัวอย่างและแบลงค์

ขั้นตอนที่ 1 ใช้หลอดไดเจสต์แก้วโบโรซิลิกेट (Borosilicate) ขนาด 25x150 mm ชนิดฝาเกลียวพร้อมจุก TFE ทำการเติมปริมาตรน้ำตัวอย่าง 10 mL สารละลายน้ำมันพาราфин 0.1 N ปริมาตร 6 mL สารละลายน้ำมันพาราфин 14 mL (ถ้าค่า COD มากกว่า 500 mg/L ให้ทำการลดปริมาณน้ำตัวอย่างลง โดยการเติมน้ำกลั่นแทนให้ครบปริมาตรตามที่กำหนดไว้)

ขั้นตอนที่ 2 ทำแบลงค์โดยการเติมน้ำกลั่นลงในหลอดไดเจสต์แก้วโบโรซิลิกेट (Borosilicate) ขนาด 20x150 mm ชนิดฝาเกลียวพร้อมจุก TFE 5 mL (แทนปริมาตรน้ำตัวอย่าง)

ขั้นตอนที่ 3 ทำการเติมน้ำตัวอย่างจำนวน 0.5 mL ลงในหลอดไดเจสต์แก้วโบโรซิลิกेट (Borosilicate) ขนาด 25x150 mm ชนิดฝาเกลียวพร้อมจุก TFE จากนั้นเติมน้ำกลั่นเพื่อเจือจาง ให้ได้ปริมาตรรวม 5 mL

ขั้นตอนที่ 4 ทำการเติมสารละลายน้ำมันพาราфин 3 mL ในน้ำตัวอย่างและแบลงค์ โดยใช้ปีเปตขนาด 5 mL ดูดสารดังกล่าว

ขั้นตอนที่ 5 ทำการเติมสารละลายน้ำมันพาราฟินที่ผสมกับ  $\text{AgSO}_4$  7 mL ในน้ำตัวอย่างและแบลงค์ โดยใช้ปีเปตขนาด 10 mL ดูดสารดังกล่าว

ขั้นตอนที่ 6 ทำการปิดฝาจุกหลอดไดเจสต์แก้วโบโรซิลิกेट (Borosilicate) ขนาด 25x150 mm ชนิดฝาเกลียวพร้อมจุก TFE จากนั้นนำเข้าสู่เตาอบที่มีอุณหภูมิ 150 °C เป็นระยะเวลา 2 ชั่วโมง

ขั้นตอนที่ 7 หลังจากทำการอบจนครบ 2 ชั่วโมงแล้ว จากนั้นนำหลอดไดเจสต์แก้วโบโรซิลิกेट (Borosilicate) ขนาด 25x150 mm ชนิดฝาเกลียวพร้อมจุก TFE ออกจากตู้อบ ตั้งหัวไว้ให้เย็นที่อุณหภูมิห้อง

ขั้นตอนที่ 8 ทำการเทน้ำตัวอย่างลงในขวดรูปชมพู่ จากนั้นทำการหยดเฟอร์โรอินอินดิเคเตอร์ 5 หยด สารละลายน้ำมันพาราฟินจะเปลี่ยนเป็นสีเขียวอมน้ำเงิน

ขั้นตอนที่ 9 ทำการไตเตอร์ด้วยสารละลายน้ำมันพาราฟิน FAS 0.1 N ในการไตเตอร์จะต้องค่อยหยดทีละหยด เนื่องจากการถึงจุดดุจจะเร็วมาก คือจะเปลี่ยนเป็นสีแดงอิฐ

## 2. การหาค่ามาตรฐานของสารละลายน้ำมันพาราฟิน FAS

ขั้นตอนที่ 1 ใช้หลอดไดเจสต์แก้วโบโรซิลิกेट (Borosilicate) ขนาด 25x150 mm ชนิดฝาเกลียวพร้อมจุก TFE ทำการเติมปริมาตรน้ำตัวอย่าง 10 mL สารละลายน้ำมันพาราฟิน 0.1 N ปริมาตร 6 mL สารละลายน้ำมันพาราฟิน 14 mL (ถ้าค่า COD มากกว่า 500 mg/L ให้ทำการลดปริมาณน้ำตัวอย่างลง โดยการเติมน้ำกลั่นแทนให้ครบปริมาตรตามที่กำหนดไว้)

ขั้นตอนที่ 2 ทำการเติมน้ำกลั่นแทนน้ำตัวอย่างลงในหลอดไดเจสต์แก้วโบโรซิลิกेट (Borosilicate) ขนาด 20x150 mm ชนิดฝาเกลียวพร้อมจุก TFE 5 mL

ขั้นตอนที่ 3 ทำการเติมสารละลายน้ำตัวอ่อนย่าง โดยใช้ปีเปตขนาด 5 mL ดูดสารดังกล่าว

ขั้นตอนที่ 4 ทำการเติมสารละลายกรดซัลฟูริก (ที่ผสมกับ  $\text{AgSO}_4$ ) 7 mL โดยใช้ปีเปตขนาด 10 mL ดูดสารดังกล่าว

ขั้นตอนที่ 5 ทำการเทน้ำตัวอ่อนย่างลงในขวดรูปชามพู่ จากนั้นทำการหยดเพอร์โรมินอินดิ-เคเตอร์ 5 หยด สารละลายจะเปลี่ยนเป็นสีเขียวอมน้ำเงิน

ขั้นตอนที่ 6 ทำการไตเตρทัดวยสารละลาย FAS 0.1 N ในการไตเตรจะต้องค่อยๆ หยดทีละหยด เนื่องจากการถึงจุดยุติจะเร็วมาก คือจะเปลี่ยนเป็นสีแดงอิฐ

### 3. การหาค่าของแข็งแขวนลอยและของแข็งละลายน้ำทั้งหมด

การหาค่าของแข็งแขวนลอย (SS) สามารถทำได้โดย

1) อบกระดาษกรองให้แห้งที่อุณหภูมิ 103 – 105 องศาเซลเซียส เป็นเวลา 1 ชั่วโมงทึ้งให้เย็นในเดสิกเคเตอร์แล้วซึ่งน้ำหนัก (B) เก็บกระดาษกรองไว้ในเดสิกเคเตอร์จนกว่าจะใช้ทดลอง

2) วางกระดาษกรองลงในรายบุคเนอร์ซึ่งต่อเข้ากับเครื่องดูดสูญญากาศ

3) ใช้น้ำกลั่นฉีดกระดาษกรองให้เปียกแล้วเปิดเครื่องดูดอากาศ เพื่อให้กระดาษกรองแนบติดกับรายบุคเนอร์

4) ตวงปริมาตรน้ำตัวอ่อนย่างที่ผสมเข้ากันดีแล้ว 100 mL แล้วเทน้ำตัวอ่อนย่างลงในรายบุคเนอร์ และเปิดเครื่องดูดสูญญากาศจนน้ำแห้ง แล้วล้างเครื่องกรองด้วยน้ำกลั่น 10 mL เปิดเครื่องทึ้งไว้ 3 นาที

5) เมื่อแห้งแล้วนำกระดาษกรองออกวางในภาชนะเดิม (อาจใช้ถ้วยระเหยหรือกระดาษอะลูมิเนียม) แล้วนำไปอบให้แห้งที่อุณหภูมิ 103 – 105 องศาเซลเซียส เป็นเวลาอย่างน้อย 1 นาทีทึ้งไว้ให้เย็นในเดสิกเคเตอร์และซึ่งน้ำหนัก (A)

การหาค่าของแข็งละลายน้ำได้ทั้งหมด (TDS) สามารถทำได้โดย

1) นำน้ำที่ผ่านการกรองของแข็งแขวนลอยมาใช้ในการวิเคราะห์ของแข็งละลายน้ำทั้งหมด

2) ตวงน้ำส่วนที่ได้จากการกรอง 50 mL ใส่ลงในถ้วยกระเบื้องระเหยที่ผ่านการอบแห้งที่  $180 \pm 2$  องศาเซลเซียส และซึ่งน้ำหนักแล้ว (B)

3) นำไประเหยน้ำให้แห้งบนเครื่องอังไน้ำ แล้วนำไปเข้าตู้อบ  $180 \pm 2$  องศาเซลเซียสเป็นเวลา 1 ชั่วโมง

4) ทึ้งให้เย็นในเดสิกเคเตอร์ และซึ่งน้ำหนัก (A)

#### 4. การเตรียมตัวอย่างสำหรับวิเคราะห์ด้วยเครื่องเอกซเรย์ดิฟแฟร์กชัน

สารตัวอย่างสำหรับการวิเคราะห์ด้วยเครื่องเอกซเรย์ดิฟแฟร์กชันโดยทั่วไปจะอยู่ในรูปของแข็งที่เป็นผงขนาดเล็กกว่า 45 ไมครอน ( $325 \text{ เมช}$ ) ปริมาณผงตัวอย่างที่เหมาะสมประมาณ 1-2 กรัม (หากตัวอย่างมีน้อย สามารถอัดบนแผ่นวางตัวอย่างแบบ zero background ได้) และอัดด้วยแรงกระทำสม่ำเสมอเท่ากันทุกทิศทาง บริเวณผิวน้ำข้องตัวอย่างต้องเรียบสม่ำเสมอ ตัวอย่างที่ต้องมีการจัดเรียงตัวของผลึกอย่างอิสระ (random orientation) หากตัวอย่างเป็นก้อน ต้องตัดและขัดหน้าตัวอย่างให้เรียบ ขนาดก้อนตัวอย่างประมาณ  $10 \times 10 \text{ เซนติเมตร}$  การเตรียมตัวอย่างที่ดีมีผลมากต่อผลการวิเคราะห์ เช่น หากบดตัวอย่างละเอียดเกินไปจะทำลายโครงสร้างผลึกหรือหากใช้แรงอัดตัวอย่างมากเกินไปจะทำให้เกิด Preferred Orientation ขึ้นได้

#### 5. การเตรียมตัวอย่างของแข็งสำหรับวิเคราะห์ด้วยเทคนิค Transmission (FTIR)

ตัวอย่างที่จะนำมาวิเคราะห์ด้วยเครื่อง FTIR ที่มีสถานะเป็นของแข็ง มีวิธีการเตรียมตัวอย่าง ดังนี้

- 1) บดตัวอย่างให้มีความละเอียดด้วย agate mortar
- 2) ผสมตัวอย่างเข้ากับ KBr ใน agate mortar โดยให้ตัวอย่างมีความเข้มข้น ประมาณ 0.01 เปอร์เซ็นต์ และบดสารให้ละเอียดโดยให้มีการกระจายตัวอย่างอย่างสม่ำเสมอ
- 3) ใส่ตัวอย่างที่บดแล้วลงในแม่พิมพ์และนำไปอัดด้วยเครื่องอัดไฮดรอลิก ทิ้งไว้ประมาณ 30 วินาที – 1 นาที
- 4) ถอดตัวประกอบแม่พิมพ์ออก ตัวอย่างจะติดอยู่ที่แม่พิมพ์ มีลักษณะเป็นวงกลมใสและตัวอย่างจะกระจายอยู่บน KBr แล้วนำตัวอย่างเข้าเครื่อง FT-IR ได้เลย
- 5) ทำความสะอาดแม่พิมพ์ ใช้ช้อนตักสารสแตนเลสชุดตัวอย่างออกมา ใช้กระดาษทิชชูหรือใช้ cotton bud ชับตัวทำลายและเช็ดตัวอย่างที่ติดอยู่ที่เม็ด die แห้งและบอกสูบ ท่อภายในและล่างด้วยอะซิโตน จากนั้นทิ้งไว้ให้แห้ง แยกเม็ด die เก็บแยกออกจากกันเพื่อป้องกันการเกิดสนิม

## ประวัติผู้วิจัย

<b>ชื่อ</b>	นางสาวสุกัญญา กาญจน์ธรรม
<b>วัน เดือน ปี เกิด</b>	26 เมษายน พ.ศ. 2534
<b>ประวัติการศึกษา</b>	พ.ศ. 2552- 2555 มหาวิทยาลัยอุบลราชธานี วิทยาศาสตรบัณฑิต (วิทยาศาสตร์สิ่งแวดล้อม) สาขาวิชาสุขาภิบาลสิ่งแวดล้อม
<b>ผลงานในการ ประชุมวิชาการ</b>	สุกัญญา กาญจน์ธรรม และจารกรฤทธิ์ อัมพุช. “การบำบัดน้ำเสียจาก โรงงานผลิตแป้งมันสำปะหลังด้วยกระบวนการเฟนตันร่วมกับการสร้าง ตะกอน”, ใน <u>การประชุมวิชาการสิ่งแวดล้อมแห่งชาติครั้งที่ 14.</u> สมาคม วิชากรรมสิ่งแวดล้อมแห่งประเทศไทย, 2558.

